

# รายงานวิจัยฉบับสมบูรณ์

## เรื่อง

การผลิตเยื่อกรองเซลลูโลสระดับไมโครโดยระบบเพาะเลี้ยง  
จุลินทรีย์แบบกึ่งอัตโนมัติเพื่อใช้ในกระบวนการเตรียมน้ำดิบ  
สำหรับการผลิตน้ำดื่มชุมชน

โดย รศ. ดร. พิภพ วณิชชาติ

ได้รับการสนับสนุนทุนวิจัยจากงบประมาณแผ่นดิน

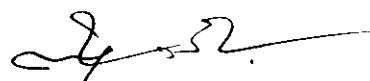
ประจำปี 2549-2551

## กิตติกรรมประกาศ

งานวิจัยนี้ เกิดจากการระดมความรู้จากการผลิตบัณฑิต 2 คนคือ นางสาวสาพิตรีนาแวง และนางสาวปริศนา รักบำรุง โดยการเพิ่มน้ำมะพร้าวเป็นส่วนประกอบในสูตรอาหารเดิม และทำการศึกษาเปรียบเทียบเพื่อให้เห็นว่าวุ้นน้ำมะพร้าวที่ผู้ประกอบการผลิตอยู่นั้นสามารถขยายงานต่อเป็นการผลิตเยื่อกรองเซลลูโลสได้ การจัดอบรมให้แก่ชุมชนหลังงานวิจัยนี้เสร็จสิ้น มีวัตถุประสงค์เพื่อให้เกิดองค์ความรู้เพิ่มในระดับชุมชนว่าปัญหาสิ่งแวดล้อมรอบตัวที่ทวีความรุนแรงขึ้นนั้นสามารถแก้ไขได้ในชุมชน โดยไม่ต้องลงทุนราคาแพง หากแต่ทุกคนต้องตระหนักว่าเมื่อปัญหามาถึงตัว ทุกคนก็ต้องช่วยตัวเองก่อน และอาจจะระลึกถึงความรู้ที่ได้จากการอบรมในครั้งนี้ได้บ้าง

คณะผู้วิจัยขอขอบคุณผู้ช่วยวิจัย นางสาวพัศตราภรณ์ ชุมแก่น นักจุลชีววิทยา ที่ได้ทุ่มเทเวลาและความรู้อย่างสุดความสามารถเพื่อให้งานนี้สำเร็จด้วยดี ขอขอบคุณ ผศ. ดร. ยุทธนา ภูริระดมชัยกุล ที่ช่วยให้แนวคิดในการออกแบบระบบผลิตและอบเยื่อกรองด้วยวิธีเป่าลมร้อน ขอขอบคุณ รศ. ดร. ดวงพร คันธโชติ สำหรับคำแนะนำที่เป็นประโยชน์ต่อการเพาะเลี้ยงและการแก้ปัญหา ขอขอบคุณสถานวิจัยวิทยาศาสตร์และเทคโนโลยีเมมเบรนและภาควิชาฟิสิกส์ที่ให้ใช้อุปกรณ์การทดสอบทุกชนิด อนุเคราะห์ค่าน้ำและค่าไฟฟ้า นอกจากนี้ต้องขอขอบคุณช่างเทคนิคของภาควิชาฟิสิกส์ อาทิเช่น คุณไชยวัฒน์ ฤทธิรงค์ คุณวีระ ไทยสยาม และคุณอำนาจ แก้วไพบูลย์ ที่ช่วยแก้ปัญหาเมื่ออุปกรณ์เกิดขัดข้อง

งานวิจัยนี้ ได้รับทุนสนับสนุนจากงบประมาณแผ่นดินประจำปี 2549-2551 ซึ่งผู้วิจัยขอขอบคุณมา ณ. โอกาสนี้ด้วย



รศ. ดร. พิกุล วนิชชาติ  
ภาควิชาฟิสิกส์  
กันยายน 2552

การผลิตเยื่อกรองเซลลูโลสระดับไมโครโดยระบบเพาะเลี้ยงจุลินทรีย์แบบกึ่งอัตโนมัติเพื่อใช้ในกระบวนการเตรียมน้ำดิบสำหรับการผลิตน้ำชุมชน

### บทคัดย่อ

งานวิจัยนี้ผลิตเยื่อกรองจากจุลินทรีย์ โดยใช้ระบบเพาะเลี้ยงเซลล์แบบกึ่งอัตโนมัติ และใช้สูตรอาหาร 2 ชนิด เพื่อเปรียบเทียบผล คือสูตรอาหารมาตรฐานที่มีและไม่มีน้ำมะพร้าวเป็นส่วนผสม ได้เยื่อกรองซึ่งในที่นี้เรียกว่า CE(CCB) และ CE(SHB) ตามลำดับ พบว่าเทคนิคทางจุลชีววิทยาเพื่อให้ระบบปลอดเชื้อเป็นหัวใจสำคัญของกระบวนการผลิต ความสม่ำเสมอของผลผลิตขึ้นกับความหนาแน่นเซลล์ที่ใช้เพาะเลี้ยง จำนวนวันที่เพาะเลี้ยงเซลล์และชนิดของอาหาร หลังจากการเพาะเลี้ยงได้ 3 วันเยื่อเซลลูโลสที่ได้ถูกทำให้แห้ง พบว่าเยื่อกรอง CE(CCB) ที่ได้จากการใช้น้ำมะพร้าวเป็นส่วนประกอบมีเส้นใยเซลลูโลสมากกว่า ได้เยื่อกรองหนา 150 ไมครอน ส่วนเยื่อกรองที่ผลิตจากสูตรอาหารมาตรฐาน CE(SHB) มีความหนาเพียง 90 ไมครอน จากการทดสอบการกรองจุลินทรีย์ *A. xylinum* พบว่าสามารถกักกันได้ 100 % ทำให้ประเมินได้ว่า เยื่อกรองที่ผลิตได้ มีขนาดรูเล็กกว่า 0.3 ไมครอน

การทดสอบฟลักซ์น้ำของเยื่อกรองทั้ง 2 ชนิด พบว่าที่ความดัน 250 kPa เยื่อกรอง CE(CCB) ให้ค่าฟลักซ์น้ำที่  $10 \text{ Lm}^{-2}\text{h}^{-1}$  และเยื่อกรอง CE(SHB) ให้ค่า  $15 \text{ Lm}^{-2}\text{h}^{-1}$  คิดเป็นค่าสัมประสิทธิ์การนำน้ำได้  $8.6 \times 10^{-12}$  และ  $20.4 \times 10^{-12} \text{ m}^3\text{N}^{-1}\text{s}^{-1}$  ตามลำดับ ผลการทดสอบนี้บ่งชี้ว่าเยื่อ CE(CCB) มีพื้นที่รูขุมผลน้อยกว่า อย่างไรก็ตามเมื่อคั้นเยื่อกรองทั้งสองชนิดนาน 1 ชั่วโมงเพื่อกำจัดสารตกค้างที่อาจหลงเหลืออยู่ พบว่าสามารถเพิ่มฟลักซ์น้ำในเยื่อ CE(CCB) ได้ถึง 75% ขณะที่ฟลักซ์น้ำในเยื่อ CE(SHB) เพิ่มขึ้นเพียง 10% เยื่อกรองทั้ง 2 ชนิดนี้สามารถทนความร้อนได้ถึง 100 องศาเซลเซียส ทนกรด-ด่าง ที่ระดับ pH 4.0-10 ได้ดี อย่างน้อย 5 วันของการทดสอบโดยไม่มีการเปลี่ยนแปลงมวล

สำหรับการนำไปประยุกต์ใช้ ได้กรองน้ำทิ้งจากโรงพยาบาลสงขลานครินทร์และโรงงานยางพารา พบว่าสามารถปรับปรุงคุณภาพน้ำได้ดีในส่วนของสีน้ำและสารอินทรีย์ในรูปของ COD ได้ถึง 80-90 % และ 46-70% ตามลำดับ มีค่าเพอมีเอทฟลักซ์  $23-30 \text{ Lm}^{-2}\text{h}^{-1}$  และ  $10-13 \text{ Lm}^{-2}\text{h}^{-1}$  ตามลำดับ สามารถกรองน้ำบาดาลที่มีสนิมเหล็กปนเปื้อนระดับ 4 ppm ได้ 100% จึงคาดว่า การถ่ายเทเทคโนโลยีซึ่งเป็นผลจากงานวิจัยนี้ จะช่วยสร้างผู้ประกอบการในชุมชน หรือสร้างอาชีพให้แก่เกษตรกรได้ โดยใช้ประโยชน์จากน้ำมะพร้าวซึ่งเป็นของเหลือทิ้งในชุมชนให้เกิดประโยชน์ต่อการแก้ปัญหาด้านสิ่งแวดล้อมรอบตัวได้ในอนาคต

## **Preparation of MF – cellulose membrane using semi-automatic microbial culturing system for surface water filtering in a process of drinking water production**

### **Abstract**

This work describes membrane manufacturing in a semi-automatic cell culture system. Cell culturing media were the standard solution with and without coconut juice supplement. It is essential that micro-biological aseptic techniques must be followed critically to avoid contamination during cell culture, which would in turn, affect cellulose production. Care taking should be emphasized on cell density, period of culturing, and type of culture media used. After 3 days culturing, the cellulose membrane was harvested and dried. It was found that cellulose membranes produced from the media with coconut juice supplement possessed greater thickness, resulting in a smaller effective pore area. The membrane was 150  $\mu\text{m}$  thick, while the other was only 90  $\mu\text{m}$  thick. It rejected bacteria *A. xylinum* by 100%, suggesting that the membrane pore would be smaller than 0.3  $\mu\text{m}$ .

On water flux measurements under 25 kPa pressure, the CE(CCB) and CE(SHB) membrane exhibited flux at 10  $\text{Lm}^{-2}\text{h}^{-1}$  and 15  $\text{Lm}^{-2}\text{h}^{-1}$  with hydraulic conductivity coefficient of  $8.6 \times 10^{-12}$  and  $20 \times 10^{-12} \text{ m}^3\text{N}^{-1}\text{s}^{-1}$ , respectively. This result indicated that the CE(CCB) membrane possessed smaller effective pore area. After being boiled for 1 h, the CE(CCB) and CE(SHB) membranes improved the water flux by 75% and 10%, respectively. These membranes were tolerate to heat up to 100<sup>o</sup> C, to acid-base of 4.0-10 pH level for at least 5 days of the testing without changing in membrane mass.

The results obtained after filtering waste from Songkhlanakarintr Hospital and from a rubber factory informed that physical properties such as color and organic waste in term of COD could be reduced by 80-90% and 46-70%, respectively. The membranes were able to filter ferrous oxide contaminating in the underground water at 4 ppm level by 100%. It is envisaged that after technology transfer, local community and farmers can increase their income by utilizing the coconut juice, which is considerably a waste from the community, and turn it to be useful for environmental protection in the future.



## สารบัญ

หัวข้อเรื่อง	หน้า
กิตติกรรมประกาศ	i-1
หัวข้อวิจัยและบทคัดย่อ	i-2
สารบัญ	i-4
<b>บทที่ 1 บทนำ</b>	
1.1 ที่มาของปัญหา	1-1
1.2 การทบทวนวรรณกรรม/สารสนเทศ (information) ที่เกี่ยวข้อง	1-2
1.3 วัตถุประสงค์ของโครงการวิจัย	1-4
1.4 ขอบเขตของโครงการวิจัย	1-4
1.5 ประโยชน์ที่คาดว่าจะได้รับและหน่วยงานที่นำผลการวิจัยไปใช้ประโยชน์	1-4
1.6 ผลสำเร็จและความคุ้มค่าของการวิจัยที่คาดว่าจะได้รับ และหน่วยงานที่จะนำผลการวิจัยไปใช้ประโยชน์	1-5
1.7 วิธีการดำเนินการวิจัย และสถานที่ทำการทดลอง/เก็บข้อมูล	1-5
1.8 แผนการถ่ายทอดเทคโนโลยีหรือผลการวิจัยสู่กลุ่มเป้าหมาย	1-5
1.9 ระยะเวลาทำการวิจัย และแผนการดำเนินงานตลอดโครงการวิจัย	1-6
<b>บทที่ 2 วิธีการวิจัย</b>	
2.1 ระบบกึ่งอัตโนมัติ	2-1
2.2 การเตรียมอาหารสำหรับเลี้ยงแบคทีเรีย	2-6
2.3 วิธีการเพาะ <i>Acetobacter Xylinum</i> TISTR NO. 975 จากหลอดเชื้อแห้งแข็ง	2-7
2.4 การต่อเชื้อ (subculture)	2-7
2.5 การแยกเชื้อด้วยวิธีการ Streak plate	2-8
2.6 การตรวจนับเชื้อแบคทีเรียด้วย Haemocytometer	2-9
2.7 วิธีการคำนวณหาจำนวนเซลล์ต่อ 1 ml	2-11
2.8 การตรวจเชื้อจุลินทรีย์ทั้งหมดในตัวอย่างน้ำมะพร้าว	2-12
2.9 การตรวจวัด pH ความหวาน และปริมาณไขมันในตัวอย่างน้ำมะพร้าว	2-13
2.10 การช้อมแกรมแบคทีเรีย	2-14
2.11 การวัดขนาดของจุลินทรีย์ที่พบในน้ำมะพร้าวที่ผ่านการกรองแล้ว	2-16
2.12 การผลิตเชื้อกรองเซลล์ูโลสแบบกึ่งอัตโนมัติ	2-18
2.13 การศึกษาฟลักซ์น้ำ	2-20
2.14 การเหนี่ยวนำเซลล์โดยใช้ไฟฟ้ากระแสสลับ	2-21
2.15 การประยุกต์ใช้ในงานด้านอื่นๆ	2-21

### บทที่ 3 ผลการศึกษาวิจัย

3.1	ระดับ pH ความหวานและไขมันในน้ำมะพร้าวที่ใช้ผสมในสารอาหาร	3-1
3.2	ทดสอบระบบที่ใช้เพาะเลี้ยงจุลินทรีย์	3-4
3.3	การตรวจเชื้อในน้ำมะพร้าวหลังการกรองด้วยระบบ MF โดยวิธีการข้อม แกรมแบคทีเรีย	3-5
3.4	มวลเปียกและมวลแห้งของเชื้อกรองเซลลูโลส	3-6
3.5	ปริมาณที่เหมาะสมของอาหารเพาะเลี้ยงสูตรน้ำมะพร้าวต่อการผลิต เซลลูโลสเมมเบรน	3-6
3.6	การศึกษาเวลาที่เหมาะสมในการการเหนี่ยวนำเซลล์ด้วยไฟฟ้ากระแสสลับ	3-7
3.7	ฟลักซ์น้ำผ่านเยื่อกรองเซลลูโลสที่เตรียมจาก <i>Acetobacter xylinum</i> TISTR No. 975	3-8
3.8	การศึกษาพื้นผิวหน้าของเยื่อกรองเซลลูโลสจากภาพถ่าย SEM	3-10
3.9	ความทนต่อการค-ต่างของเยื่อกรองเซลลูโลส	3-12
3.10	การกำจัดสารตกค้างบนเยื่อกรองโดยการต้ม	3-13
3.11	ทดสอบการกรองน้ำทิ้งจากโรงพยาบาล	3-14
3.12	ทดสอบการกรองน้ำทิ้งจากโรงงานยาง	3-15
3.13	การกรองน้ำที่มีสนิมเหล็ก	3-16
3.14	ทดสอบการกรองจุลินทรีย์	3-17

### บทที่ 4 สรุปผลการทดลอง

4.1	วิธีการผลิตเซลลูโลสให้ปลอดเชื้อแบบกึ่งอัตโนมัติ	4-1
4.2	เปรียบเทียบผลผลิตจากสูตรอาหารที่ใช้เพาะเลี้ยงจุลินทรีย์	4-1
4.3	เปรียบเทียบสัมประสิทธิ์การนำน้ำ	4-2
4.4	ความทนกรด – ต่าง ของเยื่อเซลลูโลส	4-2
4.5	การนำไปใช้ประโยชน์	4-2
4.6	การปรับปรุงผิวเซลลูโลสด้วยเทคนิคพลาสมา	4-3
4.7	การจัดอบรม	4-3

เอกสารอ้างอิง 5-1

ภาคผนวก ก a-1

ภาคผนวก ข b-1

## สารบัญตาราง

ตารางที่		หน้า
1.1	ผลของไฟฟ้าต่อการผลิตเซลลูโลสของ <i>A. xylinum</i> ภายใน 3 วัน	1-2
1.2	ผลการวิเคราะห์คุณภาพน้ำผิวดินจากสระของโรงเรียนปากจำวิทยา อำเภอควนเนียง จังหวัดสงขลา	1-3
2.1	องค์ประกอบของสูตรอาหารสำหรับการผลิตเชื้อกรองเซลลูโลส	2-18
3.1	แสดง pH ในตัวอย่างน้ำมะพร้าว	3-1
3.2	แสดงค่าความหวานในตัวอย่างน้ำมะพร้าว	3-1
3.3	ปริมาณไขมันในตัวอย่างน้ำมะพร้าวที่วิเคราะห์ด้วย Rose-Gottlieb process ร่วมกับ Werner-Schmid process	3-2
3.4	ปริมาณไขมันในน้ำมะพร้าวที่วิเคราะห์โดยเทคนิค Blight and dyer	3-2
3.5	ขนาดแบคทีเรียที่พบในน้ำมะพร้าวที่ผ่านการกรอง	3-3
3.6	เปรียบเทียบมวลและความหนาขณะเปียกและแห้งของเซลลูโลส	3-6
3.7	เปรียบเทียบค่ามวลและความหนาทั้งขณะเปียกและขณะแห้งของเชื้อเซลลูโลส	3-7
3.8	ผลการผลิตเซลลูโลสหลังจากเหนี่ยวนำเซลล์ด้วยไฟฟ้ากระแสสลับ	3-8
3.9	แสดงค่าสัมประสิทธิ์การนำน้ำ ( $L_p$ ) ของเซลลูโลสเมมเบรนที่ผลิตภายใต้ เงื่อนไขต่างๆ	3-9
3.10	เปรียบเทียบมวลของเมมเบรนก่อนและหลังการแช่ในกรดและด่าง	3-12
3.11	สัมประสิทธิ์การนำน้ำ ( $L_p$ ) ของเชื้อกรองเซลลูโลสภายหลังจาก การต้มในน้ำเดือดนาน 1 ชั่วโมง	3-13
3.12	ค่าของสารแขวนลอยที่อยู่ในน้ำทิ้งจากโรงพยาบาลที่ผ่านการกรองด้วย CE(SHB) และ CE(CCB) เปรียบเทียบกับที่ไม่ผ่านการกรอง	3-15
3.13	แสดงค่าของสารแขวนลอยที่อยู่ในน้ำทิ้งจากโรงงานยางที่ผ่านการกรองด้วย CE(SHB) และ CE(CCB) เปรียบเทียบกับน้ำที่ไม่ผ่านการกรอง	3-16
3.14	แสดงค่าสนิมเหล็กในน้ำก่อนและหลังการกรอง	3-17

## สารบัญรูป

รูปที่		หน้า
1.1	การกรองน้ำทิ้งจากโรงงานปาล์ม โดยใช้เยื่อกรองชนิดเซลลูโลสที่ผลิตจาก จุลินทรีย์ <i>A. xylinum</i> ) ก่อน (before) และหลัง (after) การกรองผ่านเยื่อเซลลูโลส	1-2
1.2	กราฟแสดงความสัมพันธ์ระหว่างการเพิ่มของปริมาณออกซิเจนละลายน้ำ 200 ml ที่ความดัน 1.5 bar (150 kPa) โดยผ่านเยื่อกรองที่แตกต่างกัน 3 ชนิดเทียบกับเวลา CC คือเยื่อที่ผลิตเอง	1-3
2.1	ตู้เพาะเลี้ยงพร้อมระบบแสง	2-1
2.2	การเดินสายสารอาหารพร้อมเชื้อและกรดสำหรับเพาะเลี้ยง	2-2
2.3	การฆ่าเชื้อโดยใช้เทคโนโลยีเมมเบรนระดับไมโคร	2-3
2.4	การเตรียมเซลล์เพื่อการเพาะเลี้ยงโดยใช้น้ำมะพร้าวที่ผ่านระบบกรองแบบ MF	2-5
2.5	การจัดวางถาดและการต่อท่อซิลิโคนเข้ากับถาดเสตนเลสในระบบการผลิตเยื่อกรอง	2-5
2.6	การวางถังกวนและการต่อท่อซิลิโคนจากถังกวนเข้าไปในตู้เพาะเลี้ยง	2-6
2.7	โต๊ะวางถังกวน	2-6
2.8	การถ่ายเชื้อ <i>Aetobacter xylinum</i> TISTR No. 975 ผ่านท่อซิลิโคน จากภายนอกตู้ลงในถาดเพาะเลี้ยง	2-6
2.9	วิธีการเพาะเลี้ยงจุลินทรีย์จากหลอดเชื้อแห้งแข็ง (Revival of Freeze-Dried Cultures)	2-8
2.10	ขั้นตอนการ Streak plate	2-9
2.11	ลักษณะของ Haemocytometer	2-10
2.12	ส่วนประกอบของ Haemocytometer และภาพที่มองเห็นจากกล้องจุลทรรศน์	2-10
2.13	แสดงการใส่ ocular micrometer เข้าไปที่ ocular	2-17
2.14	แสดงสเกลของ micrometer แบบต่างๆ	2-17
2.15	อุปกรณ์ชุดทดสอบการกรองแบบปิดตาย	2-20
3.1	การจัดวางถาดในการผลิตแผ่นเยื่อกรองขนาด 21 X 35 เซนติเมตร และการปิดถาดด้วย กระดาษซาลาเปาที่ผ่านการนึ่งฆ่าเชื้อแล้ว	3-4
3.2	การปนเปื้อนของเชื้ออื่น ในการผลิตแผ่นเยื่อกรองจากน้ำมะพร้าวที่ผ่านการกรอง ด้วยเครื่องกรอง MF	3-4
3.3	ลักษณะโคโลนีและการยืมของโคโลนีของเชื้อที่พบในน้ำมะพร้าวที่ผ่านการกรอง ด้วยเครื่องกรอง MF	3-5
3.4	ลักษณะรูปร่างและการติดสีแดงของ Sarfanin แบบที่เรียกที่พบในน้ำมะพร้าว	3-5
3.5	เปรียบเทียบเพอมีเอทฟลักซ์ของน้ำกลั่นผ่านเมมเบรน CE(SHB) และ CE(CCB)	3-9

## สารบัญรูป (ต่อ)

รูปที่		หน้า
3.6	แสดงเพอมีอเทฟลักซ์ของน้ำผ่านเยื่อกรองเซลลูโลส CE(CCB) ภายหลังจากที่เซลล์ถูกเหนี่ยวนำด้วยไฟฟ้า	3-10
3.7	ภาพ SEM ของเซลลูโลสเมมเบรนที่ผลิตผลิตโดย <i>Acetobacter xylinum</i> TISTR No.975	3-11
3.8	เปรียบเทียบเพอมีอเทฟลักซ์ของน้ำกลั่นผ่าน CE(SHB) และ CE(CCB) ที่ผ่านการต้มในน้ำเดือดนาน 1 ชั่วโมง	3-13
3.9	ลักษณะของสีน้ำทิ้งโรงพยาบาล	3-14
3.10	ลักษณะของสีน้ำจากโรงงานยาง	3-15
3.11	ผลการตรวจจุลินทรีย์ในอาหารเลี้ยงเชื้อที่ไม่ผ่านการกรองด้วยเยื่อกรองเซลลูโลส	3-18
3.12	ผลการตรวจจุลินทรีย์ในอาหารเลี้ยงเชื้อหลังจากผ่านการกรองด้วยเยื่อกรอง	3-18
3.13	ผลการตรวจจุลินทรีย์บนแผ่นเยื่อกรองเซลลูโลสทั้งสองชนิดหลังการนำไปใช้กรองอาหารเชื้อ	3-19

## บทที่ 1 บทนำ

### 1.1 ที่มาของปัญหา

ตั้งแต่ปี 2000 เป็นต้นมา ส่วนรอบนอกของภาคกลางและหลายส่วนในภูมิภาคของประเทศ มีการขยายตัวของภาคอุตสาหกรรมอย่างรวดเร็ว การเร่งผลผลิตทางการเกษตรเพื่อเพิ่มมูลค่าการส่งออก และการใช้สารเคมีเพิ่มขึ้น ล้วนก่อให้เกิดมลพิษทางน้ำอย่างหลีกเลี่ยงยาก กอรปกับบางปีที่มีปริมาณน้ำฝนไม่เพียงพอ ย่อมนำไปสู่ความขาดแคลนน้ำเพื่อป้อนสู่ภาคอุตสาหกรรม และตามด้วยการแย่งชิงทรัพยากรน้ำอย่างไม่เคยเกิดขึ้นมาก่อนในสังคมไทย อาจกล่าวได้ว่า การจัดหา น้ำสะอาดให้เพียงพอต่อความต้องการของภาคประชาชนเป็นหน้าที่และเป็นตัวชี้ประสิทธิภาพการบริหารจัดการทรัพยากรน้ำและสิ่งแวดล้อมของภาครัฐ ขณะเดียวกันภาคประชาชนก็ประสบปัญหาความขาดแคลนน้ำสะอาดเช่นกัน และหากไม่มีการจัดการที่ดีย่อมกระทบถึงคุณภาพชีวิตและสุขอนามัยของคนในสังคม ส่วนที่อยู่ในเขตเทศบาลย่อมมีกลไกให้เข้าถึงความช่วยเหลือด้านการจัดการน้ำดื่มสะอาดจากภาครัฐได้ง่าย และมีความพร้อมกว่าเมื่อเทียบกับชุมชนที่อยู่นอกเขตเทศบาล ถึงกระนั้นคุณภาพน้ำประปาในเขตเทศบาลบางแห่งยังไม่สามารถเป็นที่ไว้วางใจได้ เนื่องจากยังมีโลหะในน้ำสูงกว่ามาตรฐานที่ยอมรับได้ ส่วนชุมชนนอกเขตเทศบาลซึ่งอยู่ในความดูแลขององค์การบริหารส่วนตำบล หากไม่ได้ใช้เกลือกลับบริเวณภูเขาซึ่งมีดินน้ำสะอาดแล้ว ปัญหาความขาดแคลนน้ำสะอาดนับวันจะยิ่งทวีความรุนแรงขึ้น อีกทั้งน้ำดื่มที่ยังไม่ได้มาตรฐานก็ยังไม่ได้รับความสนใจเท่าที่ควร เนื่องจากประชาชนส่วนใหญ่ยังมีปัญหาความยากจนที่ต้องแก้ไขเป็นลำดับขั้นๆ ของการดำรงชีวิตประจำวัน

ปัจจุบันเทคโนโลยีเมมเบรนได้ช่วยให้เกิดกระบวนการบำบัดเพื่อนำน้ำกลับมาใช้ใหม่ โดยผลผลิตที่เป็นของเหลือทิ้งจากกระบวนการผลิตในภาคอุตสาหกรรม สามารถนำไปใช้เป็นผลิตภัณฑ์อื่นๆ อย่างครบวงจร ประเทศไทยมีการนำเข้าเทคโนโลยีดังกล่าวตั้งแต่ปี 2533 โดยภาคเอกชน แต่ยังมีข้อจำกัดในวงแคบเนื่องจากขาดผู้ชำนาญการและภาครัฐยังไม่มีการศึกษาเพื่อแก้ปัญหาอย่างเป็นรูปธรรม ส่วนงานวิจัยพื้นฐานด้านการผลิตเยื่อกรองได้มีการศึกษาวิจัยอย่างต่อเนื่องที่สถานวิจัยวิทยาศาสตร์และเทคโนโลยีเมมเบรน มหาวิทยาลัยสงขลานครินทร์ ตั้งแต่ปี 2539 มีการผลิตเยื่อกรองระดับหยาบ (Microfiltration, MF) และระดับละเอียด (Ultrafiltration, UF และ Nanofiltration, NF) ด้วยวัสดุหลายชนิด อย่างไรก็ตามโครงการวิจัยนี้ต้องการเลือกพัฒนาการผลิตเยื่อกรองระดับ MF ชนิดเซลลูโลสจากจุลินทรีย์ เนื่องจากพบว่ามิโอกาสสูงที่จะใช้น้ำมะพร้าวเป็นส่วนผสมสำคัญในสูตรอาหาร และยังเป็นทางเลือกที่คุ้มค่าให้แก่เกษตรกรในท้องถิ่นด้วย การสร้างระบบกึ่งอัตโนมัติในงานวิจัยนี้ คาดว่าจะช่วยลดความยุ่งยากอันเนื่องจากการปนเปื้อนจากจุลินทรีย์ชนิดอื่น และจะช่วยให้สามารถผลิตเยื่อกรองในสเกลใหญ่ขึ้นและมีความสม่ำเสมอ กล่าวคือให้มีความพรุนสูงและได้ขนาดที่เหมาะสมต่อการนำไปใช้งาน เยื่อที่ผลิตจากระบบอัตโนมัตินี้จะนำไปใช้บำบัดน้ำเบื้องต้นจากน้ำผิวดิน ซึ่งเป็นส่วนหนึ่งในกระบวนการผลิตน้ำดื่มสะอาดให้แก่ทางเทศบาลตำบลควนเนียง อำเภอควนเนียง จังหวัดสงขลา

## 1.2 การทบทวนวรรณกรรม/สารสนเทศ (information) ที่เกี่ยวข้อง

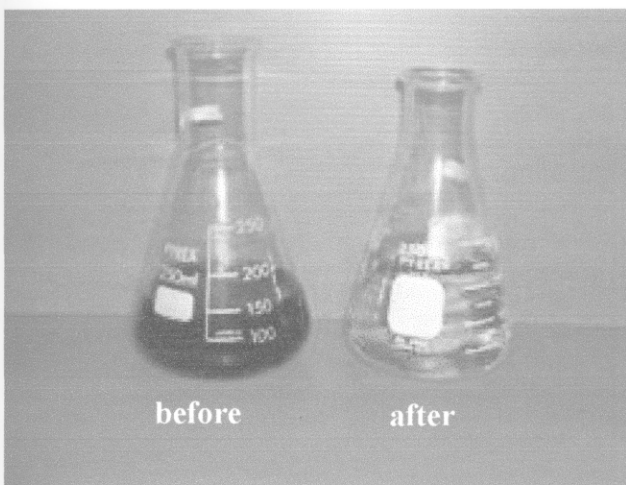
ตั้งแต่ปี 2533 เทคโนโลยีเมมเบรนเริ่มเข้ามามีบทบาทในประเทศไทย โดยบริษัทเอกชนได้นำเข้าเทคโนโลยีเพื่อใช้ในการปรับปรุงคุณภาพน้ำสำหรับใช้ในภาคอุตสาหกรรม ส่วนบริเวณที่อยู่ใกล้ชายฝั่งทะเลได้มีการผลิตน้ำจืดจากน้ำทะเลที่เกาะสีชัง และในปี 2547 ได้เริ่มโครงการที่เกาะสมุย อย่างไรก็ตาม กระบวนการดังกล่าวนี้ว่ายังใช้พลังงานสูงกว่าการเตรียมน้ำสะอาดจากการใช้น้ำจืดผิวดิน เนื่องจากน้ำผิวดินนอกจากสารเคมีที่เป็นส่วนประกอบของยาฆ่าแมลงหรือยาฆ่าหญ้าแล้ว สารแขวนลอยอื่นๆ ในน้ำมีน้อยกว่ามาก และหากขนาดของสารแขวนลอยที่เล็กลงมากเช่น เกลือ NaCl หรือสารหนู ก็สามารถแยกออกจากน้ำได้โดยใช้เครื่องผลิตน้ำดื่มสะอาดที่ใช้เยื่อกรองระดับ NF เซมิเพอร์เมอเบิลได้ [1,2]

การผลิตเยื่อเซลลูโลสจากจุลินทรีย์ *Acetobacter xylinum* เป็นที่รู้จักมานาน คณะวิจัยฯ ได้ผลิตเยื่อกรองจากเซลลูโลสดังกล่าว [3] แต่ความพรุนของเยื่อกรองยังต่ำ และโอกาสต่อมาได้ปรับปรุงจุลินทรีย์โดยอาศัยเทคนิคไฟฟ้าเข้าช่วย ทำให้ผลิตได้ในอัตราที่เร็วขึ้นพร้อมทั้งได้เยื่อกรองที่มีความพรุนสูงขึ้น [4] ดังแสดงในตารางที่ 1.1 และเมื่อนำไปกรองน้ำทิ้งจากโรงงานปาล์มน้ำมัน พบข้อมูลที่น่าสนใจดังผลการทดลองในรูปที่ 1.1 และ 1.2 อย่างไรก็ตาม การผลิตเยื่อกรองในระดับห้องปฏิบัติการจะง่ายกว่าการผลิตในสเกลใหญ่ซึ่งจะต้องระมัดระวังทุกขั้นตอนของการเลี้ยงจุลินทรีย์ จึงควรพัฒนาระบบกึ่งอัตโนมัติขึ้นเพื่อให้สามารถผลิตเยื่อกรองในสเกลที่สามารถนำไปทดสอบการทำงานในเชิงประยุกต์ได้ตามเป้าหมายของการวิจัย

ตารางที่ 1.1 ผลของไฟฟ้าต่อการผลิตเซลลูโลสของ *A. xylinum* ภายใน 3 วัน

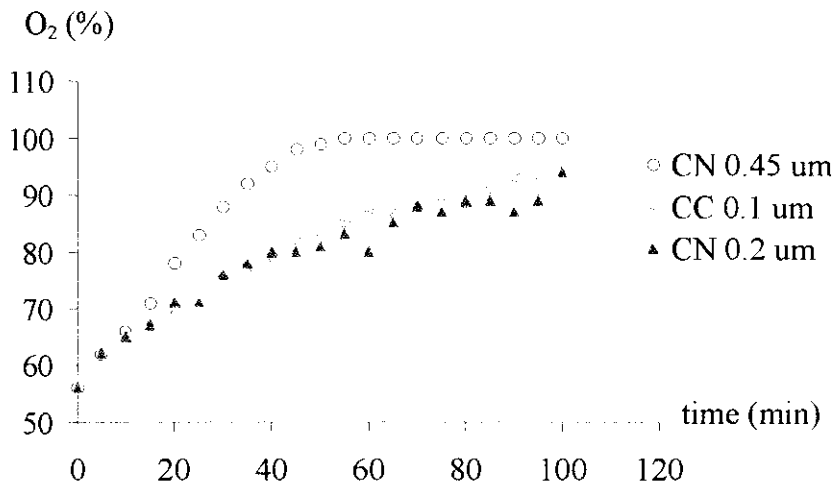
จุลินทรีย์	มวลเซลลูโลส (กรัม)	*ความพรุน (%)
ชุดควบคุม	8.97±0.48	1.4-2.4
ชุดปรับปรุงด้วยไฟฟ้า	11.87±0.35	4.3-6.7

\* ขึ้นกับวิธีการทดสอบ



รูปที่ 1.1

การกรองน้ำทิ้งจากโรงงานปาล์ม โดยใช้เยื่อกรองชนิดเซลลูโลสที่ผลิตจากจุลินทรีย์ *A. xylinum*) ก่อน (before) และหลัง (after) การกรองผ่านเยื่อเซลลูโลส



รูปที่ 1.2 กราฟแสดงความสัมพันธ์ระหว่างการเพิ่มของปริมาณออกซิเจนละลายน้ำ 200 ml ที่ความดัน 1.5 bar (150 kPa) โดยผ่านเยื่อกรองที่แตกต่างกัน 3 ชนิดเทียบกับเวลา CC คือเยื่อที่ผลิตเอง

ในเบื้องต้นได้สำรวจคุณภาพน้ำใต้ดินที่ชุมชนอำเภอควนเนียง ในโรงเรียนปากจำวิทยา จังหวัดสงขลา พบผลคุณภาพน้ำดังตารางที่ 1.2 จะเห็นว่า มีเฉพาะค่าสนิมเหล็กในน้ำที่ไม่ผ่านเกณฑ์มาตรฐาน

ตารางที่ 1.2 ผลการวิเคราะห์คุณภาพน้ำผิวดินจากสระของโรงเรียนปากจำวิทยา อำเภอควนเนียง จังหวัดสงขลา

รายการวิเคราะห์	ค่ามาตรฐาน	น้ำจากโรงเรียนปากจำวิทยา
● ความเป็นกรด-ด่าง (pH)	6.5-8.5	6.61
● ปริมาณมวลสารที่ละลายในน้ำ (TDS)	ไม่เกิน 500 mg/l	239
● สี	ไม่เกิน 20 HZ	10
● ความขุ่น	ไม่เกิน 20 FAU	2
● ความกระด้าง (as CaCO <sub>3</sub> )	ไม่เกิน 100 mg/l	78.32
● ซัลเฟต	ไม่เกิน 250 mg/l	43
● คลอไรด์	ไม่เกิน 250 mg/l	97.50
● ไนเตรตคำนวณเป็นไนโตรเจน	ไม่เกิน 4.0 mg/l	1.50
● เหล็ก	ไม่เกิน 0.3 mg/l	0.50
● สารพิษอื่นๆ เช่น สารหนู ตะกั่ว	ไม่เกิน 0.05 mg/l	ไม่พบ

หมายเหตุ: คุณภาพน้ำผิวดินที่ศึกษาไม่ผ่านเกณฑ์มาตรฐานน้ำบริโภค กำหนดโดยกรมควบคุมมลพิษ (ก.105) พ.ศ. 2554



ส่วนน้ำผิวดินที่จะนำไปใช้เพื่อการบริโภคนั้นหากสามารถบำบัดได้ ทางโรงเรียนจะสามารถนำน้ำในสระไปใช้ผลิตน้ำดื่มให้นักเรียนได้ นอกจากนี้เนื่องจากโครงการวิจัยของงบประมาณแผ่นดินในปี 2548 คณะผู้วิจัยได้ผลิตเยื่อกรองระดับอัลตราเพื่อบำบัดสารแขวนลอยที่มีขนาด  $0.01-0.1 \mu\text{m}$  จึงคาดว่าเมื่อโครงการนี้สิ้นสุดลงในปี 2552 คณะวิจัยจะสามารถบำบัดน้ำธรรมชาติได้อย่างเป็นระบบยิ่งขึ้น

### 1.3 วัตถุประสงค์ของโครงการวิจัย

- 3.1 สร้างระบบเพาะเลี้ยงจุลินทรีย์แบบกึ่งอัตโนมัติ ให้ปลอดภัยในระหว่างการผลิตเซลล์โอส
- 3.2 ลดค่าใช้จ่ายในการผลิตเยื่อกรองโดยจะเปรียบเทียบการใช้น้ำมะพร้าวเป็นส่วนประกอบกับวิธีที่ผลิตด้วยวัตถุดิบที่นำเข้า
- 3.3 ผลิตเยื่อกรองสามารถใช้บำบัดน้ำจากธรรมชาติในเบื้องต้นก่อนส่งน้ำไปยังเครื่องผลิตน้ำดื่ม

### 1.4 ขอบเขตของโครงการวิจัย

- 4.1 ดำเนินการจัดหาวัสดุและสร้างระบบเพาะเลี้ยงจุลินทรีย์ที่ปลอดภัยแบบกึ่งอัตโนมัติ ขนาด  $80 \times 150$  เซนติเมตร และศึกษาปัจจัย อุณหภูมิ และการทำให้ปลอดภัย
- 4.2 จัดทำระบบปรับปรุงคุณภาพการผลิตโดยจุลินทรีย์ด้วยเทคนิคไฟฟ้า
- 4.3 เตรียมเยื่อกรองจากผลผลิตที่ได้จากการเพาะเลี้ยงจุลินทรีย์
- 4.4 ทดสอบการบำบัดน้ำธรรมชาติในเบื้องต้น โดยมีรายละเอียดดังนี้
  - ศึกษาการลดลงของสารแขวนลอยขนาด  $0.1-0.3$  ที่ปะปนมากับน้ำผิวดิน
  - ศึกษาประสิทธิภาพในการกรองจุลินทรีย์และอนุภาคที่ปนมากับน้ำธรรมชาติ
- 4.5 นำไปประยุกต์ใช้ในภาคสนามที่ตำบลควนเนียง ในรูปแบบแผ่นมีขนาดที่เหมาะสม
- 4.6 จัดทำเอกสาร จัดอบรมการตรวจคุณภาพน้ำอย่างง่าย และอบรมเทคโนโลยีเมมเบรน

### 1.5 ประโยชน์ที่คาดว่าจะได้รับ และหน่วยงานที่นำผลการวิจัยไปใช้ประโยชน์

- 1.5.1 ได้วิธีการผลิตเยื่อกรองในสเกลที่ใหญ่ขึ้น ในระบบที่ปลอดภัย
- 1.5.2 ได้เยื่อกรองเพื่อการบำบัดน้ำธรรมชาติในเบื้องต้น
- 1.5.3 ได้แนวทางการจัดการน้ำผิวดินให้แก่เทศบาลตำบล/อบต./ผู้ใหญ่บ้าน/NGO ในชุมชน

- 1.6 ผลสำเร็จและความคุ้มค่าของการวิจัยที่คาดว่าจะได้รับ และหน่วยงานที่จะนำผลการวิจัยไปใช้ประโยชน์**
- 1.6.1 ได้ใช้วัสดุเหลือทิ้งทางการเกษตรให้เกิดมูลค่าเพิ่ม
  - 1.6.2 ชุมชนที่ผลิตสินค้าประเภทอาหาร OTOP มีน้ำสะอาดใช้ในขั้นตอนการผลิตอาหาร
  - 1.6.3 เสริมสร้างสุขอนามัยในชุมชน โดยลดการซื้อหรือใช้น้ำดื่มที่ขาดคุณภาพ
  - 1.6.4 ขยายโอกาสให้ผู้ปกครองส่วนท้องถิ่น/ชุมชนได้เข้าถึงเทคโนโลยีที่ทันสมัย
  - 1.6.5 ได้เอื้อกรองที่ผลิตในประเทศ สามารถขยายโอกาสการใช้งานในวงการศึกษาวิจัยให้มีราคาถูกลง
- 1.7 วิธีการดำเนินการวิจัย และสถานที่ทำการทดลอง/เก็บข้อมูล**
- 1.7.1 ออกแบบและสร้างระบบผลิตเชื้อเซลลูโลส ที่ภาควิชาฟิสิกส์
  - 1.7.2 เก็บเกี่ยวผลผลิตและอบแห้ง ที่ภาควิชาฟิสิกส์
  - 1.7.3 ทดสอบผลการกรองอนุภาคแขวนลอยจากตะกอนดิน ที่ภาควิชาฟิสิกส์
  - 1.7.4 ทดสอบการกรองจุลินทรีย์ ที่ห้องวิจัยเมมเบรนชีวฟิสิกส์ ภาควิชาฟิสิกส์
  - 1.7.5 ทำเป็นเอื้อกรองสำหรับใช้งานภาคสนาม ที่ภาควิชาฟิสิกส์
  - 1.7.6 ทดสอบเอื้อกรองที่ผลิตได้ ที่สถานวิจัยวิทยาศาสตร์และเทคโนโลยีเมมเบรน
  - 1.7.7 จัดอบรมตรวจคุณภาพน้ำอย่างง่ายและทำความเข้าใจเกี่ยวกับเทคโนโลยีเมมเบรนเพื่อผลิตน้ำดื่ม ให้แก่ชุมชน ในเขตจังหวัดสงขลาและใกล้เคียง
- 1.8 แผนการถ่ายทอดเทคโนโลยีหรือผลการวิจัยสู่กลุ่มเป้าหมาย**
- |                     |  |
|---------------------|--|
| <b>ขั้นตอนที่ 1</b> | จัดอบรมการตรวจคุณภาพน้ำอย่างง่ายด้วยอุปกรณ์ test kits  |
| <b>วัตถุประสงค์</b> | เพื่อให้ความรู้เบื้องต้นแก่กลุ่มเป้าหมายในชุมชน ได้แก่ผู้ที่รับผิดชอบการผลิตน้ำดื่มสะอาด/นักวิชาการ/ครู/นักเรียน ให้สามารถวิเคราะห์คุณภาพน้ำเบื้องต้นได้ |
| <b>ขั้นตอนที่ 2</b> | จัดอบรมให้กลุ่มเป้าหมายดังกล่าวเข้าใจการทำงานของเทคโนโลยีเมมเบรน   |
| <b>วัตถุประสงค์</b> | เพื่อระดมทุนเบื้องต้นเข้าสู่วัสดุระบบผลิตน้ำดื่มด้วยเทคโนโลยีเมมเบรน   |
| <b>ขั้นตอนที่ 3</b> | ถ่ายทอดวิธีการผลิตเซลลูโลสแบบปลอดเชื้อให้แก่ผู้ประกอบการผลิตวุ้นจากน้ำมะพร้าวในท้องถิ่น  |
| <b>วัตถุประสงค์</b> | เพื่อให้ได้อาหารในท้องตลาดที่สะอาดและมีคุณภาพดีขึ้น  |



## บทที่ 2 วิธีการวิจัย

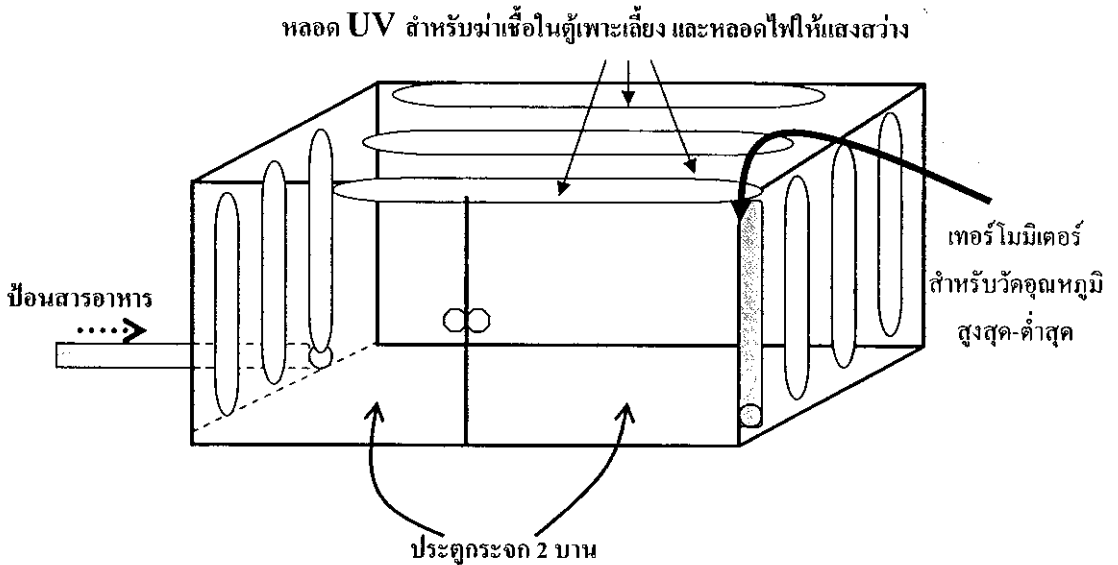
### นิยาม ระบบเพาะเลี้ยงกึ่งอัตโนมัติ

ระบบกึ่งอัตโนมัติ หมายถึงระบบที่สามารถฆ่าเชื้อในตู้ก่อนการเพาะเลี้ยง (ด้วยแสง UV) ซึ่งมีถาดเพาะเลี้ยงอยู่ภายใน มีระบบส่งอาหารเพาะเลี้ยงเซลล์ไปที่ถาดเพาะเลี้ยงเซลล์ในตู้ปิดที่ปลอดภัย มีระบบเปิด-ปิดแสงอัตโนมัติตั้งเวลาที่ต้องการ แสงที่ให้แก่ตู้เพาะเลี้ยงมาจากหลอด Fluorescent ผสมกับ Incandescent เพื่อให้แสงครบทั้งสเปกตรัมสำหรับเซลล์มีชีวิต หลังการเก็บเกี่ยวผลผลิต ล้างเช็กรองด้วยน้ำประปา

### 2.1 ระบบกึ่งอัตโนมัติ

#### 2.1.1 ตู้สำหรับเพาะเลี้ยงจุลินทรีย์เพื่อการผลิตเซลล์ูโลส

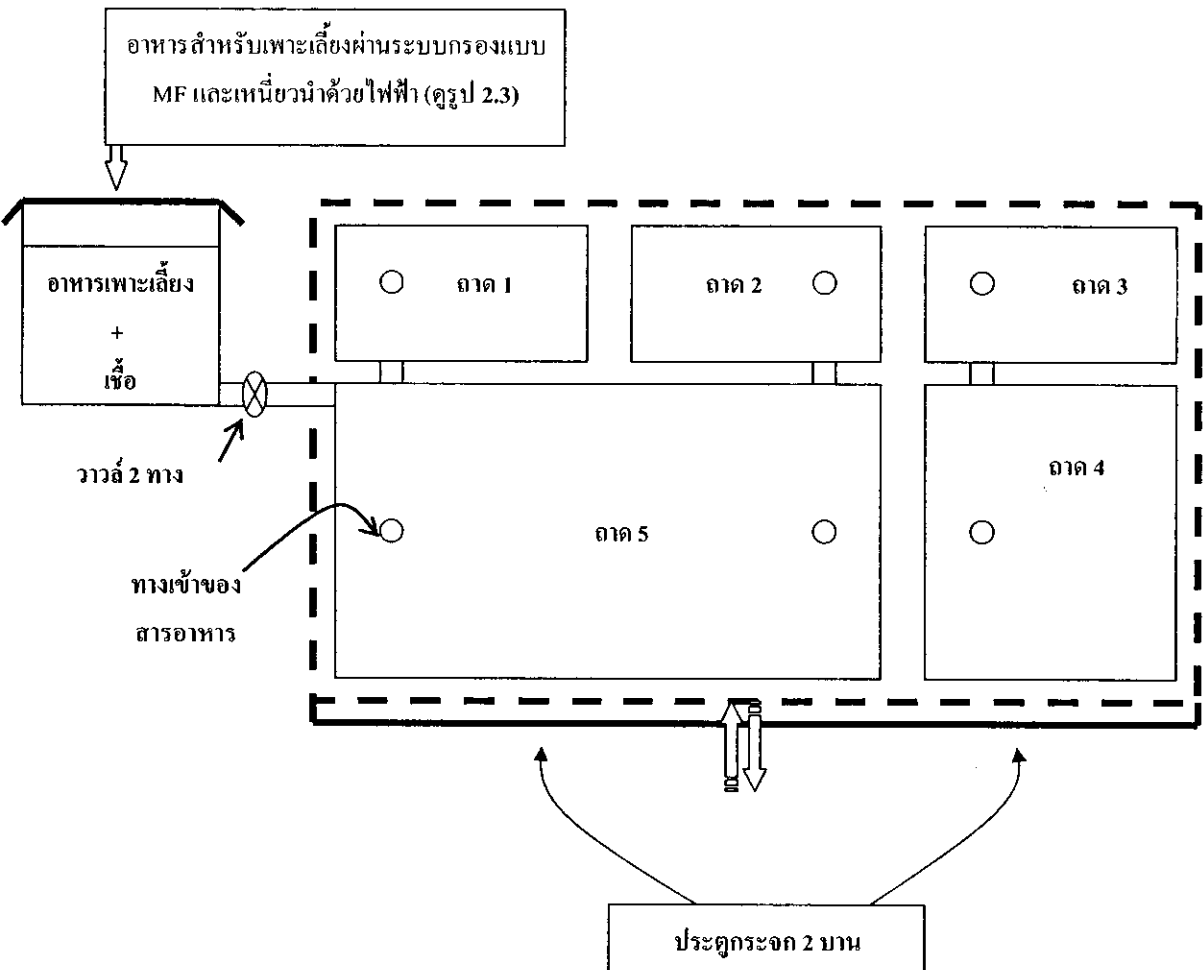
ตู้มีขนาด กว้าง x ยาว x สูง = 0.80 x 1.40 x 0.80 m ทำด้วยไม้อัดบุโฟมก้ำ (รูปที่ 2.1) ผิวด้านในมันวาว เพื่อป้องกันการทำความสะอาด เดินสายไฟพร้อมติดตั้ง Timer เพื่อกำหนดเวลาการเปิด-ปิดแสงสว่างหลอด UV (Ultra Violet) สำหรับฆ่าเชื้อ ติดตั้งภายในตู้ ทั้งด้านบนและด้านข้าง (หากจำเป็น) ส่วนจำนวนหลอดไฟที่ใช้จะปรับปรุงโดยใช้ข้อมูลจากผลการทดลอง



รูปที่ 2.1 ตู้เพาะเลี้ยงพร้อมระบบแสง

### 2.1.2 การป้อนสารอาหารสำหรับเพาะเลี้ยงและถาดเพาะเลี้ยง

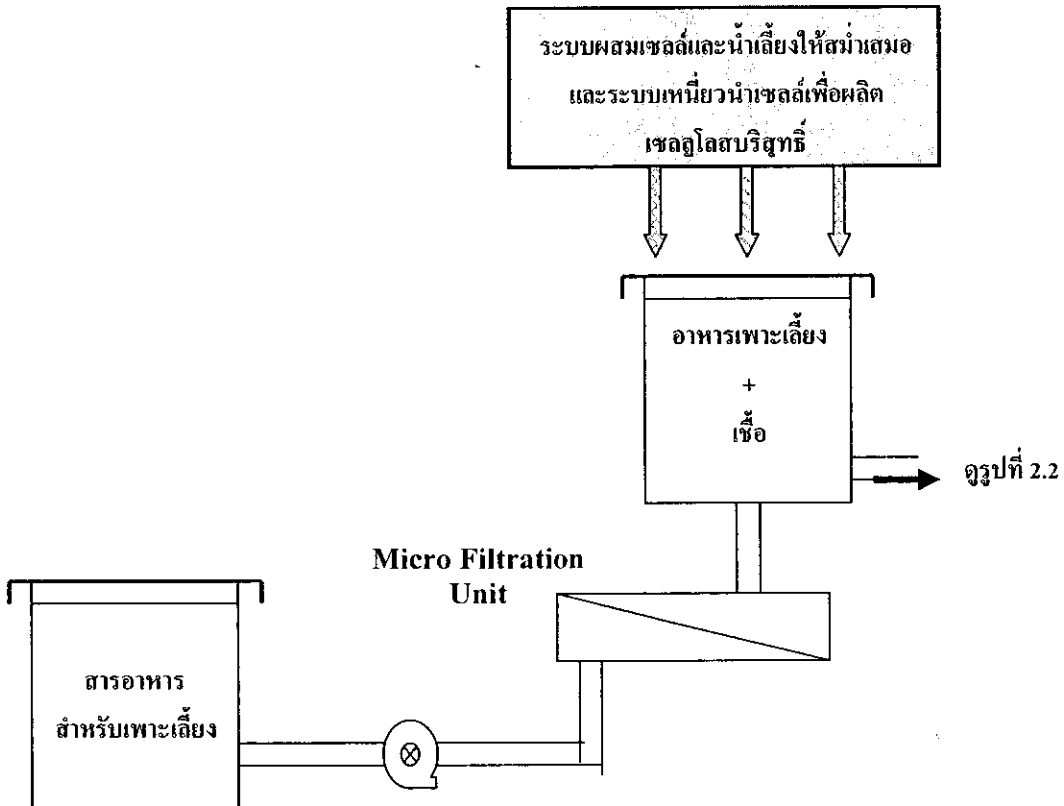
การศึกษาขั้นต้นจะใช้ถาดขนาดไม่เท่ากัน (รูปที่ 2.2) เพื่อศึกษาเชิงเปรียบเทียบระหว่างแสงที่ให้ระหว่างการเพาะเลี้ยง กับความหนาแน่นจุลินทรีย์ และปริมาณสารอาหาร เจ้าของกิจการนิยมนำเชื้อที่ปนมากับสารอาหาร โดยการต้มให้เดือด แล้ววางให้เย็นก่อนนำไปใช้งาน ส่วนงานวิจัยนี้ใช้การกรองระดับไมโครฟิลเตรชัน (MF) ที่มีเยื่อกรองระดับ 0.1-0.3 ไมครอน ที่ต่อกับปั๊มขนาด 0.5 กำลั่งน้ำ (ดูรูปที่ 2.3) เป็นการทดลองเบื้องต้นเพื่อกำจัดเชื้อโรคโดยไม่ต้องผ่านความร้อน เชื่อว่าจะสามารถรักษาคุณค่าของเอ็นไซม์ในน้ำมะพร้าวซึ่งเป็นส่วนประกอบสำคัญของอาหารที่ใช้เพาะเลี้ยง



รูปที่ 2.2 การเดินสายสารอาหารพร้อมเชื้อและถาดสำหรับเพาะเลี้ยง

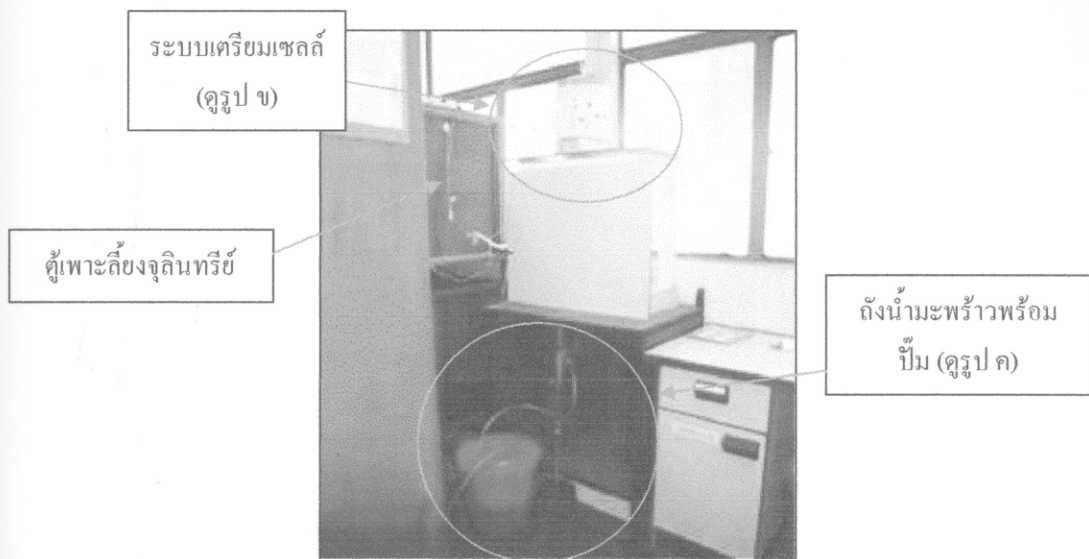
### 2.1.3 ระบบกรองระดับไมโคร (Micro-Filtration, MF)

ได้ผ่านสารละลายอาหารสำหรับเพาะเลี้ยงเชื้อ เข้าสู่ระบบกรองแบบไมโคร ก่อนเก็บเข้าถังพักดังรูปที่ 2.3

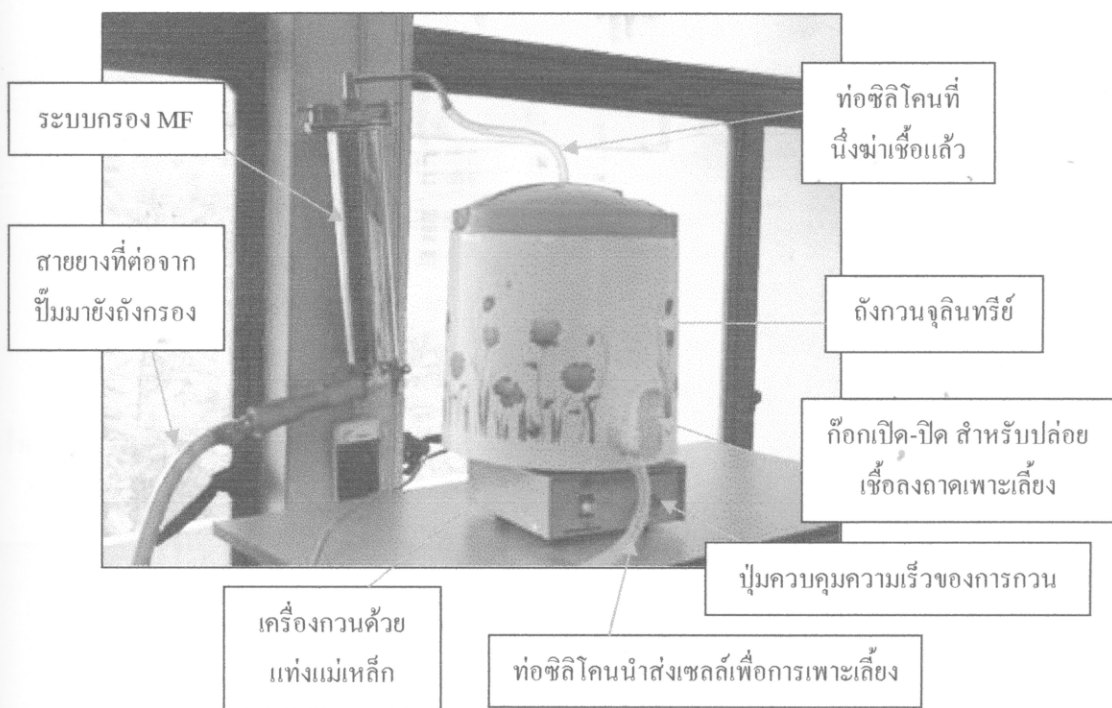


รูปที่ 2.3 การฆ่าเชื้อโดยใช้เทคโนโลยีเมมเบรนระดับไมโคร

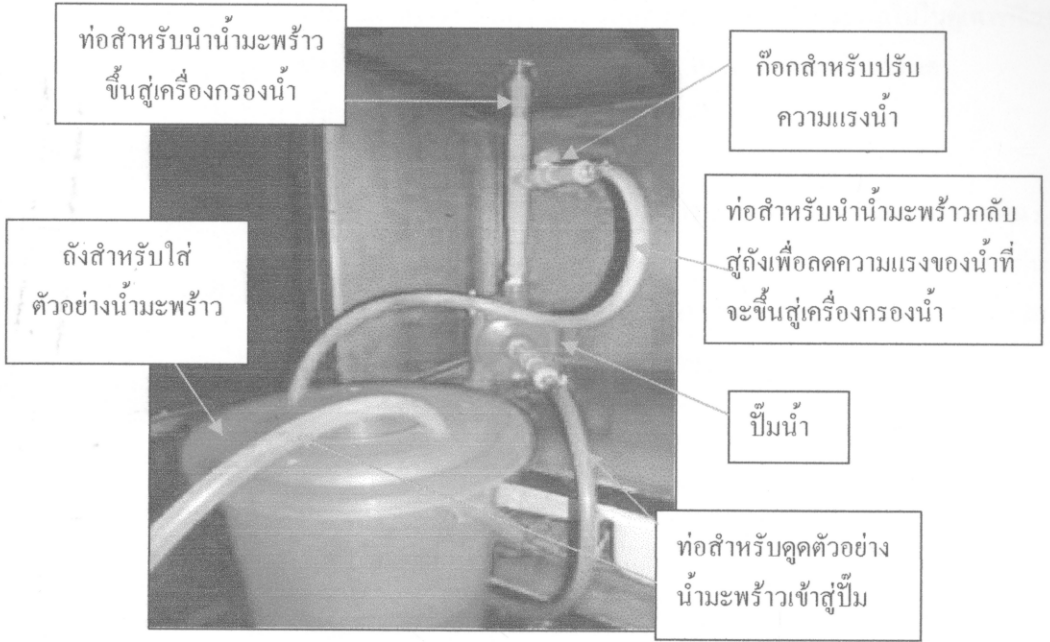
จากไดอะแกรมในรูปที่ 2.1 – 2.3 ได้ติดตั้งอุปกรณ์การเพาะเลี้ยงจุลินทรีย์ เพื่อผลิตเชื้อเซลล์โอสบริวทรี ดังกล่าว ดังแสดงในรูปที่ 2.4 ก-ค



(ก) ระบบเตรียมเซลล์ที่ใช้น้ำมะพร้าวที่ผ่านการกรองระดับ MF แล้ว



(ข) รายละเอียดของระบบเตรียมเซลล์



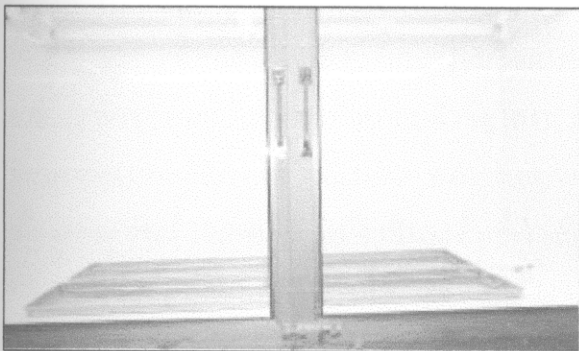
(ค) แสดงการต่ออุปกรณ์จากถังใส่น้ำมะพร้าว ปั้มน้ำ ซึ่งอยู่ใต้โต๊ะแล็บ

รูปที่ 2.4 การเตรียมเซลล์เพื่อการเพาะเลี้ยงโดยใช้น้ำมะพร้าวที่ผ่านระบบกรองแบบ MF ซึ่งประกอบด้วย

- (ก) อุปกรณ์เพื่อป้อนเซลล์สู่ถาดเพาะเลี้ยง
- (ข) ระบบกรองน้ำมะพร้าวแบบ MF และถังจุลินทรีย์พร้อมระบบบววน
- (ค) ถังน้ำมะพร้าวสดที่ยังไม่ผ่านการกรอง พร้อมปั้มน้ำขนาด 0.5 กำลังม้า

หลังจากทดลองในงานทดลองจนได้ผลแล้ว ขนาดใหญ่ขึ้น 25x100 cm<sup>2</sup> ดังแสดงในรูปที่ 2.5 – 2.8

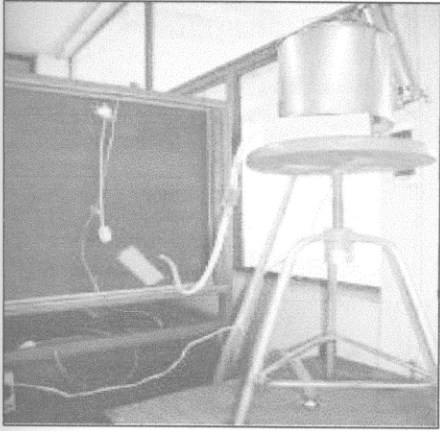
จึงขยายขนาดทดลองให้สามารถผลิตเชื้อกรองใน



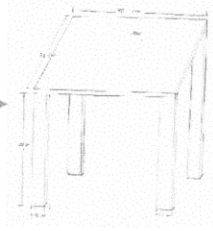
รูปที่ 2.5

การจัดวางถาดและการต่อท่อซิลิโคนเข้ากับถาด แสตนเลสในระบบการผลิตเชื้อกรอง



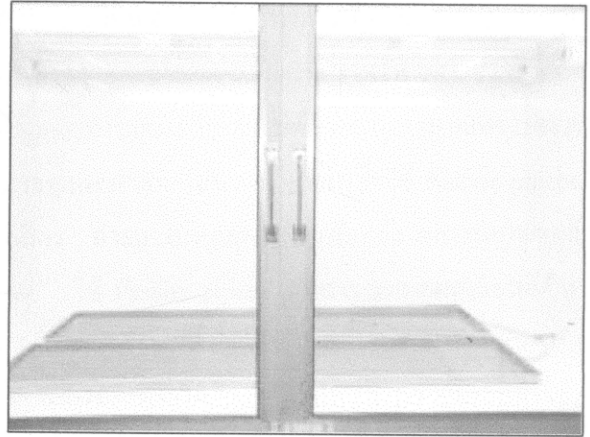
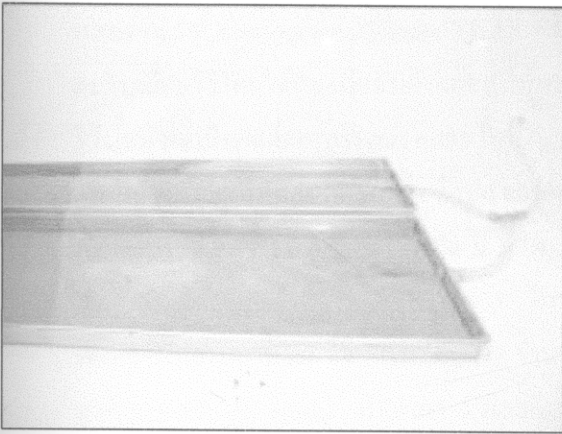


รูปที่ 2.6 การวางตั้งกวนและการต่อท่อซิติโคนจากถังกวนเข้าไปในตู้เพาะเลี้ยง ขนาดของถาดแอสตันเลสเป็นขนาด 25 x 100 cm และถังกวนขนาด เส้นผ่าศูนย์กลาง 20 cm สูง 20 cm



รูปที่ 2.7

โต๊ะวางถังกวน ประกอบด้วยไม้ัดขนาด กว้าง x ยาว x หนา = 36 x 75 x 1.2 cm จำนวน 1 แผ่น และไม้ัดขนาด กว้าง x ยาว x หนา = 10.5 x 80 x 1.6 cm จำนวน 4 แผ่น



รูปที่ 2.8 การถ่ายเชื้อ *Aetobacter xylinum* TISTR No. 975 ผ่านท่อซิติโคนจากภายนอกตู้ลงในถาดเพาะเลี้ยง

## 2.2 การเตรียมอาหารสำหรับเลี้ยงแบคทีเรีย

### 2.2.1 การเตรียมอาหารเหลว

อาหารที่ใช้เพาะเลี้ยงเซลล์และเงื่อนไขการเพาะเลี้ยง ได้เคยรายงานไว้แล้วโดยปริศนา [7] โดยอาหารหลักของการเพาะเลี้ยงประกอบด้วยซูโครส 4%(w/v), เปปโตน 0.5% (w/v), ยีสต์ 0.5%(w/v), กรดซิตริก 0.0115%(w/v) และ  $\text{Na}_2\text{HPO}_4$  0.033%(w/v) ปรับค่าพีเอชของอาหารให้มีค่า pH 4 ด้วย HCl 1.94 N เนื่องจากสาฟิตรี [9] พบว่า pH 4 เป็นระดับที่เซลล์เจริญเติบโตได้ดีที่สุด หลังจากนั้นนำอาหารไปนึ่งฆ่าเชื้อที่ความดัน 115 ปอนด์ต่อตารางนิ้ว อุณหภูมิ  $121^\circ\text{C}$  เป็นเวลา 15 นาที ตั้งทิ้งไว้ให้เย็นก่อนนำไปใช้

## 2.2.2 การเตรียมอาหารแข็ง

นำอาหารเหลวในข้อ 2.2.1 ไปต้มให้เดือดแล้วเติมผงวุ้น 2% จากนั้นเทอาหารเลี้ยงเชื้อใส่ขวด Duran แล้วจึงนำไปนึ่งฆ่าเชื้อตามวิธีการเดิมอีกครั้ง ตั้งทิ้งไว้ให้อาหารเย็นลงถึงอุณหภูมิประมาณ 40-45°C แล้วจึงเทอาหารใส่จานเพาะเชื้อ (ที่ผ่านการฆ่าเชื้อด้วยการ Autoclave แล้ว) รอให้อาหารแข็งตัวแล้วจึงนำไปใช้ต่อไป

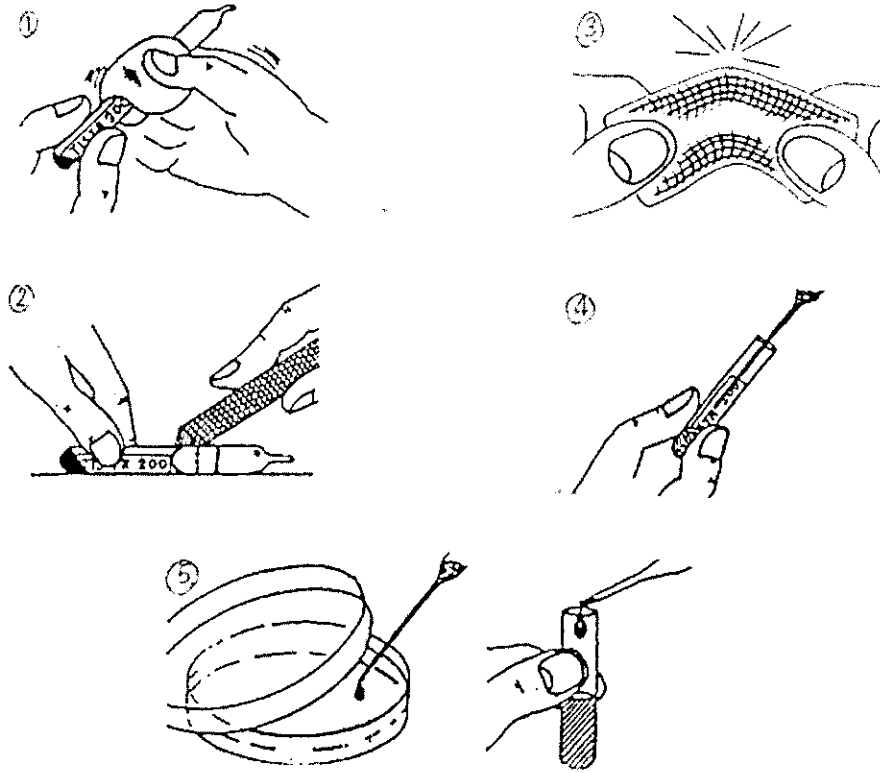
## 2.3 วิธีการเพาะ *Acetobacter Xylinum* TISTR NO. 975 จากหลอดเชื้อแห้งแข็ง (Revival of Freeze-Dried Cultures)

ใช้ผ้ากอลอสซุบแอลกอฮอล์ 70% พอหามาเช็ดบริเวณรอบๆ หลอดบรรจุ *Acetobacter Xylinum* TISTR NO. 975 (ampoule) จากนั้นใช้ตะไบสำหรับเลื่อยแก้วเลื่อยลงบนหลอดบริเวณกึ่งกลางลำให้เป็นรอยลึกลงไปเนื้อแก้ว แล้วใช้ผ้ากอลอสที่มีความหนาพอประมาณชุบแอลกอฮอล์ 70% พอหามาหุ้มหลอดบรรจุ *Acetobacter Xylinum* TISTR NO. 975 เปิดหลอดบรรจุโดยทำการหักหลอดบรรจุบริเวณที่ใช้ตะไบเลื่อยไว้โดยใช้สองมือจับผ้ากอลอสที่หุ้มหลอดบรรจุ *Acetobacter Xylinum* TISTR NO. 975 ไว้ แล้วใช้นิ้วหัวแม่มือกดเบาๆ บริเวณรอยตะไบ ทำด้วยความระมัดระวังโดยไม่ต้องออกแรงมากเพราะจะทำให้เนื้อแก้วบริเวณที่หักแตกละเอียด ดึงปลายหลอดบรรจุและลำที่ทิ้งในขวดน้ำยาฆ่าเชื้อ ใช้ Pasture pipette ดูดอาหารเหลว (HS broth) ประมาณ 0.3-0.4 มิลลิลิตร ถ่ายลงในหลอดบรรจุเพื่อละลายสารผสมเซลล์ของ *Acetobacter Xylinum* TISTR NO. 975 ในหลอด ใช้ Pasture pipette ดูดสารละลายผสมเซลล์ดังกล่าวหยดลงบนจานอาหารแข็ง (HS agar) จำนวน 1 หยด ส่วนสารละลายเซลล์ที่เหลือทั้งหมดถ่ายใส่ลงในอาหารเหลว (HS broth) ปริมาตร 5 มิลลิลิตร ขั้นตอนดังกล่าวได้แสดงไว้ในรูปที่ 2.9 สำหรับสารละลายเซลล์หยดลงบนจานอาหารแข็ง (HS agar) ใช้ห่วงเหล็ก (loop) ฆ่าเชื้อเขี่ยกระจายเชื้อ (streak plate) เพื่อให้ได้เป็นโคโลนีเดี่ยวๆ จากนั้นนำไปบ่มในตู้เพาะเลี้ยงเซลล์ (ที่ทำการเช็ดด้วย 70% Ethanol และเปิด UV ทิ้งไว้เป็นเวลา 1 ชั่วโมงก่อนการเพาะเลี้ยง) ที่อุณหภูมิ 30°C เป็นเวลา 3 วัน เพื่อดูการเจริญของ *Acetobacter Xylinum* TISTR NO. 975 (ศูนย์จุลินทรีย์ สถาบันวิจัยวิทยาศาสตร์และเทคโนโลยีแห่งประเทศไทย, 2550)

**หมายเหตุ** การถ่ายเชื้อทุกขั้นตอนทำในตู้เพาะเลี้ยงเซลล์ (ที่ทำการเช็ดด้วย 70% Ethanol และเปิด UV ทิ้งไว้เป็นเวลา 1 ชั่วโมงก่อนการเพาะเลี้ยง)

## 2.4 การต่อเชื้อ (subculture)

ปิเปตเซลล์แบคทีเรียที่ทำการเพาะเลี้ยงไว้ในข้อ 2.1 ปริมาตร 1 ml ลงใน อาหารเลี้ยงเชื้อ (HS broth) ปริมาตร 5 ml เขย่าให้เซลล์แบคทีเรียและอาหารเลี้ยงเชื้อผสมกันดี วางทิ้งไว้ในตู้เพาะเลี้ยงเซลล์ (ซึ่งทำการเช็ดด้วย 70% Ethanol และเปิด UV ทิ้งไว้เป็นเวลา 1 ชั่วโมงก่อนการเพาะเลี้ยง) ที่อุณหภูมิ 30°C เป็นเวลา 3 วัน หากเชื้อไม่แข็งแรงพอ ควรทำการ subculture ต่อ



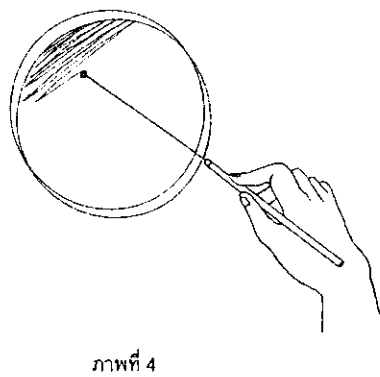
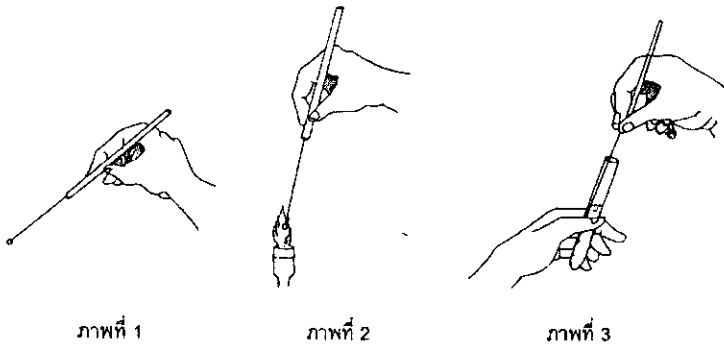
รูปที่ 2.9 วิธีการเพาะเลี้ยงจุลินทรีย์จากหลอดเชื้อแห้งแข็ง (Revival of Freeze-Dried Cultures)

(ที่มา <http://www.tistr.or.th/mircen/pdf/FM%20-%20MIR%20-%202009%20-%2020005%20%20Rev.5.pdf>)

## 2.5 การแยกเชื้อด้วยวิธีการ Streak plate

เพื่อเป็นการทดสอบว่าแบคทีเรียที่ทำการเพาะเลี้ยง (*Acetobacter Xylinum* TISTR NO. 975) มีการปนเปื้อนจากเชื้ออื่นหรือไม่ และเพื่อการแยกเชื้อในกรณีที่น่าจะมีการปนเปื้อนเกิดขึ้น มีวิธีการเป็นขั้นตอน ตาม อนุสรณ์ [8] (ดูรูปที่ 2.10) ดังต่อไปนี้

- 1) เสา inoculating loop ให้ร้อนแดงเพื่อฆ่าเชื้อที่อาจติดอยู่ที่ loop
- 2) เปิดหลอดที่คาดว่ามิมีเชื้อหลายชนิดผสมกันอยู่โดยวิธี aseptic technique
- 3) ใช้ sterile loop จุ่มลงใน broth ที่มีเชื้ออยู่นั้นให้ broth ฉาบติด loop เป็น film บาง ๆ ขึ้นมา
- 4) ปิดจุกหลอดที่มีเชื่อนั้น โดยวิธี aseptic technique
- 5) Smear เชื้อที่ติด loop ขึ้นมา ลงบนมุมหนึ่งมุมใดของ plate แล้วเริ่มต้น streak กลับไปกลับมาประมาณ 10 ครั้ง
- 6) หมุน plate แล้ว streak ออกมาจากแนวสุดท้ายของช่วงแรกทำเช่นนี้จนทั่ว plate ดังรูปที่ 5
- 7) นำไปบ่มไว้ที่อุณหภูมิ 37 °C เป็นเวลา 3 วัน



ภาพที่ 1

การจับ inoculating loop ด้วยมือขวาคล้ายจับปากกา

ภาพที่ 2

การเผา inoculating loop โดยให้อยู่ในแนวตั้ง เพื่อให้เส้นลวดร้อนแดงจนทั่ว แล้วปล่อยให้เย็นลง

ภาพที่ 3

การจุ่ม inoculating loop ลงไปในเชื้อที่เลี้ยงไว้ใน broth

ภาพที่ 4

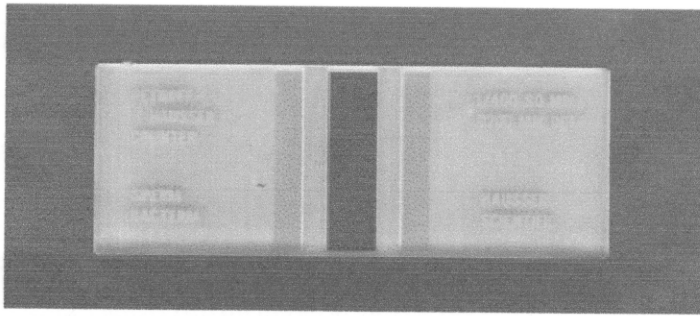
การ Streak เชื้อลงบนอาหารแข็ง

(ที่มา รัชชชัยและคณะ, 2542)

รูปที่ 2.10 ขั้นตอนการ Streak plate

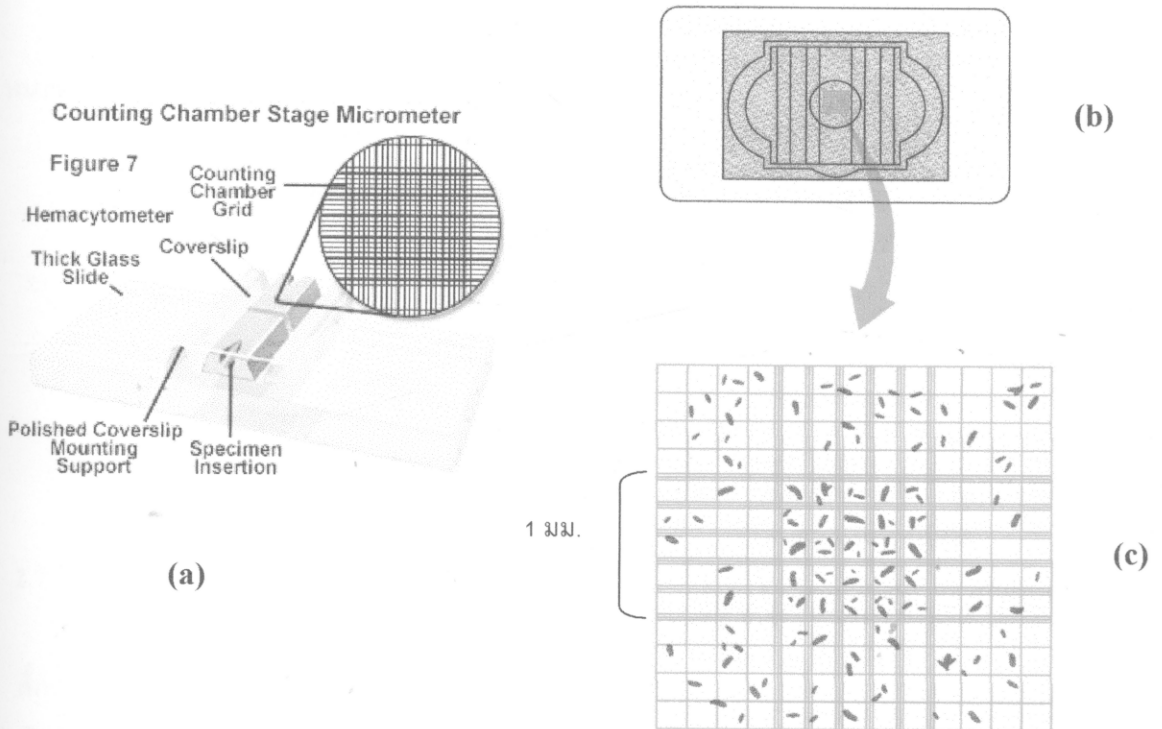
## 2.6 การตรวจนับเชื้อแบคทีเรียด้วย Haemocytometer

Haemocytometer เป็นเครื่องมือที่ใช้สำหรับการนับเม็ดเลือด แต่ปัจจุบันได้นำมาประยุกต์ใช้กับการนับแบคทีเรีย ยีสต์และสปอร์ของเชื้อรา เครื่องมือนี้เป็นสไลด์ที่มีช่องแบ่งไว้แน่นอนและมีขอบสูงยกจากบริเวณซิดเมื่อปิดด้วยกระจกปิดสไลด์ขอบนี้จะรองรับกระจกปิดสไลด์ไว้ ทำให้เกิดระยะระหว่างกระจกและสไลด์ในบริเวณที่มีซิดคิดเป็นความลึกได้ 0.1 หรือ 0.2 มิลลิเมตรแล้วแต่บริษัทผู้ผลิต ซิดที่แบ่งกำหนดไว้ประกอบด้วยสี่เหลี่ยมจตุรัสใหญ่ 25 ช่อง แต่ละช่องมีขนาด 0.2 x 0.2 ตารางมิลลิเมตร ในแต่ละช่องใหญ่นี้จะมีการแบ่งเป็นช่องเล็กอีก 16 ช่อง แต่ละช่องมีเนื้อที่ 0.05 x 0.05 ตารางมิลลิเมตร ดังนั้นของเหลวที่บรรจุอยู่ในแต่ละช่องเล็กจะมีปริมาตร 0.00025 ลูกบาศก์มิลลิเมตร (0.05 x 0.05 x 0.1 มิลลิเมตร) เครื่องมือนี้จะมีกระจกปิดสไลด์ซึ่งมีความหนาและความหนาเฉพาะ ไม่ควรใช้กระจกปิดสไลด์อื่นแทนเนื่องจากน้ำหนักของกระจกมีผลทำให้ปริมาตรภายในช่องระหว่างสไลด์กับกระจกผิดไปได้ และเมื่อใช้กระจกที่หนาไปจะเป็นอุปสรรคต่อการโฟกัสกล้อง (ธนุสร, 2545)



รูปที่ 2.11 ลักษณะของ Haemacytometer

(ที่มา <http://science.kmutt.ac.th/class/mic291/mic291lab7.doc>)



รูปที่ 2.12 ส่วนประกอบของ Haemacytometer และภาพที่มองเห็นจากกล้องจุลทรรศน์

(a) ส่วนประกอบของ Haemacytometer (b) ภาพที่มองเห็นจากด้านบนของ chamber มีตารางอยู่กลางสไลด์ และ

(c) ภาพขยายของตารางที่กำลังขยาย 10X ประกอบด้วยสี่เหลี่ยมจัตุรัสขนาดใหญ่แต่ละด้านยาว 1 มม. ภายใน

มีสี่เหลี่ยมจัตุรัสเล็กบรรจุกว้าง 25 ช่อง แต่ละช่องมีเส้น 3 เส้นล้อมรอบโดยแต่ละด้านยาว 0.2 มม. ภายในมีสี่เหลี่ยมจัตุรัสขนาดเล็กบรรจุกว้างอีก 16 ช่อง

(ที่มา <http://science.kmutt.ac.th/class/mic291/mic291lab7.doc>)

การตรวจนับเชื้อแบคทีเรียด้วย Haemocytometer มีขั้นตอนดังต่อไปนี้

- 1) ทำการเจือจางตัวอย่างด้วยน้ำกลั่นที่ผ่านการฆ่าเชื้อแล้วในอัตราส่วน 1 ต่อ 9 ในหลอดทดลองเขย่าให้เข้ากันด้วย vortex mixer
- 2) ปิดกระจกที่เป็นชุดเฉพาะลงบน Haemocytometer
- 3) ดูดตัวอย่างด้วย pasture pipette มาแตะบริเวณช่องว่างระหว่าง Haemocytometer กับกระจกปิด (cover slide) เพื่อให้สารละลายเข้าไปในช่องว่างดังกล่าว จากนั้นซับสารละลายส่วนเกินออกไป
- 4) ส่องดูด้วยกล้องจุลทรรศน์ที่กำลังขยาย 40 หรือ 100 เท่า (oil immersion objective lens) ของเลนส์ใกล้วัตถุ
- 5) นับแบคทีเรียที่อยู่ในช่องเล็กไม่ต่ำกว่า 10 ช่อง
- 6) คำนวณจำนวนแบคทีเรียที่พบเป็นจำนวนเซลล์ ต่อ 1 ml ของตัวอย่าง

#### หมายเหตุ

- 1) ถ้าจุลินทรีย์มีความหนาแน่นมากหรือน้อยเกินไป ให้เลือกความเจือจางในระดับที่เหมาะสมที่จะสามารถนับจำนวนแบคทีเรียได้
- 2) จำนวนแบคทีเรียควรเป็น 1-10 เซลล์ต่อ 1 ช่องเล็ก
- 3) หากมีเซลล์แบคทีเรียแตะหรือทับเส้นกรอบสี่เหลี่ยมอยู่ ให้นับเซลล์ในช่องนั้นเฉพาะเซลล์แบคทีเรียแตะหรือทับเส้นด้านบนและด้านขวาเท่านั้น
- 4) การใช้ oil immersion objective lens ฟังระวังการกระทบระหว่างเลนส์ (100x) กับ cover slide ของ haemocytometer ซึ่งมีราคาแพง

#### 2.7 วิธีการคำนวณหาจำนวนเซลล์ต่อ 1 ml

ตัวอย่างการคำนวณหาจำนวนเซลล์ของแบคทีเรียต่อ 1 ml ตัวอย่าง สามารถคำนวณได้ดังนี้

สี่เหลี่ยมลูกบาศก์เล็กมีความกว้าง 0.05 mm ยาว 0.05 mm chamber ลึก 0.1 mm

ดังนั้น สี่เหลี่ยมลูกบาศก์เล็กมีปริมาตร =  $0.05 \times 0.05 \times 0.1 \text{ mm}^3$

ถ้านับจำนวนเซลล์เฉลี่ยต่อสี่เหลี่ยมลูกบาศก์เล็ก = X เซลล์

ปริมาตรตัวอย่าง  $0.05 \times 0.05 \times 0.1 \text{ mm}^3$  มีแบคทีเรีย = X เซลล์

ปริมาตรตัวอย่าง  $1000 \text{ mm}^3$  มีแบคทีเรีย =  $\frac{X \times 1000 \text{ cells}}{0.05 \times 0.05 \times 0.1}$

เนื่องจาก  $1 \text{ ml} = 1 \text{ cc} = 1000 \text{ mm}^3$  ดังนั้นจะได้

$$\text{จำนวนเซลล์/1 ml} = \frac{X \times 1000 \text{ cells}}{0.05 \times 0.05 \times 0.1}$$

## 2.8 การตรวจเชื้อจุลินทรีย์ทั้งหมดในตัวอย่างน้ำมะพร้าว แบ่งออกเป็น 2 ขั้นตอน ดังนี้

### 2.8.1 การเก็บตัวอย่างน้ำมะพร้าว

เพื่อเปรียบเทียบคุณภาพของน้ำมะพร้าวที่ผ่านและไม่ผ่านการกรองด้วยระบบ MF จึงเก็บตัวอย่างน้ำมะพร้าว 2 วิธี คือส่วนหนึ่งนำไปกรองด้วยผ้าขาวบาง 2 ชั้น และอีกส่วนหนึ่งนำไปกรองผ่านระบบกรอง MF ใช้ตัวอย่างน้ำมะพร้าวประมาณ 50-80 มิลลิลิตร ใส่ในขวด Duran ขนาด 100 มิลลิลิตร ที่นึ่งฆ่าเชื้อด้วย Autoclave ที่อุณหภูมิ  $121^{\circ}\text{C}$  ภายใต้ความดัน 15 ปอนด์ต่อตารางนิ้ว เป็นเวลา 15 นาที ด้วยวิธีการ aseptic technique (เพื่อตรวจนับจำนวนจุลินทรีย์ทั้งหมด) และเก็บตัวอย่างน้ำมะพร้าวประมาณ 100 มิลลิลิตร ใส่ในขวด Duran ขนาด 250 มิลลิลิตร จำนวน 3 ใบ เพื่อนำไปตรวจวัด pH, ความหวานและปริมาณไขมัน

### 2.8.2 การตรวจเชื้อจุลินทรีย์

มีวิธีการดังนี้

- 1) ทำการเจือจางตัวอย่างในข้อ 2.6 ในระดับที่เหมาะสม
- 2) คูดเชื้อที่ระดับการเจือจางที่เหมาะสมปริมาตร 1 มิลลิลิตร ใส่ลงในจานเพาะเชื้อ (plate) ที่ผ่านการอบฆ่าเชื้อด้วย Hot Air Oven ที่อุณหภูมิ  $180^{\circ}\text{C}$  เป็นเวลา 3 ชั่วโมง หรือ การนึ่งฆ่าเชื้อด้วย Autoclave ที่อุณหภูมิ  $121^{\circ}\text{C}$  ภายใต้ความดัน 15 ปอนด์ต่อตารางนิ้ว เป็นเวลา 15 นาที จำนวน 3 จาน
- 3) เทอาหารสูตร PDA (Potato Dextrose agar) ซึ่งผ่านการนึ่งฆ่าเชื้อด้วย Autoclaved ที่อุณหภูมิ  $121^{\circ}\text{C}$  ภายใต้ความดัน 15 ปอนด์ต่อตารางนิ้ว เป็นเวลา 15 นาที ที่รอให้เย็นจนกระทั่งมีอุณหภูมิประมาณ  $40-45^{\circ}\text{C}$  ลงในจานเพาะเชื้อในข้อสอง
- 4) รีบทำการหมุนจานอาหารตามเข็มนาฬิกาประมาณ 5 รอบ ทวนเข็มนาฬิกาประมาณ 5 รอบ เคลื่อนจานขึ้นลงตามแนวระนาบ 5 ครั้ง เคลื่อนไปทางซ้าย-ขวาตามแนวระนาบ 5 ครั้ง เพื่อเป็นการให้เชื้อกระจายตัวได้ทั่วในอาหาร

- 5) ตั้งทิ้งไว้จนอาหารแข็งตัว คว่ำจานลง (เพื่อป้องกันไอน้ำเกาะบนผิวหน้าอาหาร)
- 6) บ่มไว้ที่อุณหภูมิ 30-37°C เป็นเวลา 72 ชั่วโมง
- 7) เลือกจานอาหารที่มีโคโลนีเจริญอยู่ประมาณ 30-300 โคโลนี แล้วนับจำนวนจากจานอาหารที่ระดับการเจือจางนั้น หาค่าเฉลี่ยของจำนวนโคโลนีบนจานอาหารทั้ง 3 จาน แล้วคำนวณหาค่าจุลินทรีย์ต่อมิลลิลิตรของตัวอย่าง

### สูตรการคำนวณ

จำนวนจุลินทรีย์ต่อมิลลิลิตรของ ตัวอย่าง (CFU/มิลลิลิตร)	=	ค่าเฉลี่ยของจำนวนจุลินทรีย์บนจานอาหาร 3 จาน ที่ระดับการเจือจางเดียวกัน X ส่วนกลับของ ระดับการเจือจาง
--	---	--

## 2.9 การตรวจวัด pH ความหวาน และปริมาณไขมันในตัวอย่างน้ำมะพร้าว

### 2.9.1 การวัด pH และความหวาน

ทำการ calibrate เครื่องวัด pH ด้วย pH buffer 4 และ pH buffer 7 วัด pH ของตัวอย่างน้ำมะพร้าวทั้งที่ไม่ผ่านการกรอง (CW) และที่ผ่านการกรอง(FCW) ด้วยเครื่องกรอง โดยทำการวัดตัวอย่างละ 3 ซ้ำ ใช้แท่งแก้วที่สะอาดและแห้งแต่ละตัวอย่างน้ำมะพร้าวทั้งที่ไม่ผ่านการกรอง(CW) และที่ผ่านการกรอง(FCW) ด้วยเครื่องกรองมาแตะลงบน hand refractometer แล้วอ่านค่าความ (% Brix) จากเครื่องตรงตำแหน่งที่แถบสีขาวและสีน้ำเงินตัดกัน โดยทำการวัดตัวอย่างละ 3 ซ้ำ

### 2.9.3 การหาปริมาณไขมันในน้ำมะพร้าว

#### (ก) วิธี Rose-Gottlieb process ร่วมกับ Werner-Schmid process

ไฮโดรไลส์ตัวอย่างด้วยกรดเกลือเข้มข้น 6 โมลาร์ใน water bath เพื่อสลายโปรตีนออกจากไขมัน และเติมแอลกอฮอล์ลงไปช่วยในการพาไขมันจากชั้นน้ำมายังชั้นของตัวทำละลายผสมของไดเอธิลอีเทอร์ และปิโตรเลียมอีเทอร์ การใช้ตัวทำละลายผสมระหว่างไดเอธิลอีเทอร์และปิโตรเลียมอีเทอร์ จะช่วยไม่ให้เกิดการรวมตัวกับน้ำมากขึ้น ทำให้แยกไขมันออกได้หมด (ลักษณะ และ นิธิยา, 2540) มีขั้นตอนดังนี้

- 1) ชั่งตัวอย่างน้ำมะพร้าว 10 กรัม ใส่ใน ฟลasks ขนาด 250 มิลลิลิตร
- 2) เติมน้ำละลาย HCl เข้มข้น 6 โมลาร์ ปริมาตร 10 มิลลิลิตร คนให้เข้ากัน 3) ปิดด้วยกระดาษฟิวส์ใน water bath อุณหภูมิ 65 องศาเซลเซียส นาน 5 นาที
- 3) เทสารละลายในข้อ 2 ใส่ใน separatory funnel
- 4) เติมน้ำเอทิลแอลกอฮอล์ 95% ปริมาตร 10 มิลลิลิตร ปิดจุกแล้วเขย่าให้เข้ากัน
- 5) เติมน้ำไดเอธิลอีเทอร์ (peroxide free) 25 มิลลิลิตร ปิดจุกแล้วเขย่าแรงๆ 1 นาที



- 6) เติมนิโตรเลียมอีเทอร์ 25 มิลลิลิตร ปิดจุกแล้วเขย่าแรงๆ 30 วินาที
- 7) เปิดจุกตั้งทิ้งไว้ให้แยกชั้น ชั้นบนเป็นชั้นที่ไขมันละลายอยู่ในตัวทำละลายผสมส่วน ชั้นล่างเป็นชั้นน้ำที่ส่วนประกอบอื่นๆ ที่ไม่ใช่ไขมันละลายอยู่
- 8) แยกของเหลวใส่ฟลาสก์ที่แห้ง ซึ่งผ่านการอบที่อุณหภูมิ 100 องศาเซลเซียส และชั่งน้ำหนักมาก่อนแล้ว
- 9) สกัดไขมันซ้ำอีกสองครั้งด้วยไดคลิอีเทอร์(peroxide free) 15 มิลลิลิตร และเติมนิโตรเลียมอีเทอร์ 15 มิลลิลิตร
- 10) นำชั้นของเหลวที่มีไขมันมารวมกัน
- 11) ถลันเอาตัวทำละลายที่มากเกินไปออก อบให้แห้งที่อุณหภูมิ 100 องศาเซลเซียส นาน 1 ชั่วโมง ปล่อยให้เย็น แล้วชั่งน้ำหนักของไขมันที่ได้

#### (ข) วิธี Blight and dyer

ได้ส่งตัวอย่างน้ำมันมะพร้าวที่ผ่านการกรองและไม่ผ่านการกรองด้วยเครื่องกรอง MF ไปวิเคราะห์หาปริมาณไขมันไปยังศูนย์พัฒนาเกษตรเพื่อการส่งออก ที่คณะอุตสาหกรรมเกษตร มหาวิทยาลัยสงขลานครินทร์ มีรายละเอียดการดำเนินการ ดังนี้

- 1) ชั่งตัวอย่างน้ำมันมะพร้าว 50 กรัม
- 2) เติม Chloroform ปริมาตร 50 มิลลิลิตร และ Methanol ปริมาตร 50 มิลลิลิตร
- 3) ปั่นผสมด้วยเครื่อง Homogenizer เป็นเวลา 2 นาที
- 4) เติม Chloroform ปริมาตร 50 มิลลิลิตร
- 5) ปั่นผสมด้วยเครื่อง Homogenizer เป็นเวลา 1 นาที
- 6) เติมน้ำกลั่น ปริมาตร 20 มิลลิลิตร
- 7) ปั่นผสมด้วยเครื่อง Homogenizer เป็นเวลา 30 วินาที
- 8) เทสารผสมใส่กรวยแยก แล้วตั้งทิ้งไว้ข้ามคืน
- 9) โขสารละลายชั้นล่าง (ชั้น Chloroform) ใส่ในขวดก้นกลมที่อบเพื่อกำจัด ไขมันและทราบน้ำหนักที่แน่นอน
- 10) ระเหย Chloroform ออกด้วยเครื่อง Rotary vacuum evaporator ที่อุณหภูมิ 45 องศาเซลเซียส
- 11) นำไปอบใน Hot air oven ที่อุณหภูมิ 100 องศาเซลเซียส เป็นเวลา 3 ชั่วโมง
- 12) ทำซ้ำข้อ 11. จนกระทั่งได้น้ำหนักที่แน่นอน
- 13) คำนวณหาปริมาณไขมัน

#### 2.10 การย้อมแกรมแบคทีเรีย

ในการศึกษาลักษณะทางสัณฐานวิทยา (morphology) ของราและแบคทีเรียนั้นหากศึกษาโดยผ่าน slide จะทำให้สามารถเห็นลักษณะรูปร่างและขนาดได้ชัดเจนและละเอียดยิ่งขึ้นยิ่งไปกว่านั้นถ้าต้องการเห็น

แบคทีเรียได้สะดวกขึ้น และในบางครั้งต้องการเห็นโครงสร้างบางอย่างในเซลล์ จึงจำเป็นต้องย้อมสีแบคทีเรีย ซึ่งการย้อมสีนั้นยังทำให้สามารถจำแนกชนิดของแบคทีเรียได้จากการติดสีที่แตกต่างกัน (tp://cyberlab.lh1.ku.ac.th/elearn/faculty/forest/fo27/web/lab4.htm) มีขั้นตอนดังนี้

1) slide ที่ใช้ในการเตรียมย้อมสีแบคทีเรียจะต้องอาศัยความสะดวกมากๆ ให้ทำความสะอาด slide แก้วดังนี้ ใช้น้ำและน้ำให้เปียกแล้วแตะสบู่ ถูสบู่ที่บนผิว slide เพื่อขจัดให้สะอาด ทิ้งให้สบู่แห้งบนแผ่น slide แล้วใช้ผ้าหรือกระดาษสะอาดเช็ดออกให้หมด slide สะอาดหรือไม่ทดสอบได้ง่ายๆ โดยหยคน้ำบนแผ่น slide ถ้าสะอาดดีน้ำจะเปียกแก้วและแผ่กระจายไป ถ้าผิวมีน้ำมันติดอยู่ น้ำจะไม่เปียกแก้วและปรากฏเป็นเม็ดน้ำบนผิวแก้ว ถ้าย้อมสีแบคทีเรียโดยใช้ slide สกปรกหรือมีน้ำมันติดจะไม่ได้ผลดี

2) ใช้ steriled loop ( ชนิดเป็นห่วง ) เชี่ยวให้ติดเชื้อเพียงชนิดเดียว นำเชื้อที่ติดมากับปลายหลอดลงผสมกับหยดน้ำกลั่นบนแผ่น slide ใช้ปลายหลอดคนไปมา ปริมาณเชื้อควรพอทำให้น้ำขุ่นประมาณน้ำข้าวคนหยดน้ำให้ตัวกว้างออกไปจนมีเส้นผ่าศูนย์กลางประมาณเท่ากับ 1 ซม วิธีการนี้เรียกว่า smear วางทิ้งไว้ให้รอย smear แห้ง แล้วจึงนำไปลงไฟเบาๆ ( ลนด้านที่ไม่ได้ป้ายเชื้อ ) เพื่อเป็นการ fix ให้เชื้อติดกับแผ่นแก้ว เตรียม slide แบบนี้เชื้อละแผ่น

- 3) หยดสี crystal violet สารละลายแบบของแกรมลบบนรอย smear ทิ้งไว้นาน 1-2 นาที ระวังอย่าให้สีแห้ง
- 4) จับสไลด์เฉียง เทสีทิ้ง ล้างเบาๆ ด้วยน้ำ
- 5) หยดสารละลายไอโอดีนแบบของแกรม ให้ท่วมรอย smear ทิ้งไว้นาน 1 นาทีแล้วเททิ้ง แล้วหยดสารละลายไอโอดีนลงไปอีก คราวนี้ทิ้งไว้นาน 2 นาที
- 6) เทไอโอดีนทิ้ง ล้างด้วยน้ำ ใช้กระดาษหรือผ้าซับให้แห้ง
- 7) ล้างสีออกด้วยส่วนผสมแอลกอฮอล์กับอะเซโตน พอให้น้ำยาที่ล้างไม่มีสีติดออกมา (ใช้เวลาประมาณ 15-20 วินาที) แล้วล้างด้วยน้ำทันที จากนั้นซับด้วยผ้าหรือกระดาษซับ
- 8) ย้อมทับหรือซ้ำ (counter stain) ด้วยสี safranin อีกครั้งหนึ่ง นาน 1 นาที
- 9) ล้างด้วยน้ำเบาๆ ( น้ำไหล ) วางทิ้งไว้ให้แห้งในอากาศ
- 10) ส่องด้วยกล้องจุลทรรศน์ใช้ oil immersion objective ให้ดูการติดสี ลักษณะรูปร่างและวัดขนาดของแบคทีเรีย

**หมายเหตุ** การติดสีแตกต่างกันมีประโยชน์ในการแยกชนิดของแบคทีเรีย เพราะว่าการที่มีปฏิกิริยาต่อสีไม่เหมือนกัน ย้อมแสดงว่าส่วนประกอบทางเคมีของแบคทีเรียชนิดนั้นแตกต่างกันด้วยแกรมบวก (gram-positive) คือแบคทีเรียที่ติดสีม่วงของ crystal violet แบคทีเรียแกรมลบ (gram-negative) คือแบคทีเรียที่ติดสีแดงของ safranin มีแบคทีเรียบางจำพวกที่ย้อมสีออกมาแล้วติดสีไม่แน่นอน ทั้งนี้ขึ้นอยู่กับอายุของเชื้อด้วย เชื้อแบคทีเรียที่จะนำมาย้อมตามวิธีของ Gram ควรมียู่น้อยกว่า 36 ชั่วโมง

## 2.11 การวัดขนาดของจุลินทรีย์ที่พบในน้ำมะพร้าวที่ผ่านการกรองแล้ว

เซลล์จุลินทรีย์มีขนาดเล็ก ดังนั้นการวัดขนาดจึงจำเป็นต้องใช้กล้องจุลทรรศน์และเครื่องมือที่เรียกว่า Micrometer ซึ่งประกอบด้วย

- 1) Ocular micrometer เป็นเครื่องมือที่ใช้วัดขนาดจุลินทรีย์โดยตรง เป็นแผ่นแก้วกลมมีขนาดพอดีที่จะบรรจุลงใน Ocular ของกล้องจุลทรรศน์ ตรงกลางแผ่นจะมีขีดเล็กๆ แบ่งเป็นช่องๆ ปกติจะมีอยู่ 50 ช่อง หรือ 100 ช่อง (ดังรูปที่ 2.13) แต่ละช่องมีระยะห่างเท่าๆกัน ซึ่งจะมีระยะห่างเท่าไรในการวัดนั้นขึ้นอยู่กับกำลังขยายของกล้องจุลทรรศน์ที่ใช้ โดยทราบได้จากการเทียบค่ากับ Stage micrometer ก่อนที่จะนำไปใช้กับการวัดขนาดต่อไป (ดวงพร, 2548)
- 2) Stage micrometer เป็นแผ่นแก้ว แต่ตรงกลางมีเส้นขีดเป็นช่องๆ แต่ละช่องมีระยะห่างเท่าๆกัน คือ 0.01 มิลลิเมตร (10 $\mu$ m) จะมีขีดอยู่ทั้งหมด 100 หรือ 200 ช่อง (ดังรูปที่ 2.14) Stage micrometer ไม่ได้ใช้วัดขนาดของจุลินทรีย์ แต่เป็นเครื่องมือสำหรับเทียบหาระยะห่างแต่ละช่องของ Ocular micrometer (ดวงพร, 2548)

**วิธีการเทียบค่า (calibration) เพื่อหาระยะห่างของช่องบน Ocular micrometer**

- 1) วาง stage micrometer ลงบน stage บิดสไลด์ให้แน่นด้วย mechanical stage clip
- 2) ปรับโฟกัสจนเห็นสเกลชัดโดยใช้ low power objective (objective 10 X)
- 3) ถอด Ocular micrometer ออกจากกล้อง หมุนเกลียวด้านบนของ ocular ออกใส่ ocular micrometer ลงไปใน ocular tube แล้วสวม ocular กลับเข้าที่
- 4) เมื่อมองเข้าไปในกล้องจะเห็นสเกล 2 แถว โดยสเกลของ stage micrometer มีสีเข้มกว่าสเกลของ ocular micrometer หรือเมื่อหมุน ocular สเกลของ ocular จะหมุนตามไปด้วย ให้หมุน ocular จนสเกลทั้งสองซ้อนกันในแนวขนาน เลื่อนให้ขีดใดขีดหนึ่งของ ocular micrometer ทับกับพอดีบนขีดหนึ่งของ stage micrometer มองขีดต่อไปว่าขีดใดของทั้งสองแถวซ้อนทับกันพอดี นับจำนวนช่องของ ocular และ stage micrometer จากขีดแรกจนถึงขีดหลังที่ทั้งสองเส้นทับกัน ทำซ้ำหลายๆครั้งแล้วจึงคำนวณหาค่าเฉลี่ย ว่า 1 ช่องของ ocular micrometer เท่ากับกี่ช่องของ stage micrometer หรือเท่ากับกี่ไมครอน ( $\mu$ m) บันทึกผล
- 5) ปฏิบัติเช่นเดียวกับข้อ 3. แต่ใช้กำลังขยายของ objective 40x และ 100x (กำลังขยาย 100x ใช้ oil immersion) คำนวณแล้วบันทึกผลเช่นเดียวกัน

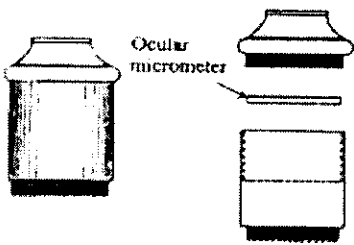
### ตัวอย่างการคำนวณ

สมมติว่า 7 ช่องของ ocular micrometer = 10 ช่องของ stage micrometer

1 ช่องของ stage micrometer = 0.01 mm. (กำหนดให้)

ฉะนั้น 1 ช่องของ ocular micrometer = (10/7)X 0.01 mm. = 0.014 mm.

**หมายเหตุ** การวัดขนาดจุลินทรีย์จะบอกขนาดเป็นไมครอน เช่น ถ้าดูในกล้องจุลทรรศน์จุลินทรีย์มีขนาดเท่ากับสเกลบน ocular micrometer 3 ช่อง ดังนั้นจุลินทรีย์มีขนาด  $3 \times 0.014 = 0.042$  mm. หรือ 42 ไมครอน เมื่อใช้ objective ที่มีกำลังขยายสูงขึ้น สเกลบน stage micrometer จะถูกขยายมากขึ้น ทำให้จำนวนช่องของ ocular micrometer ต่อจำนวนช่องของ stage micrometer เปลี่ยนไป จึงต้องเทียบค่าขนาด 1 ช่องของ ocular มีขนาดเท่ากับกี่ไมครอนไว้



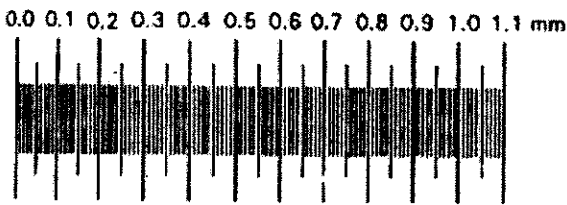
รูปที่ 2.13 แสดงการใส่ ocular micrometer เข้าไปที่ ocular (ที่มา <http://science.kmutt.ac.th/class/mic291/mic291lab4.doc>)



รูปที่ 2.14 แสดงสเกลของ micrometer แบบต่างๆ

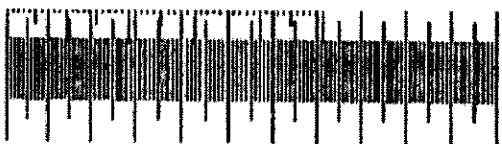
(a) Ocular micrometer

(<http://science.kmutt.ac.th/class/mic291/mic291lab4.doc>)



(b) Stage micrometer

(<http://science.kmutt.ac.th/class/mic291/mic291lab4.doc>)



(c) การซ้อนสเกลของ ocular micrometer และ stage micrometer

(<http://science.kmutt.ac.th/class/mic291/mic291lab4.doc>)

## 2.12 การผลิตเยื่อกรองเซลลูโลสแบบกึ่งอัตโนมัติ

### 2.12.1 การเตรียมตู้เพาะเลี้ยง

- 1) เช็ดตู้เพาะเลี้ยงด้วยผ้าสะอาดชุบน้ำบิดพอหมาดๆ เช็ดซ้ำด้วยผ้าสะอาดชุบ 70 % แอลกอฮอล์ สเปรย์ 70 % แอลกอฮอล์ ซ้ำอีกรอบ ทิ้งไว้ 30 นาที จากนั้นเปิด UV ทิ้งไว้หนึ่งคืน
- 2) วางถาดและต่อท่อซิลิโคน(ที่นำมาเช็ดแล้ว) ในตู้เพาะเลี้ยงเซลล์ ที่ทำการเช็ดด้วย 70% Ethanol และเปิด UV ทิ้งไว้เป็นเวลา 1 ชั่วโมง) ฉีด 70% Ethanol และเปิด UV ทิ้งไว้อีกครั้งเป็นเวลา 1 ชั่วโมง

### 2.12.2 การเตรียมอาหารเพาะเลี้ยง

เพื่อศึกษาเปรียบเทียบระหว่างเยื่อกรองเซลลูโลสที่ผลิตได้จาก *Acetobacter xylinum* TISTR No.975 โดยใช้และไม่ใช้น้ำมะพร้าวเป็นส่วนผสมในอาหารเลี้ยงเชื้อสูตรมาตรฐานซึ่งมีน้ำตาล Sucrose เป็นแหล่งคาร์บอน และเรียกว่า สูตร CCB และ สูตร SHB ตามลำดับ ดังรายละเอียดในตารางที่ 2.1 ปรับระดับ pH ของอาหารให้มีค่า 4 (ปริศนา, 2550) แล้วนำไปนึ่งฆ่าเชื้อที่อุณหภูมิ 121°C ภายใต้อัตราความดัน 15 ปอนด์ต่อตารางนิ้ว เป็นเวลา 15 นาที

ตารางที่ 2.1 องค์ประกอบของสูตรอาหารสำหรับการผลิตเยื่อกรองเซลลูโลส

องค์ประกอบในสูตรอาหาร	ปริมาณสารเคมี	
	สูตร SHB	สูตร CCB
Sucrose	4% (w/v)	4% (w/v)
Peptone	0.5% (w/v)	0.5% (w/v)
Yeast extract	0.5% (w/v)	0.5% (w/v)
Citric acid	0.0115%(w/v)	0.0115%(w/v)
Na <sub>2</sub> HPO <sub>4</sub>	0.033% (w/v)	0.033% (w/v)
Distilled water	100 ml	-
Coconut juice	-	100 ml

### 2.12.3 การถ่ายเชื้อ *Acetobacter xylinum* TISTR No. 975

การถ่ายเชื้อ ได้มีขั้นตอนการทำงานดังนี้

- 1) นำถังกวนที่ลวกน้ำร้อนเพื่อฆ่าเชื้อแล้ววางลงบน Magnetic stirrer
- 2) ต่อดังกวนเข้ากับท่อซิลิโคนที่ฆ่าเชื้อแล้วซึ่งต่อออกมาจากตู้เพาะเลี้ยงโดยปิดวาวไว้ก่อน (แช่ปลายท่อซิลิโคนอีกครั้งประมาณ 10-15 นาที และลนปลายท่อของถังกวนก่อนที่จะต่อท่อซิลิโคนเข้ากับปลายท่อของถังกวน)

- 3) เทอาหารเพาะเลี้ยงที่ฆ่าเชื้อแล้วลงในถังกวนทางช่องเสียบกรวยที่ฝาถัง (กรวยที่ใช้ผ่านการฆ่าเชื้อแล้วด้วยการลวกในน้ำเดือด 10-15 นาที และนำมาใช้ทันทีที่ลวกเสร็จ)
- 4) เติมเชื้อ *Acetobacter xylinum* TISTR No. 975 ที่เพาะเลี้ยงไว้ในอาหารสูตรเดียวกันเป็นเวลา 3 วันและได้นับจำนวนเซลล์เริ่มต้นแล้ว โดยเติมลงไปในอัตราส่วน  $1 \times 10^6$  เซลล์ต่อหนึ่งมิลลิลิตร ของอาหาร
- 5) หมุน Speed Control ไปที่ระดับ 4 กวนเป็นเวลา 5 นาที
- 6) เปิดก๊อกให้อาหารเพาะเลี้ยงไหลลงสู่ถาดเพาะเลี้ยงจนหมด ซึ่งเทียบปริมาตรต่อถาดเท่ากับ 750 มิลลิลิตร
- 7) หุ้มถาดเพาะเลี้ยงด้วยกระดาษลาเปาที่ผ่านการนึ่งฆ่าเชื้อแล้วจำนวน 2 ชั้น ผูกด้วยเชือกฟางที่ผ่านการนึ่งฆ่าเชื้อแล้ว (เพื่อป้องกันการปนเปื้อนจากเชื้อในอากาศ)
- 8) สเปรย์ 70% แอลกอฮอล์ ให้ทั่วทั้งตู้ ปิดประตูตู้ให้สนิท
- 9) ถอดท่อซิลิโคนออก เช็ดปลายท่อด้วยผ้าสะอาดชุบ 70 % แอลกอฮอล์ จากนั้นหุ้มปลายท่อด้วยกระดาษฟอยล์ที่ฆ่าเชื้อแล้วให้สนิท แขนงไว้ภายนอกตู้เพาะเลี้ยง ส่วน Magnetic stirrer และถังกวนเก็บไปทำความสะอาด
- 10) ทำการเพาะเลี้ยงเป็นเวลา 72 ชั่วโมง ที่อุณหภูมิ  $27 \pm 2$  องศาเซลเซียส
- 11) เก็บเกี่ยวผลผลิตเมื่อเพาะเลี้ยงครบเวลา 72 ชั่วโมง (3 วัน)

#### 2.12.4 การผลิตเยื่อกรองด้วยอาหารสูตรน้ำมะพร้าว

ใช้วิธีการเดียวกันกับการเตรียมตู้เพาะเลี้ยงในการผลิตเยื่อกรองด้วยอาหารสูตร SHB

##### การเตรียมอาหารเพาะเลี้ยง

- 1) กรองน้ำมะพร้าวด้วยผ้าขาวบาง 3 ชั้น
- 2) กรองผ่านเครื่องกรองน้ำเพื่อกำจัดไขมันและเชื้อที่อาจปนเปื้อนมากับน้ำมะพร้าว
- 3) ควบคุมอัตราการไหลของน้ำมะพร้าวที่ผ่านเครื่องกรองลงสู่ถังกวนที่ฆ่าเชื้อแล้ว ให้อยู่ที่ 100 มิลลิลิตรต่อนาที จนได้ปริมาตร 4000 มิลลิลิตร
- 4) เติมสารอาหารสูตร CCB (ตารางที่ 2.1) ที่ผ่านการฆ่าเชื้อแล้ว ลงในน้ำมะพร้าวที่เตรียมไว้ตามที่บรรยายในข้อ 3 ปรับค่า pH ของอาหารให้มีค่า 4

#### 2.12.5 การล้างและการทำให้แห้ง

นำแผ่นเซลล์ูโลสที่เซลล์ผลิตได้เป็นเวลา 3 วันมาต้มในน้ำที่มีอุณหภูมิ 90 องศาเซลเซียส เป็นเวลา 20 นาที เพื่อให้แบคทีเรียตาย แล้วแช่ในสารละลาย 1.5 N NaOH เป็นเวลา 48 ชั่วโมง ที่อุณหภูมิห้อง เพื่อขจัดเซลล์ในแผ่นเซลล์ูโลส (ปริศนา, 2550) ล้างแผ่นเซลล์ูโลสจนกระทั่งน้ำล้างมีค่า pH เป็นกลาง

ต่อจากนั้นปรับสภาพแผ่นเซลลูโลส โดยการแช่ในสารละลาย 1.94 N HCl นาน 1 ชั่วโมง แล้วนำไปล้างด้วยน้ำสะอาด จนกระทั่งน้ำล้างมีค่า pH เป็นกลางอีกครั้ง แล้วนำมาชั่งน้ำหนัก (โดยการชั่งน้ำที่ผิวออกด้วยกระดาษกรองที่สะอาด) และวัดความหนาขณะเปียก ทำให้แห้งโดยการผึ่งไว้ในตู้เพาะเลี้ยงโดยวางบนกระดาษเตนเลสขนาด 60 x 120 cm<sup>2</sup> ที่ปูทับด้วยพลาสติก แล้วฉีดด้วย 70% แอลกอฮอล์ ทิ้งไว้ 15 นาทีก่อนการใช้งาน ให้ความร้อนจากหลอดไฟทั้งสแตนขนาดกำลัง 100 W จำนวน 4 หลอด โดยภายในตู้มีอุณหภูมิ 32 ± 3°C ตลอด 24 ชั่วโมง นาน 4 วัน

ในลำดับต่อไปจะเรียกเยื่อกรองที่ผลิตได้เป็น ชนิด CE(CCB) และ CE(SHB) เมื่อใช้สารอาหารเพาะเลี้ยงเซลล์ที่มีและไม่มีน้ำมะพร้าวเป็นส่วนประกอบ ตามลำดับ

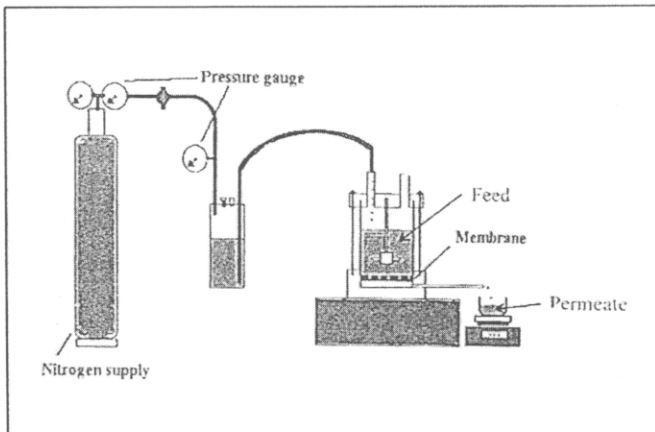
### 2.13 การศึกษาฟลักซ์น้ำ

ใช้วิธีเดียวกับ Wanichapichart, *et al.* (2003) กล่าวคือ ตัดเยื่อกรองเซลลูโลสเป็นวงกลมขนาดเส้นผ่านศูนย์กลาง 4.7 เซนติเมตร โดยก่อนการทดลองทำการแช่เยื่อกรองในน้ำกลั่นจนกระทั่งเชื่อบวมน้ำสูงสุดแล้วจึงจัดลงในชุดการกรองแบบปิดตาย (Micro Filtration) ดังรูปที่ 2.15 โดยค่อยๆเพิ่มความดันจาก 50, 100, 150, 200 และ 250 kPa ที่แต่ละความดันบันทึกมวลน้ำ แล้วคำนวณหาค่าฟลักซ์ของเพอมีเททในหน่วย Lm<sup>-2</sup>h<sup>-1</sup> พื้นที่เยื่อแผ่นในระบบคือ 1.2 x 10<sup>-3</sup> m<sup>2</sup> เขียนกราฟความสัมพันธ์ระหว่างเพอมีเททฟลักซ์ (J) กับความดันที่ป้อนให้แก่ระบบทดสอบ ( $\Delta P$ ) ความชันกราฟที่ได้คือ ค่าสัมประสิทธิ์การนำน้ำ ( $L_p$ ) ตามสมการ Hagen Poiseuille [5] ดังนี้

$$J = L_p \Delta P \quad (1)$$

โดยค่า  $L_p$  สัมพันธ์กับขนาดรู ( $r_p$ ) ความพรุน ( $\epsilon$ ) ความหนืด ( $\eta$ ) ของสารป้อน และความหนา ( $\Delta X$ ) ของเยื่อกรอง ดังนี้

$$L_p = \frac{\epsilon}{\tau} \frac{r_p^2}{8\eta\Delta X} \quad (2)$$



รูปที่ 2.15  
อุปกรณ์ชุดทดสอบการกรองแบบปิดตาย

## 2.14 การเหนี่ยวนำเซลล์โดยใช้ไฟฟ้ากระแสสลับ

วิธีการเหนี่ยวนำ บรรยายโดยซาฟิตรี [9] ภายหลังจากเก็บเกี่ยวและได้เยื่อกรองแล้ว ศึกษาเปรียบเทียบเงื่อนไขต่างๆ ที่ใช้ โดยอาศัยการทดสอบฟลักซ์น้ำ ตามวิธีการในข้อ 2.13

## 2.15 การประยุกต์ใช้ในงานด้านอื่นๆ

### 2.15.1 ทดสอบการกรองน้ำจากชุมชน

ได้เก็บตัวอย่างน้ำทิ้งจากโรงพยาบาลสงขลานครินทร์ โรงงานยางพารา และน้ำบาดาลจากชุมชน เพื่อศึกษาความเป็นไปได้ที่จะใช้เยื่อกรองเซลล์โลสในการบำบัดน้ำเบื้องต้น ได้ทดสอบสมบัติเชิงกายภาพของน้ำทั้งก่อนและหลังการกรอง แล้ววิเคราะห์ผลโดยใช้บริการจากศูนย์เครื่องมือ คณะวิทยาศาสตร์ มหาวิทยาลัยสงขลานครินทร์ ยกเว้นน้ำบาดาลที่มีสนิมเหล็ก ได้ทดสอบโดยใช้อุปกรณ์แบบพกพา

### 2.15.2 การปรับปรุงผิวเซลล์โลส

ปัจจุบันนอกจากจะนิยมใช้เยื่อเซลล์โลสในด้านการแพทย์และเภสัชกรรมแล้ว ในอุตสาหกรรมอาหารหรือสิ่งทอ มีการทดลองปรับปรุงผิววัสดุเพื่อปรับปรุงคุณสมบัติด้าน โครงสร้างเชิงโมเลกุลและความเข้ากันได้ทางชีวภาพ โดยอาศัยเทคนิคฟิสิกส์ เช่นการระดมยิงด้วยลำอนุภาคหรือพลาสมา งานวิจัยนี้จึงได้ศึกษาความเป็นไปได้ที่จะปรับปรุงโครงสร้างของผิวเซลล์โลส ด้วยพลาสมาของก๊าซออกซิเจนโดยร่วมมือกับห้องวิจัยที่จุฬาลงกรณ์มหาวิทยาลัย และได้ทดสอบคุณลักษณะของเยื่อกรองโดยเปรียบเทียบค่าฟลักซ์น้ำ และศึกษาโครงสร้างของผิวโดยวิเคราะห์หมู่ฟังก์ชันด้วยเทคนิค ATR-FTIR ที่ศูนย์เครื่องมือวิทยาศาสตร์ มหาวิทยาลัยสงขลานครินทร์



### บทที่ 3 ผลการศึกษาวิจัย

#### 3.1 ระดับ pH ความหวานและไขมันในน้ำมะพร้าวที่ใช้ผสมในสารอาหาร

จากการตรวจวัด pH ในตัวอย่างน้ำมะพร้าวพบว่าน้ำมะพร้าวมีค่า pH โดยเฉลี่ยเท่ากับ 4.27 แต่เมื่อนำน้ำมะพร้าวไปกรองผ่านเครื่องกรองน้ำพบว่าค่า pH โดยเฉลี่ยเพิ่มขึ้นเป็น 5.41 (ดังตารางที่ 3.1) แสดงว่าการกรองมีผลต่อสารที่เป็นกรดบางส่วน และจากการตรวจวัดความหวานในตัวอย่างน้ำมะพร้าว พบว่าน้ำมะพร้าวที่ไม่ผ่านการกรองมีค่าความหวานเท่ากับ 4 % Brix ส่วนน้ำมะพร้าวที่กรองผ่านเครื่องกรองน้ำมีค่าความหวานลดลงเป็น 0.5% Brix (ดังตารางที่ 3.2) แสดงว่าการกรองดังกล่าวยังมีผลต่อสารที่ให้ความหวานบางส่วนด้วย

ตารางที่ 3.1 แสดง pH ในตัวอย่างน้ำมะพร้าว

ชนิดของตัวอย่างน้ำมะพร้าว	ตัวอย่างที่	pH	ค่าเฉลี่ยของ pH ในน้ำมะพร้าว
1. น้ำมะพร้าวที่ไม่ผ่านการกรอง (CW)	1	4.48	4.27
	2	4.17	
	3	4.17	
2. น้ำมะพร้าวที่ผ่านการกรอง (FCW)	1	5.39	5.41
	2	5.44	
	3	5.40	

ตารางที่ 3.2 แสดงค่าความหวานในตัวอย่างน้ำมะพร้าว

ชนิดของตัวอย่างน้ำมะพร้าว	ตัวอย่างที่	ความหวาน (% Brix)	ค่าเฉลี่ยความหวานในน้ำมะพร้าว (% Brix)
1. น้ำมะพร้าวที่ไม่ผ่านการกรอง (CW)	1	4.00	4.00
	2	4.00	
	3	4.00	
2. น้ำมะพร้าวที่ผ่านการกรอง (FCW)	1	0.50	0.50
	2	0.50	
	3	0.50	

จากการวิเคราะห์หาปริมาณไขมันด้วยวิธี Rose-Gottlieb process ร่วมกับ Werner-Schmid process พบว่าในตัวอย่างน้ำมะพร้าวที่ไม่ผ่านการกรอง (CW) มีปริมาณไขมัน 0.093% ของตัวอย่าง และพบว่าเมื่อนำ

น้ำมะพร้าวไปกรองผ่านเครื่องกรอง (FCW) ปริมาณไขมันลดลงประมาณ 50% ของน้ำมะพร้าวที่ไม่ได้ผ่านการกรอง คือมีปริมาณไขมันเพียง 0.039% ของตัวอย่าง (ดังตารางที่ 3.3)

ตารางที่ 3.3 ปริมาณไขมันในตัวอย่างน้ำมะพร้าวที่วิเคราะห์ด้วย Rose-Gottlieb process ร่วมกับ Werner-Schmid process

ตัวอย่างน้ำมะพร้าว	น้ำหนักพลาสติก หลังอบ (กรัม)	น้ำหนักตัวอย่างน้ำ มะพร้าว (กรัม)	น้ำหนักพลาสติก + ไขมัน(กรัม)	น้ำหนักไขมัน (กรัม)	ไขมัน(%)
1. น้ำมะพร้าวที่ไม่ผ่านการกรอง (CW)	105.96	10.05	105.97	0.009	0.093
2. น้ำมะพร้าวที่ผ่านการกรอง (FCW)	108.50	10.00	108.50	0.004	0.039

การวิเคราะห์หาปริมาณไขมันโดยวิธี Rose-Gottlieb process ร่วมกับ Werner-Schmid process ทำได้เพียงครั้งเดียว และเนื่องจากภาควิชาฟิสิกส์ไม่มีเครื่อง Rotary Vacuum Evaporator จึงมีความจำเป็นต้องส่งตัวอย่างไปวิเคราะห์ด้วยเทคนิค Bligh and Dry ที่ศูนย์พัฒนาเกษตรเพื่อการส่งออก (ADCET) ที่คณะอุตสาหกรรมเกษตร มหาวิทยาลัยสงขลานครินทร์ ผลการวิเคราะห์ได้แสดงในตารางที่ 3.4 จากผลการศึกษาทั้ง 2 วิธี จะเห็นว่า วิธีแรกคือวิธี Rose-Gottlieb process ร่วมกับ Werner-Schmid process ให้ผลที่ละเอียดกว่า

ตารางที่ 3.4 ปริมาณไขมันในน้ำมะพร้าวที่วิเคราะห์โดยเทคนิค Bligh and dyer

ตัวอย่างน้ำมะพร้าว	ปริมาณไขมัน(%)
1. น้ำมะพร้าวที่ไม่ผ่านการกรอง	0.00
2. น้ำมะพร้าวที่ไม่ผ่านการกรอง	0.00
3. น้ำมะพร้าวที่ผ่านการกรอง	0.01
4. น้ำมะพร้าวที่ผ่านการกรอง	0.00

จากการศึกษาปริมาณไขมันในน้ำมะพร้าวสดและในน้ำมะพร้าวที่ผ่านการกรองด้วยระบบกรองแบบ MF พบว่าการกรองช่วยให้ไขมันในน้ำมะพร้าวลดลง แต่ยังมีเชื้อปะปนออกมาดังรายละเอียดในตารางที่ 3.5 ในระยะต่อมาจึงได้แก้ไขการคิดเชื้อในน้ำมะพร้าวโดยการต้มน้ำมะพร้าวให้เดือดก่อนนำไปใช้เป็นน้ำเลี้ยงเชื้อ ในการนี้คาดว่าจุลินทรีย์จะตายหมด จึงไม่ได้ใช้ระบบกรอง MF อีกต่อไป

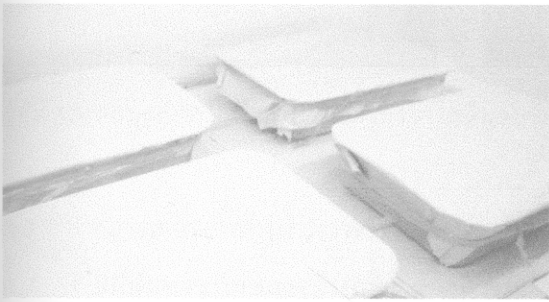
ตารางที่ 3.5 ขนาดแบคทีเรียที่พบในน้ำมะพร้าวที่ผ่านการกรอง โดยเทียบขนาดกับ Ocular micrometer จากกล้องจุลทรรศน์ชนิด Compound microscope (Olympus รุ่น CH-2) ที่กำลังขยาย 100X

เซลล์แบคทีเรีย	ความกว้าง (mm)	ความยาว (mm)
1	1	1.5
2	1	2.0
3	0.5	2.0
4	0.5	2.0
5	0.8	1.5
6	0.5	1.0
7	0.5	2.0
8	0.5	1.5
9	1	1.5
10	0.8	1.0
11	0.5	1.0
12	0.1	2.0
13	1	2.0
14	0.5	1.5
15	0.5	1.0
16	0.5	2.0
17	0.8	1.5
18	0.5	1.0
19	1	2.0
20	0.5	1.5
เฉลี่ย	0.65±0.25	1.57±0.40

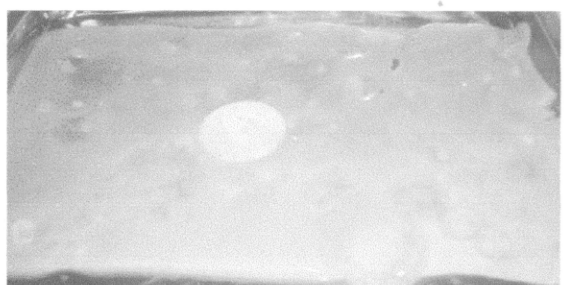
ข้อมูลในตารางที่ 3.5 แสดงให้เห็นว่า หากเชื้อกรองเซลล์โลสที่ผลิตได้มีขนาดรูที่เล็กกว่า 0.5 ไมครอน น่าจะใช้เป็นเชื้อกรองจุลินทรีย์ได้ ส่วนการใช้ระบบ MF กรองสารอาหารแล้วยังพบการปนเปื้อนของแบคทีเรียมนี้ คาดว่าน่าจะเกิดจากเชื้อที่ตกค้างอยู่ในระบบ อย่างไรก็ตาม การที่สัมผัสกับอากาศเพียงอีกครั้ง หลังจากปล่อยสารอาหารลงในถาดแล้ว การปิดปากภาชนะด้วยกระดาษขาลาเปา เพื่อป้องกันไม่ให้เกิดการปนเปื้อนข้ามถาดได้ ดังรูปที่ 3.1 นั้น จึงยังคงเปิดโอกาสให้มีการปนเปื้อนจุลินทรีย์ได้ การศึกษาในลำดับต่อจากนี้ไป จึงใช้วิธีการนั่งฆ่าเชื้อในสารอาหาร แทนการกรองด้วยระบบ MF

### 3.2 ทดสอบระบบที่ใช้เพาะเลี้ยงจุลินทรีย์

เนื่องจากต้องการให้ชุมชนสามารถผลิตเชื้อกรองขึ้นใช้เองโดยวิธีง่ายๆ จึงอาศัยวิธีการแบบเดียวกับเอกชนที่ผลิตวุ้นน้ำมะพร้าว ในขั้นตอนนี้จึงทดสอบการผลิตจากตู้ที่ออกแบบครั้งแรกตามรูปที่ 2.3 ว่าสามารถปลอดจากการปนเปื้อนจุลินทรีย์อื่นๆในระหว่างการผลิตหรือไม่ และได้ศึกษาความสม่ำเสมอของการผลิต หลังจากนั้นจึงจะแก้ไขระบบให้ซับซ้อนขึ้นหากจำเป็น ซึ่งระหว่างการเพาะเลี้ยงได้พยายามลดโอกาสการปนเปื้อนของเชื้อ กล่าวคือหลังจากกรองสารอาหารด้วยระบบ MF แล้ว หลังจากปล่อยสารอาหารลงสู่ถาดในตู้ที่ฆ่าเชื้อโรคด้วยแสง UV และแอลกอฮอล์แล้ว ได้ปิดทุกถาดด้วยกระดาษชาลาเปาที่อบฆ่าเชื้อแล้ว ดังรูปที่ 3.1 อย่างไรก็ตาม หลังจากได้เก็บเกี่ยวผลผลิต พบว่ายังมีการปนเปื้อนของจุลินทรีย์ ดังรูปที่ 3.2



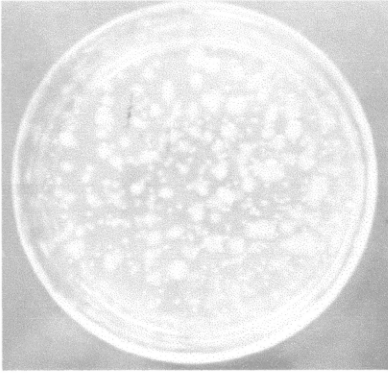
รูปที่ 3.1 การจัดวางถาดในการผลิตแผ่นเชื้อกรองขนาด 21 X 35 เซนติเมตร และการปิดถาดด้วย กระดาษชาลาเปาที่ผ่านการนึ่งฆ่าเชื้อแล้ว



รูปที่ 3.2 การปนเปื้อนของเชื้ออื่น ในการผลิตแผ่นเชื้อกรองจากน้ำมะพร้าวที่ผ่านการกรองด้วยเครื่องกรอง MF

ในขั้นต้น จึงได้ทำการแยกเชื้อที่พบในน้ำมะพร้าวที่ผ่านการกรองด้วยระบบ MF พบว่าที่ความเข้มข้นเซลล์ระดับต่ำๆ (เช่น  $1 \times 10^5$  และ  $1 \times 10^6$  เซลล์ต่อลูกบาศก์เซนติเมตร) เชื้อมีโคโลนีใหญ่ขึ้น และพบว่าโคโลนีที่อยู่บนผิวหน้าของอาหารจะมีขนาดใหญ่ (ระหว่าง 0.5-1.2 เซนติเมตร) และมีลักษณะเป็นโคโลนีแบบเยิ้ม ดังรูปที่ 3.3 แสดงว่าการกรองสารอาหารด้วยระบบ MF ก่อนนำไปเพาะเลี้ยงเซลล์ ยังไม่

สามารถกำจัดเชื้อโรคได้หมด จึงน่าจะต้องฆ่าเชื้อโดยตรงด้วยวิธีใช้ความร้อน เนื่องจากหากจะใช้การกรองด้วยระบบอัลตรา เพิ่มเข้ามาโดยต่ออนุกรมกัน จะทำให้ระบบเพาะเลี้ยงมีราคาสูง อาจไม่เหมาะต่อการผลิตในระดับชุมชน

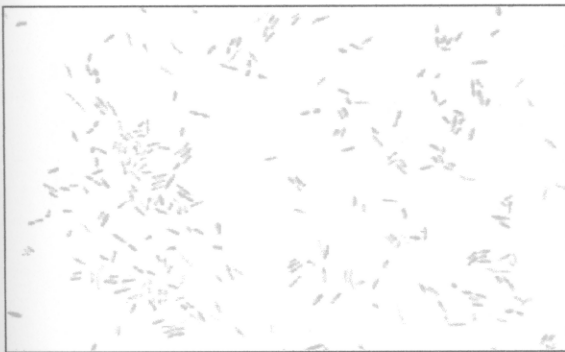


รูปที่ 3.3 ลักษณะโคโลนีและการเชื่อมของโคโลนีของเชื้อที่พบในน้ำมะพร้าวที่ผ่านการกรองด้วยเครื่องกรอง MF

### 3.3 การตรวจเชื้อในน้ำมะพร้าวหลังการกรองด้วยระบบ MF โดยวิธีการย้อมแกรมแบคทีเรีย

ได้ศึกษาชนิดของจุลินทรีย์ ด้วยการย้อมแกรมแบคทีเรียที่พบในน้ำมะพร้าวหลังการกรองด้วยระบบ MF ที่มีรูขนาด 0.3 ไมครอน พบว่าเป็นแบคทีเรียแกรมลบ (ติดสีแดงของ Sarfanin) มีรูปร่างแบบแท่ง (ดังรูปที่ 3.4)

จากการวัดขนาดของจุลินทรีย์ที่พบในน้ำมะพร้าวที่ผ่านการกรองด้วยเครื่องกรองน้ำ โดยวิธีการเทียบขนาดของ Ocular and Stage micrometer ที่กำลังขยาย 100X ของกล้องจุลทรรศน์ชนิด Compound microscope (Olympus รุ่น CH-2) พบว่า 1 ช่องของ Ocular micrometer มีค่าเท่ากับ 0.001 มิลลิเมตร (48 ช่องของ Ocular micrometer เท่ากับ 5 ช่องของ Stage micrometer) ตารางที่ 1 แสดงขนาดของแบคทีเรีย ช่วง กว้างxยาว 0.5-1.0 X 1.0-2.0 ไมโครเมตร



รูปที่ 3.4 ลักษณะรูปร่างและการติดสีแดงของ Sarfanin แบคทีเรียที่พบในน้ำมะพร้าวที่ กำลังขยาย 100X ของกล้องจุลทรรศน์แบบ ประกอบ (Olympus รุ่น CH-2)

### 3.4 มวลเปียกและมวลแห้งของเยื่อกรองเซลลูโลส

จากการใช้สูตรอาหารแบบ SHB และ CCB ได้เปรียบเทียบผลผลิตที่ได้เมื่อเทียบกับเวลาการผลิตที่เท่ากันคือ 3 วัน พบว่าเซลลูโลสที่ผลิตจากสูตรน้ำมะพร้าว CE(CCB) มีมวลและความหนาทั้งขณะเปียกและขณะแห้งประมาณ 2 เท่าของเซลลูโลสที่ผลิตจากอาหารเพาะเลี้ยงสูตรมาตรฐาน CE(SHB) ดังข้อมูลที่แสดงในตารางที่ 3.6

ตารางที่ 3.6 เปรียบเทียบมวลและความหนาขณะเปียกและแห้งของเซลลูโลส ที่เพาะเลี้ยงด้วยอาหารเพาะเลี้ยงสูตร SHB และ CCB ในภาชนะขนาด 60x120 cm<sup>2</sup>

รายการที่ศึกษา	เยื่อกรอง CE(SHB)	เยื่อกรอง CE(CCB)
น้ำหนักเปียก (g)	9.34 ± 0.08	15.17 ± 0.32
น้ำหนักแห้ง (g)	0.06 ± 0.01	0.11 ± 0.01
ความหนาขณะเปียก (mm)	1.28 ± 0.02	2.41 ± 0.05
ความหนาขณะแห้ง (mm)	0.09 ± 0.01	0.15 ± 0.03

### 3.5 ปริมาตรที่เหมาะสมของอาหารเพาะเลี้ยงสูตรน้ำมะพร้าวต่อการผลิตเยื่อกรองเซลลูโลส

ในการผลิตเยื่อกรองเซลลูโลส ได้ทดลองเหนี่ยวนำเซลล์ *Acetobacter xylinum* TISTR No.975 ด้วยไฟฟ้าก่อนการเพาะเลี้ยง ตามวิธีการของสาฟิตรี (สาฟิตรี, 2548) แต่ใช้สูตร CCB แทน ในการทดลองนี้ใช้เซลล์ปริมาตร 25 มิลลิลิตร หนาแน่น  $1 \times 10^6$  Cell/ml เพาะเลี้ยงในงานเพาะเลี้ยงขนาดเส้นผ่านศูนย์กลาง 90 มิลลิเมตร ลึก 1.5 เซนติเมตร หลังจากเพาะเลี้ยงเป็นเวลา 3 วัน พบว่าอาหารในงานเพาะเลี้ยงแห้งพอดี จึงได้ศึกษาว่าหากเพิ่มปริมาณต่องานเพาะเลี้ยงเป็น 30 และ 40 มิลลิลิตร โดยที่ความหนาแน่นของเซลล์คงเดิมคือ  $1 \times 10^6$  Cell/ml โดยบันทึกมวลและความหนาของเยื่อเซลลูโลสทั้งขณะเปียกและขณะแห้ง โดยทำการทดลอง 3 ซ้ำ ๆ ละ 5 ชุดการทดลอง ผลการทดลองในตารางที่ 3.7 ซึ่งแสดงให้เห็นว่า ปริมาตรสูตรอาหารที่เพิ่มขึ้นไม่มีผลต่อมวลเปียกและมวลแห้งมากนัก มวลที่ลดลงเล็กน้อยหลังการเพิ่มปริมาณอาหาร อาจเกิดจากเซลล์ที่มีจำนวนมากขึ้นต้องแย่งชิงการใช้แสงและออกซิเจนบนพื้นที่ผิวที่จำกัดเท่ากัน ส่งผลให้เซลล์เกิดภาวะการแข่งขันแย่งชิงแสงและออกซิเจน ทำให้การผลิตเซลลูโลสไม่เต็มที่เมื่อเทียบกับการใช้อาหารที่มีปริมาณน้อยกว่า การทดลองนี้สรุปว่า การใช้เซลล์ปริมาตร 25 ml/plate ความหนาแน่น  $1 \times 10^6$  Cell/ml เหมาะสมสำหรับการผลิตเซลลูโลส นอกจากนี้ยังเป็นการผลิตที่ประหยัดค่าใช้จ่ายและพลังงานในการเตรียมอาหารเพาะเลี้ยงอีกด้วย

ตารางที่ 3.7 เปรียบเทียบค่ามวลและความหนาทั้งขณะเปียกและขณะแห้งของเชื้อเซลล์ูโลสที่ผลิตได้จาก *Axytobacter xylinum* TISTR No.975 ในสูตรอาหาร CCB ที่ปริมาตรต่างๆ

รายการที่ศึกษา	ปริมาตรอาหาร (ml/plate)		
	25	30	40
มวลเปียก (g)	15.17 ± 0.32	16.51 ± 0.84	17.96 ± 0.11
มวลแห้ง (g)	0.11 ± 0.01	0.12 ± 0.01	0.12 ± 0.01
ความหนาขณะเปียก (mm)	2.43 ± 0.02	2.34 ± 0.04	2.12 ± 0.08
ความหนาขณะแห้ง (mm)	0.16 ± 0.02	0.15 ± 0.04	0.15 ± 0.02

### 3.6 การศึกษาเวลาที่เหมาะสมในการการเหนี่ยวนำเซลล์ด้วยไฟฟ้ากระแสสลับ

เนื่องจากห้องวิจัยนี้พบว่า *Acetobacter xylinum* TISTR No.975 เมื่อถูกเหนี่ยวนำด้วยไฟฟ้ากระแสสลับที่ความถี่ 80 kHz แอมป์ลิจูด 6Vpp เป็นเวลา 7 นาที แล้วนำไปเพาะเลี้ยงในอาหารเพาะเลี้ยงที่มีค่า pH 4 เป็นเวลา 3 วัน จะทำให้แบคทีเรีย *Acetobacter xylinum* TISTR No.975 เพิ่มจำนวนขึ้นอย่างรวดเร็ว [9] และแผ่นเซลล์ูโลสที่ได้มีรูพรุนเพิ่มขึ้นโดยใช้อาหารเหลวสูตร SHB ซึ่งประกอบด้วย Sucrose 4%(w/v), Peptone 0.5% (w/v), Yeast extract 0.5%(w/v), Citric acid 0.0115%(w/v) และ Na<sub>2</sub>HPO<sub>4</sub> 0.033%(w/v) ละลายในน้ำกลั่น แต่งานวิจัยนี้ต้องการเพิ่มมูลค่าน้ำมะพร้าวซึ่งเป็นผลผลิตเหลือทิ้งทางเกษตร จึงได้ทำการศึกษาผลจากการเหนี่ยวนำเซลล์ที่เวลาต่างๆ กันอีกครั้งหนึ่ง ดังนี้

นำ *Acetobacter xylinum* TISTR No. 975 ที่เพาะเลี้ยงไว้ในอาหารสูตรน้ำมะพร้าวเป็นเวลา 3 วัน และได้นับจำนวนเซลล์เริ่มต้นแล้วใส่ลงไปในชุดเหนี่ยวนำเซลล์ ปริมาตร 50 มิลลิลิตร (โดยวิธี Aseptic technique) เหนี่ยวนำเซลล์โดยให้ความถี่ 80 kHz แอมป์ลิจูด 6 Vpp เป็นเวลา 3, 5, 7 และ 10 นาที ตรวจสอบความถูกต้องของความถี่และแอมป์ลิจูดด้วยจอภาพของเครื่อง Osilloscope

ตารางที่ 3.8 แสดงมวล (ก) และความหนา (ข) ของเซลล์ูโลสขณะเปียกและขณะแห้ง พบว่าการเหนี่ยวนำเซลล์ที่ความถี่ 80 kHz แอมป์ลิจูด 6 Vpp นาน 7 นาที น่าจะเป็นเวลาที่เหมาะสมที่สุด เนื่องจากเซลล์ูโลสที่ได้มีน้ำหนักและความหนามากที่สุด และค่อนข้างคงที่เนื่องจากมีค่าเบี่ยงเบนมาตรฐานน้อยที่สุด เมื่อเทียบกับการเหนี่ยวนำเซลล์ที่เวลาอื่นๆ

ตารางที่ 3.8 ผลการผลิตเซลล์โลสหลังจากเหนี่ยวนำเซลล์ด้วยไฟฟ้ากระแสสลับที่ความถี่ 80 kHz , 6Vpp ในช่วงเวลาต่างๆ  
ใช้อาหารเพาะเลี้ยงปริมาตร 25 มิลลิลิตรต่อจานเพาะเลี้ยง ความหนาแน่นของเซลล์  $1 \times 10^6$  cell/ml

## (ก) เปรียบเทียบมวล

เวลาในการเหนี่ยวนำเซลล์ (min)	มวลของเซลล์โลส (g)	
	มวลเปียก	มวลแห้ง
0	15.17 ± 0.32	0.11 ± 0.01
3	16.21 ± 0.96	0.12 ± 0.01
5	16.81 ± 0.59	0.11 ± 0.01
7	17.84 ± 0.40	0.13 ± 0.02
10	15.95 ± 0.95	0.13 ± 0.02

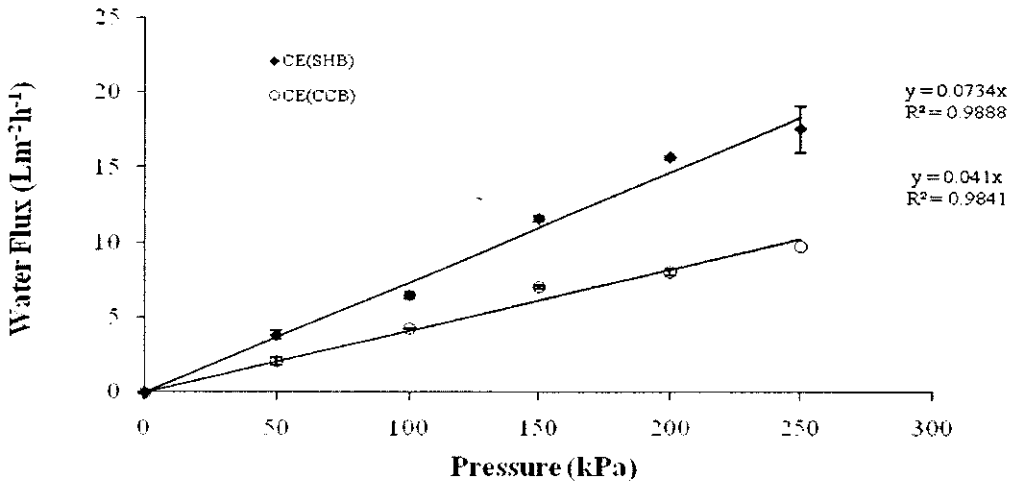
## (ข) เปรียบเทียบความหนา

เวลาในการเหนี่ยวนำเซลล์ (min)	ความหนาของเยื่อเซลล์โลส (mm)	
	เยื่อเปียก	เยื่อแห้ง
0	2.43 ± 0.02	0.16 ± 0.02
3	2.22 ± 0.01	0.15 ± 0.00
5	2.09 ± 0.08	0.13 ± 0.01
7	2.42 ± 0.03	0.18 ± 0.01
10	2.04 ± 0.03	0.14 ± 0.02

3.7 ฟลักซ์น้ำผ่านเยื่อกรองเซลล์โลสที่เตรียมจาก *Acetobacter xylinum* TISTR No. 975

รูปที่ 3.5 แสดงเพอมีเอทฟลักซ์ของน้ำผ่านเยื่อกรองเซลล์โลส โดยเปรียบเทียบระหว่างเยื่อกรอง CE(SHB) และ CE(CCB) จะเห็นว่าเยื่อกรองที่ผลิตจากอาหารสูตร SHB ให้ค่าเพอมีเอทฟลักซ์ของน้ำกลั่นสูงกว่าในทุกๆค่าความดันที่ใช้ แสดงว่าเยื่อกรอง CE(SHB) น่าจะมีพื้นที่รูพรุนมากกว่า ส่วนขนาดรูน่าจะประมาณ 0.1 ไมครอน ตามที่ซาฟิตรี [7] และปริศนา [9] ได้รายงานไว้แล้ว อย่างไรก็ตามก็ตีความหนาของเยื่อ CE(CCB) ที่มากกว่านั้นมีส่วนทำให้เกรเดียนต์ความดัน ( $\Delta P/\Delta X$ ) มีค่าลดลงกว่าด้วย จึงเป็นเหตุผลอธิบายค่าฟลักซ์น้ำที่น้อยกว่าด้วย (ดูสมการ 2 ในข้อ 2.13)



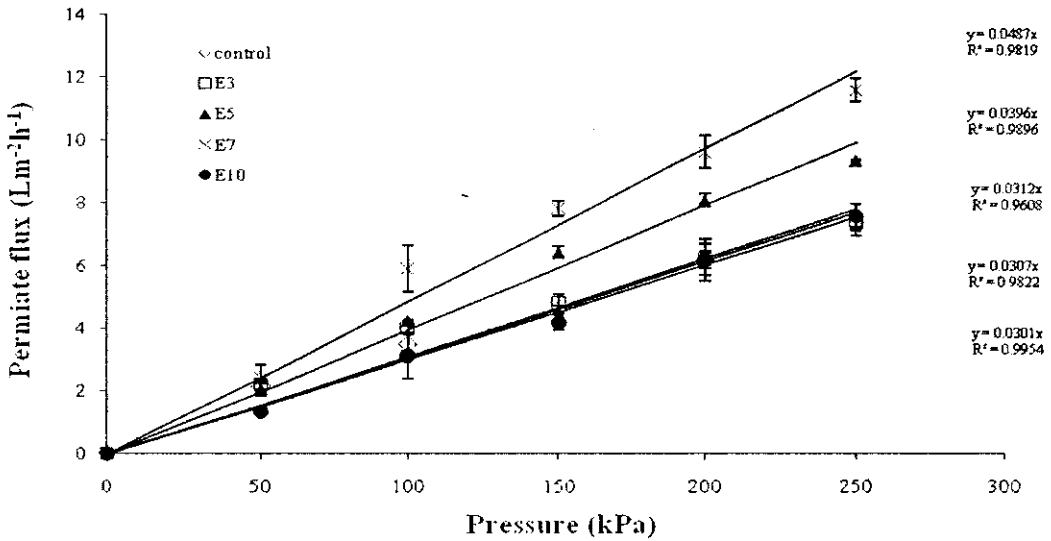


รูปที่ 3.5 เปรียบเทียบเพอมีอเทฟลักซ์ของน้ำกลั่นผ่านเมมเบรน CE(SHB) และ CE(CCB)

เมื่อเปรียบเทียบเพอมีอเทฟลักซ์ของน้ำผ่านเยื่อกรองเซลล์โลสที่ผลิตจากเซลล์หลังการเหนี่ยวนำด้วยไฟฟ้ากับชุดควบคุม (เซลล์ไม่ถูกเหนี่ยวนำเซลล์ด้วยไฟฟ้า) กราฟในรูปที่ 3.6 แสดงให้เห็นว่าเพอมีอเทฟลักซ์ของน้ำที่ผ่านเยื่อกรองเซลล์โลสชุดเหนี่ยวนำเป็นเวลา 3 นาที และ 10 นาที มีค่าใกล้เคียงกับชุดควบคุมมาก ส่วนเพอมีอเทฟลักซ์ของเยื่อกรองชุดเหนี่ยวนำนาน 7 นาที มีแนวโน้มให้ค่าสูงสุด การทดลองนี้จึงสรุปว่าการเหนี่ยวนำเซลล์ด้วยสัญญาณไฟฟ้าที่ความถี่ 80 kHz แอมพลิจูด 6 Vpp นาน 7 นาที เป็นช่วงที่เหมาะสมซึ่งน่าจะให้ความพรุนดีขี้นกว่าชุดควบคุมและยังให้มวลเซลล์โลสมากที่สุดด้วย (ดูตารางที่ 3.8) ซึ่งมวลที่สูงขึ้นนี้แม้จะไม่มากนัก แสดงให้เห็นว่าสัญญาณไฟฟ้ามีผลต่อการผลิตเซลล์โลสของจุลินทรีย์ในระดับหนึ่ง

ตารางที่ 3.9 แสดงค่าสัมประสิทธิ์การนำน้ำ ( $L_p$ ) ของเยื่อกรองเซลล์โลสที่ผลิตภายใต้เงื่อนไขต่างๆ

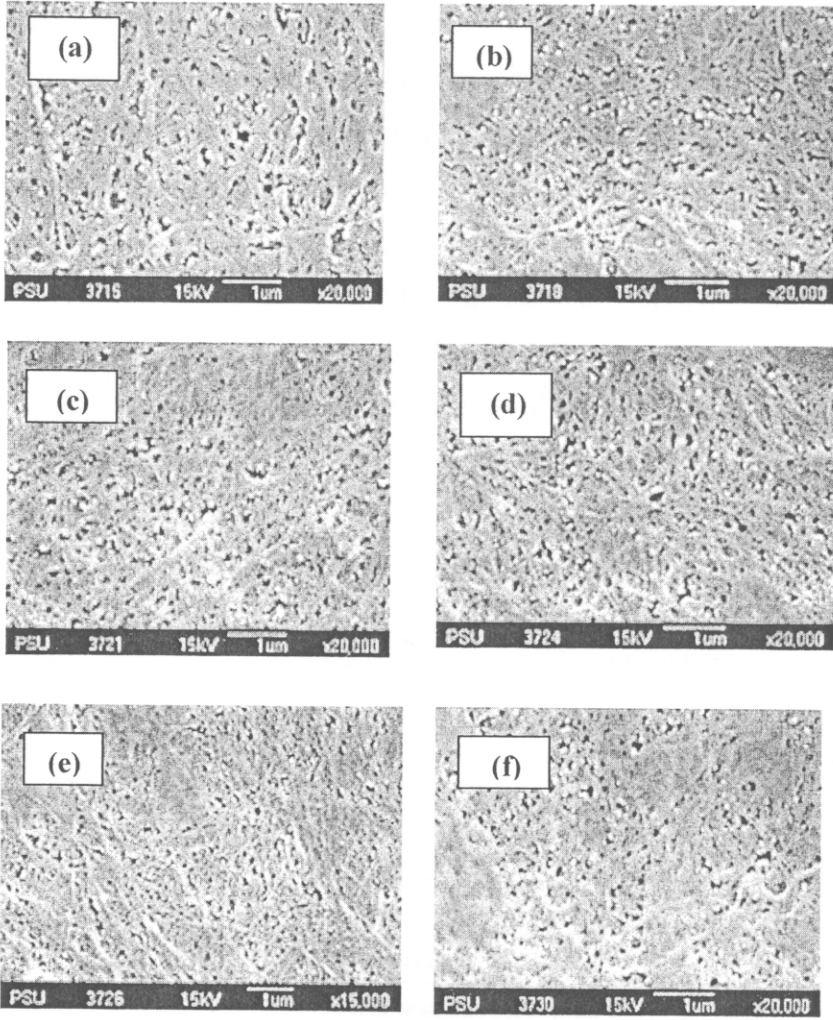
ชนิดของเยื่อกรองเซลล์โลส	$L_p$ (m <sup>3</sup> N <sup>-1</sup> s <sup>-1</sup> )
C-SHB	20.41 x 10 <sup>-12</sup>
C-CCB	8.59 x 10 <sup>-12</sup>
CE(CCB) : เหนี่ยวนำ 3 นาที เรียก CE(CCB):E3	8.67 x 10 <sup>-12</sup>
CE(CCB) : เหนี่ยวนำ 5 นาที เรียก CE(CCB):E5	11.01 x 10 <sup>-12</sup>
CE(CCB) : เหนี่ยวนำ 7 นาที เรียก CE(CCB):E7	13.54 x 10 <sup>-12</sup>
CE(CCB) : เหนี่ยวนำ 10 นาที เรียก CE(CCB):E10	8.37 10 <sup>-12</sup>



รูปที่ 3.6 แสดงเพอมีเอฟลักซ์ของน้ำผ่านเยื่อกรองเซลลูโลส CE(CCB) ภายหลังจากที่เซลล์ถูกเหนี่ยวนำด้วยไฟฟ้า ที่ความถี่ 80 kHz, 6 Vpp ที่เวลาต่างๆ กัน เปรียบเทียบกับชุดควบคุม

### 3.8 การศึกษาพื้นผิวหน้าของเยื่อกรองเซลลูโลสจากภาพถ่าย SEM

การศึกษาขนาดรูและความพรุนของเยื่อกรองเซลลูโลส โดยการถ่ายภาพจาก SEM (ณ ศูนย์เครื่องมือวิทยาศาสตร์ มหาวิทยาลัยสงขลานครินทร์) ของเยื่อกรองเซลลูโลสทุกชนิดที่ผลิต คือเยื่อกรอง CE(SHB), CE(CCB), CE(CCB):E3, CE(CCB):E5, CE(CCB):E7, และ CE(CCB):E10 ดังรูปที่ 3.7 (a-ก) เปรียบเทียบระหว่างชุดควบคุม จะเห็นได้ว่าเยื่อกรองเซลลูโลสชนิด CE(SHB) มีขนาดของรูพรุนโดยรวมใหญ่กว่าของเยื่อกรองเซลลูโลสชนิด CE(CCB) (เปรียบเทียบรูปที่ 3.7 a กับ 3.7 b) เมื่อพิจารณาจากภาพถ่าย SEM ของเยื่อกรองเซลลูโลส ชุด CE(CCB):E3 ถึง CE(CCB):E10 ที่ถูกเหนี่ยวนำด้วยไฟฟ้าระดับต่างๆ พบว่าเยื่อกรองที่ได้มีการกระจายรูแตกต่างกัน และเยื่อกรองที่เหนี่ยวนำด้วยไฟฟ้า มีสารอื่นเคลือบอยู่ที่ผิวบน ซึ่งน่าจะส่งผลต่อจำนวนพื้นที่รูให้น้ำผ่าน และทำให้มีค่าลดลง



รูปที่ 3.7 ภาพ SEM ของเซลลูโลสเมมเบรนที่ผลิตผลิตโดย *Acetobacter xylinum* TISTR No.975 ภายใต้งี๊อนไขต่างๆ ดังนี้

(a), และ (b) คือ CE(SHB) และ CE(CCB) ชุดควบคุม กำลังขยาย 20,000 เท่า

(c), (d), (e), และ (f) คือ CE(CCB):E3, CE(CCB):E5, CE(CCB):E7 และ CE(CCB):E10 ตามลำดับ

### 3.9 ความทนต่อกรด-ด่างของเยื่อกรองเซลลูโลส

การศึกษาผลของความทนกรด-ด่างของเยื่อกรอง CE(SHB) และ CE(CCB) ทำโดยการตัดเยื่อกรองขนาด 1 x 1 เซนติเมตร จำนวน 30 ชิ้น แบ่งออกเป็น 3 กลุ่ม โดยกลุ่มที่ 1 นำไปแช่ในน้ำกลั่นจำนวน 10 ชิ้น กลุ่มที่ 2 แช่ในสารละลาย HCl pH 4 จำนวน 10 ชิ้น และกลุ่มที่ 3 แช่ในสารละลาย NaOH pH 10 จำนวน 10 ชิ้น ได้บันทึกมวลแห้งก่อนนำไปแช่ในสารดังกล่าว หลังการแช่ได้นาน 120 ชั่วโมง (5 วัน) ได้ชั่งน้ำหนักเยื่อกรองด้วยกระดาษกรองที่สะอาดก่อนนำไปชั่งหามวล แล้วนำมวลที่ได้มาหักลบกับมวลเริ่มต้น ผลการทดลองได้แสดงในตารางที่ 3.10 (a), (b) และ (c) จากข้อมูลสามารถสรุปได้ว่า เยื่อกรองเซลลูโลสทั้งสองชนิดมีมวลไม่เปลี่ยนแปลง สามารถทนต่อกรด HCl pH 4 และด่าง NaOH pH 10 นานได้ถึง 120 ชั่วโมง อีกนัยหนึ่งคือ เยื่อชนิดนี้สามารถนำไปกรองสารละลายที่มี pH ช่วง 4-10 ได้ติดต่อกันนานถึง 5 วัน โดยไม่มีผลกระทบต่อมวลของเยื่อ

ตารางที่ 3.10 เปรียบเทียบมวลของเมมเบรนก่อนและหลังการแช่ในกรดและด่าง

(a) เยื่อกรองชนิด CE(SHB)

เงื่อนไขที่ทำการศึกษา	มวลของเยื่อกรองเซลลูโลส CE(SHB) (mg)		
	Control	HCl	NaOH
น้ำหนักแห้ง	2.0 ± 0.1	2.0 ± 0.2	2.0 ± 0.2
น้ำหนักหลังแช่ 30 นาที	4.8 ± 0.3	4.9 ± 0.2	5.0 ± 0.4
น้ำหนักหลังแช่ 5 วัน	4.9 ± 0.3	5.0 ± 0.3	5.1 ± 0.3

(b) เยื่อกรองชนิด CE(CCB)

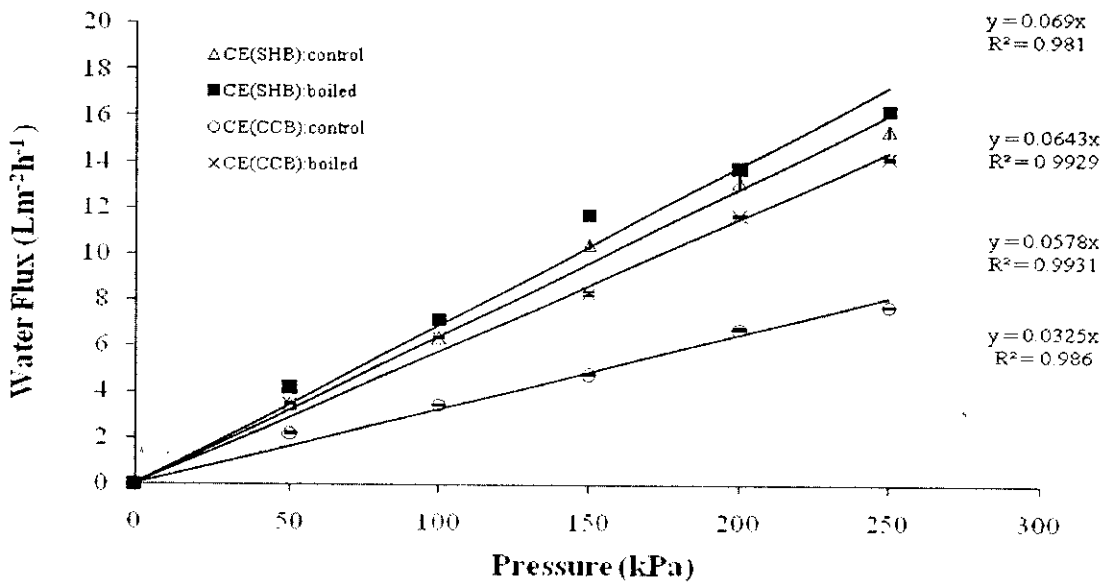
เงื่อนไขที่ทำการศึกษา	มวลของเยื่อกรองเซลลูโลส CE(CCB) (mg)		
	Control	HCl	NaOH
น้ำหนักแห้ง	2.7 ± 0.2	2.7 ± 0.2	2.6 ± 0.2
น้ำหนักหลังแช่ 30 นาที	5.4 ± 0.2	5.4 ± 0.2	5.6 ± 0.3
น้ำหนักหลังแช่ 5 วัน	5.6 ± 0.2	5.5 ± 0.3	5.7 ± 0.5

(c) เปรียบเทียบมวลของเยื่อกรองทั้งสองชนิดหลังการแช่ในกรด และด่างนาน 5 วัน

สารละลาย	มวลของเมมเบรน (mg)			
	CE(SHB)		CE(CCB)	
	แช่น้ำ 30 min	แช่สารละลาย 120 h	แช่น้ำ 30 min	หลังแช่ 120 h
น้ำกลั่น	5	5	5	6
HCl pH 4	5	5	5	5
NaOH pH 10	5	5	6	6

### 3.10 การกำจัดสารตกค้างบนเยื่อกรองโดยการต้ม

เมื่อต้มเยื่อกรอง CE(SHB) และ CE(CCB) ในน้ำเดือดเป็นเวลา 1 ชั่วโมง แล้วนำไปทดสอบการกรองเพื่อหาค่าเพอร์มิเอทฟลักซ์ พบว่าค่าเพอร์มิเอทฟลักซ์ของเยื่อกรอง CE(SHB) มีค่าสูงขึ้น 1.07 เท่า และของเยื่อกรองชนิด CE(CCB) มีค่าสูงขึ้น 1.78 เท่า ดังรูปที่ 3.8 ส่งผลให้ค่าประสิทธิภาพการนำน้ำ  $L_p$  เปลี่ยนแปลงด้วย ดังแสดงในตารางที่ 3.11 แสดงว่าการต้มช่วยกำจัดสิ่งตกค้างที่ผิวได้ระดับหนึ่ง ซึ่งเห็นผลได้ชัดเจนในเยื่อ CE(CCB) ซึ่งชี้ให้เห็นว่าไขมันที่ปนอยู่ในอาหารเพาะเลี้ยงจุลินทรีย์สูตร CCB มีส่วนทำให้ฟลักซ์น้ำในผลการทดลองรูปที่ 3.5 มีค่าน้อย นอกจากนี้ยังแสดงให้เห็นว่าการต้มในน้ำเดือดไม่ทำลายเยื่อกรอง หรือกล่าวอีกนัยหนึ่ง คือเยื่อกรองชนิดนี้สามารถนำไปใช้งานได้ที่อุณหภูมิสูงถึง  $100^{\circ}\text{C}$



รูปที่ 3.8 เปรียบเทียบเพอร์มิเอทฟลักซ์ของน้ำกลั่นผ่าน CE(SHB) และ CE(CCB) ที่ผ่านการต้มในน้ำเดือดนาน 1 ชั่วโมง

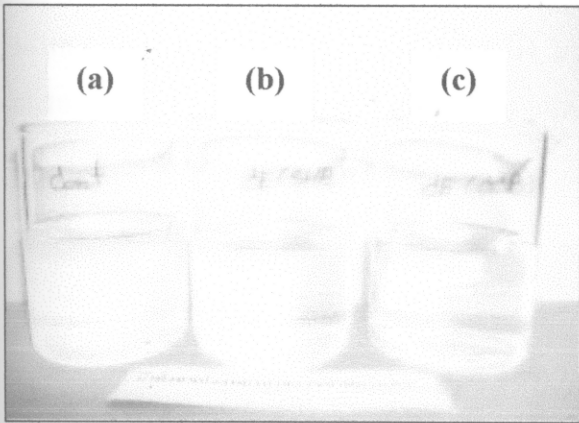
ตารางที่ 3.11 สัมประสิทธิ์การนำน้ำ ( $L_p$ ) ของเยื่อกรองเซลลูโลสหลังจากผ่านการต้มในน้ำเดือดนาน 1 ชั่วโมง

ชนิดของเยื่อกรองเซลลูโลส	$L_p$ ( $\text{m}^3\text{N}^{-1}\text{s}^{-1}$ )
CE(SHB) : Control	$17.88 \times 10^{-12}$
CE(SHB) : Boiled 1 h	$19.18 \times 10^{-12}$
CE(CCB) : Control	$9.04 \times 10^{-12}$
CE(CCB) : Boiled 1 h	$16.07 \times 10^{-12}$

### 3.11 ทดสอบการกรองน้ำทิ้งจากโรงพยาบาล

จากการทดสอบการกรองตัวอย่างน้ำทิ้งจากโรงพยาบาลสงขลานครินทร์ ที่บริเวณบ่อน้ำทิ้ง(บ่อแรก) หลังโรงพยาบาลสงขลานครินทร์ แล้วนำมาทดลองกรอง ด้วยเยื่อกรองเซลลูโลส 2 ชนิด คือ CE-SHB และ CE-CCB ด้วยเครื่องกรองแบบปิดตาย (Micro Filtration : MF) ที่ความดัน 250 kPa พบว่าน้ำทิ้งจากโรงพยาบาลที่ผ่านการกรองด้วยเยื่อกรองทั้งสองชนิดมีความใสขึ้นมากเมื่อเทียบกับลักษณะของน้ำทิ้งที่ยังไม่ผ่านการกรอง แต่เมื่อเปรียบเทียบกันระหว่างน้ำทิ้งที่ผ่านการกรองทั้งสองชุดแล้ว พบว่าลักษณะภายนอกของน้ำที่สังเกตได้ด้วยตาเปล่ามีความใสไม่แตกต่างกัน ดังรูปที่ 3.9 และพบว่า CE(SHB) ให้ค่า ฟลักซ์น้ำ  $30 \text{ Lm}^{-2}\text{h}^{-1}$  สูงกว่า CE(CCB) ซึ่งให้ค่าฟลักซ์  $23 \text{ Lm}^{-2}\text{h}^{-1}$

จากตารางที่ 3.12 จะเห็นว่า CE(SHB) มีประสิทธิภาพในการกักกันและทำให้คุณภาพน้ำทิ้งทางกายภาพ (สี) และทางเคมี เช่น ของแข็งแขวนลอย (SS) ของแข็งละลายน้ำทั้งหมด (TDS) ค่าความสกปรกของสารอินทรีย์ในรูป COD มีประสิทธิภาพในการกักกันร้อยละ -27.58, 80, -4.16 และ -47.69 ตามลำดับ ส่วนเยื่อกรอง CE(CCB) กรองน้ำทิ้งจากโรงพยาบาล มีประสิทธิภาพในการกักกันและทำให้คุณภาพน้ำทิ้งทางกายภาพ (สี) และทางเคมี เช่น ของแข็งแขวนลอย (SS) ของแข็งละลายน้ำทั้งหมด (TDS) ค่าความสกปรกของสารอินทรีย์ในรูป COD มีประสิทธิภาพในการกักกันร้อยละ 34.48, 90, -3.24 และ 46.46 ตามลำดับ จึงสรุปได้ว่าเยื่อกรองทั้งสองชนิดนี้สามารถกักกันสารแขวนลอยทั้งอินทรีย์ อนินทรีย์ และอนุภาคของสีได้ระดับดีถึงดีมาก และสามารถกักกันสารอินทรีย์ในรูป COD ได้ระดับหนึ่ง อย่างไรก็ตาม ค่า BOD<sub>5</sub> ที่วิเคราะห์ในน้ำเพอมีอเท สูงกว่า น้ำเข้า น่าจะมีข้อผิดพลาด แต่ไม่สามารถกักกันสารประกอบไนโตรเจนในรูป TKN และ NH<sub>3</sub> ได้



รูปที่ 3.9 ลักษณะของสีน้ำทิ้งโรงพยาบาล

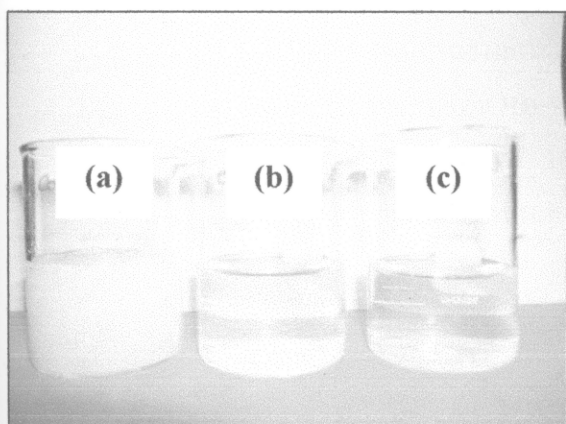
- (a) ตัวอย่างน้ำทิ้งจากโรงพยาบาล
- (b) ลักษณะของน้ำที่ผ่านการกรองด้วย CE(SHB)
- (c) ลักษณะของน้ำที่ผ่านการกรองด้วย CE(CCB)

ตารางที่ 3.12 ค่าของสารแขวนลอยที่อยู่ในน้ำทิ้งจากโรงงานที่ผ่านการกรองด้วย CE(SHB) และ CE(CCB) เปรียบเทียบกับที่ไม่ผ่านการกรอง

รายการที่วิเคราะห์	วิธีการวิเคราะห์	หน่วย	น้ำทิ้งจากโรงงานอุตสาหกรรม		
			ไม่ผ่านการกรอง	กรองผ่าน CE(SHB)	กรองผ่าน CE(CCB)
SS	Dried at 103-105 <sup>0</sup> C	mg/l	10	2	1
TDS	TDS meter	mg/l	216	225	223
COD	Photometric Method	mg/l	650	960	348
BOD <sub>5</sub>	5-Day BOD test	mg/l	30	94.5	79
TKN	Photometric Method	mg/l	36	34	52
NH <sub>3</sub> <sup>+</sup>	Photometric Method	mg/l	3.45	2.67	4.34
Color	Photometric Method	HAZEN	29	37	19
Flux	กรองด้วยเครื่องกรองแบบปิดตายที่ความดัน 2500 kPa	Lm <sup>-2</sup> h <sup>-1</sup>		29.62	22.92

### 3.12 ทดสอบการกรองน้ำทิ้งจากโรงงานยาง

กรองน้ำทิ้งจากโรงงานยาง ในอำเภอสะเดา จังหวัดสงขลา ด้วยเยื่อกรองเซลลูโลสทั้งสองชนิด ด้วยเครื่องกรองแบบปิดตายระดับไมโคร ที่ความดัน 250 kPa พบว่าสีน้ำทิ้งจากโรงงานยางเปลี่ยนจากสีครีมขุ่นเป็นสีเหลืองอ่อนใสและมีความใสกว่าเล็กน้อยหากกรองด้วยเยื่อ CE(SHB) โดยเพอมีอเทฟลักซ์ 13 Lm<sup>-2</sup>h<sup>-1</sup> สูงกว่าของเยื่อ CE(CCB) เล็กน้อย (10 Lm<sup>-2</sup>h<sup>-1</sup>) การทดลองนี้แสดงให้เห็นว่าเยื่อกรองทั้งสองชนิดสามารถกักกันสารแขวนลอยจำพวกโปรตีนได้ระดับหนึ่ง และเมื่อเปรียบเทียบกับกันระหว่างน้ำทิ้งที่ผ่านการกรองด้วยเยื่อกรองทั้งสองชนิดจากลักษณะภายนอกด้วยตาเปล่าพบว่ามีความใสไม่แตกต่างกัน ดังรูปที่ 3.10



รูปที่ 3.10 ลักษณะของสีน้ำทิ้งจากโรงงานยาง

- (a) น้ำทิ้งจากโรงงานยาง
- (b) ลักษณะของน้ำทิ้งที่ผ่านการกรองด้วย CE(SHB)
- (c) ลักษณะของน้ำทิ้งที่ผ่านการกรองด้วย CE(CCB)

ตารางที่ 3.13 แสดงค่าของสารแขวนลอยที่อยู่ในน้ำทิ้งจากโรงงานยางที่ผ่านการกรองด้วย CE(SHB) และ CE(CCB) เปรียบเทียบกับน้ำที่ไม่ผ่านการกรอง

รายการที่ วิเคราะห์	วิธีการวิเคราะห์	หน่วย	น้ำทิ้งจากโรงงานยาง		
			ไม่ผ่านการ กรอง	กรองผ่าน CE(SHB)	กรองผ่าน CE(CCB)
SS	Dried at 103-105°C	mg/l	233	33	40
TDS	TDS meter	mg/l	25,900	25,250	25,150
COD	Photometric Method	mg/l	45,000	33,000	12,600
BOD <sub>5</sub>	5-Day BOD test	mg/l	13,200	9,600	9,300
TKN	Photometric Method	mg/l	28	34	25
NH <sub>3</sub> <sup>+</sup>	Photometric Method	mg/l	0.21	0.17	0.10
Color	Photometric Method	HAZEN	7,940	298	369
Flux	กรองด้วยเครื่องกรองแบบปิดตายที่ ความดัน 2500 kPa	Lm <sup>2</sup> h <sup>-1</sup>	-	13.39	10.56

จากตารางที่ 3.13 จะเห็นว่าข้อมูลน้ำทิ้งมีค่าความสกปรกสารอินทรีย์ในรูป COD และ BOD<sub>5</sub> สูงมาก หลังจากทดสอบการกรองด้วยเยื่อกรองชนิด CE(SHB) และ CE(CCB) แล้ว พบว่า เยื่อชนิดนี้มีประสิทธิภาพในการกักกันของแข็งแขวนลอย (อนุภาคเนือย) และสีได้ดีมาก กล่าวคือมีประสิทธิภาพการกักกันร้อยละ 85.83, 96.25 และ 82.83, 95.35 ตามลำดับ เนื่องด้วยลักษณะน้ำเสียของโรงงานยางที่มีสารแขวนลอยสูงและมีเนือยปน ซึ่งถูกกักกันได้ด้วยเยื่อกรอง จึงส่งผลให้ค่าความสกปรกในรูป COD และ BOD<sub>5</sub> ลดลงอย่างชัดเจน ถึงร้อยละ 72 และ 29.54 ตามลำดับ ส่วนประสิทธิภาพในการกักกันสารประกอบไนโตรเจนในรูป TKN และ NH<sub>3</sub> ค่อนข้างต่ำ เนื่องจากสารประกอบกลุ่มนี้อยู่ในรูปละลายน้ำและมีขนาดโมเลกุลเล็กกว่าขนาดรูของเยื่อกรองมาก

### 3.13 การกรองน้ำที่มีสนิมเหล็ก

การทดสอบการกรองน้ำสนิมเหล็ก โดยเก็บตัวอย่างน้ำที่มีสนิมเหล็ก ณ ตำบลปรัก อำเภอสะเดา จังหวัดสงขลา โดยทำการสุ่มตรวจตัวอย่าง 3 จุด คือ หมู่ที่ 1 (หมู่บ้านใหม่-ทุ่งศาลาดาล), หมู่ที่ 4 (หมู่บ้านตะเคียนเถา) และหมู่ที่ 9 (หมู่บ้านยางเกาะ) ในการทดลองนี้ได้ทำการตรวจวัดปริมาณสนิมเหล็กในน้ำด้วย Iron Test Kit รุ่น HI 3834 บริษัท Hanna instruments ซึ่งสามารถวัดค่าเหล็กในช่วง 0-5 ppm โดยใส่ตัวอย่างน้ำลงใน plastic vessel ปริมาตร 10 มิลลิลิตร เเท reagent HI 3834-0 ลงใน plastic vessel แล้วผสมให้ reagent HI 3834-0 ละลาย จากนั้นเทสารผสมลงใน color comparator cube ทิ้งไว้ 4 นาที แล้วอ่าน



ค่า จากการทดสอบพบว่าเชื้อกรองเซลล์ูโลสทั้งสองสูตร คือ CE(CCB) และ CE(SHB) สามารถกรองสนิมเหล็กได้ร้อยละหนึ่งถึงสองผลที่แสดงในตารางที่ 3.14

ตารางที่ 3.14 แสดงค่าสนิมเหล็กในน้ำก่อนและหลังการกรอง

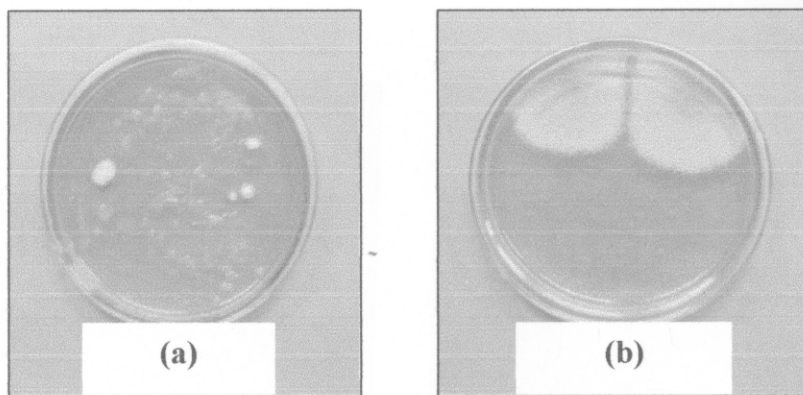
ตัวอย่างน้ำ	ค่าสนิมเหล็ก (ppm)		
	ก่อนกรอง	กรองผ่าน CE(CCB)	กรองผ่าน CE(SHB)
น้ำกลั่น	0	0	0
หมูที่ 1 (หมู่บ้านใหม่-ทุ่งศาลาคาล)	3-4	0	0
หมูที่ 4 (หมู่บ้านตะเคียนเกา)	1-2	0	0
หมูที่ 9 (หมู่บ้านยางเกาะ)	0.1	0	0

### 3.14 ทดสอบการกรองจุลินทรีย์

เนื่องจากเชื้อกรองเซลล์ูโลสที่ผลิตขึ้นนี้มีขนาดรูที่มีขนาดเล็กประมาณ 0.1 ไมครอนตามที่สาฟิตรีและปริศนารายงาน จึงน่าจะสามารถกรองเชื้อจุลินทรีย์ได้ จึงได้ทำการทดสอบโดยใช้น้ำเลี้ยง (อาหารเชื้อ) ที่เหลือจากการผลิตเชื้อเซลล์ูโลสเป็นสารปนเปื้อน เนื่องจากยังมีเชื้อแบคทีเรีย *Acetobacter xyliinum* TISTR No. 975 ปะปนอยู่จำนวนหนึ่ง (ความหนาแน่นเชื้อ  $1.2 \times 10^8$  cell/ml) ใช้เครื่องกรองแบบปิดตาย (รูปที่ 2.15) โดยก่อนที่จะใช้น้ำส่วนประกอบต่างๆของเครื่องกรองซึ่งเป็นสแตนเลสแช่น้ำร้อนที่อุณหภูมิ 90-95 °C เป็นเวลา 15 นาที แล้วเช็ดด้วยผ้าสะอาดชุบแอลกอฮอล์ 70% นำเชื้อกรองเซลล์ูโลสที่ผ่านการฆ่าเชื้อแล้ว (โดยการฉีดแอลกอฮอล์ 70% จนทั่วแผ่นทิ้งไว้เป็นเวลา 15 นาที) มาแช่ในน้ำกลั่นที่ผ่านการฆ่าเชื้อแล้วเช่นกันนาน 1 ชั่วโมงเพื่อให้ดูดซับน้ำเต็มมาก่อนทดลอง เมื่อใส่อาหารเพาะเลี้ยงที่ผ่านการฆ่าเชื้อแล้วลงในเครื่องกรองแล้ว ใช้ความดัน 250 kPa และนำหลอดฝาเกลียวขนาดกลางที่ผ่านการฆ่าเชื้อแล้วมารองรับสารเพอมีเอท ทั้งนี้เพื่อทดสอบว่าเชื้อกรองเซลล์ูโลสแต่ละชนิดสามารถกรองเชื้อแบคทีเรียชนิดนี้ได้หรือไม่ นำสารที่กรองได้ไปทำการ Spread plate แล้วเพาะเลี้ยงเป็นเวลา 3 วัน (ตามมาตรฐานการตรวจสอบ) ที่อุณหภูมิห้อง (ระหว่าง 27-30 °C) ส่วนเชื้อกรองที่ใช้กรองอาหารเชื้อแล้ว ถูกนำไปวางบน PDA เพาะเลี้ยงเป็นเวลา 3 วัน ที่อุณหภูมิห้องเช่นกัน ทั้งนี้เพื่อยืนยันว่ามีเชื้อดังกล่าวถูกกักกันไว้บนเชื้อกรองจริง

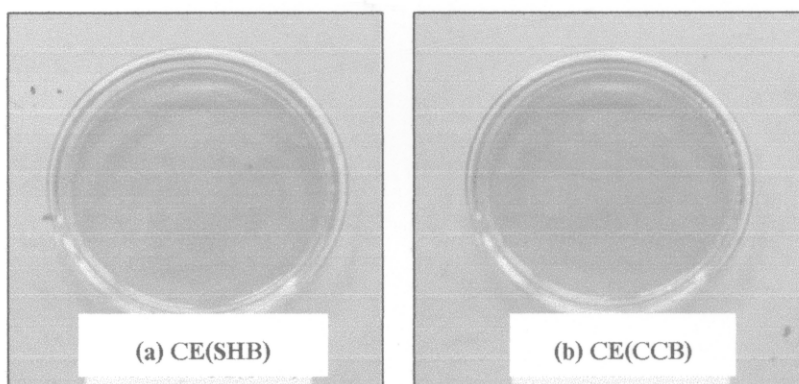
**หมายเหตุ** ทุกขั้นตอนดังกล่าวใช้วิธี Aseptic technique

ผลการทดสอบโดยวิธีเพาะเลี้ยงจุลินทรีย์พบว่า อาหารเพาะเลี้ยงเชื้อที่ไม่ได้ผ่านการกรองด้วยเชื้อเซลล์ูโลสมีการเจริญของแบคทีเรีย *Acetobacter xyliinum* TISTR No. 975 และเชื้อราที่มีลักษณะเส้นใยสีขาวสปอร์สีเขียว ดังรูปที่ 3.11 (a) และ (b)



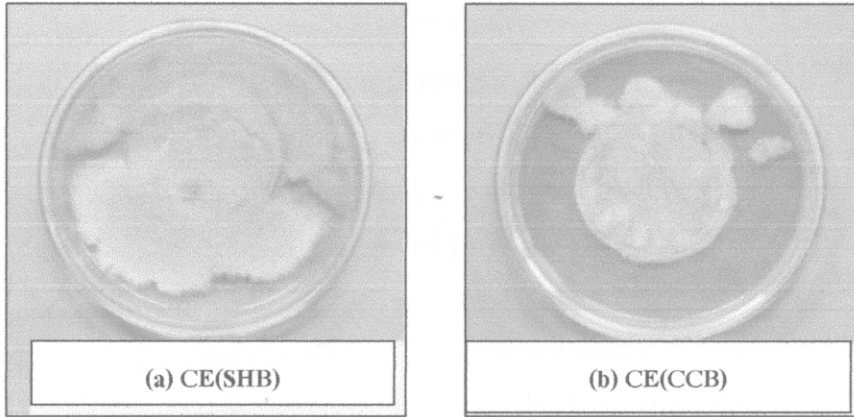
**รูปที่ 3.11** ผลการตรวจจุลินทรีย์ในอาหารเลี้ยงเชื้อที่ไม่ผ่านการกรองด้วยเชื้อกรองเซลลูโลส  
 (a) ลักษณะของโคโลนีของ *A. xylium* และลักษณะของโคโลนีของเชื้อรา(โคโลนีใหญ่สีขาว)  
 (b) ลักษณะของโคโลนีของเชื้อราในรูป (a) เมื่อนำมาเพาะเลี้ยงใหม่จนเจริญเต็มที่ (สร้างสปอร์สีเขียว)

ส่วนอาหารเพาะเลี้ยงที่ผ่านการกรองด้วยเชื้อกรองเซลลูโลส CE(SHB) และ CE(CCB) ไม่พบการเจริญของเชื้อจุลินทรีย์ใดๆ ดังรูปที่ 3.12 แสดงว่าเชื้อทั้งสองสามารถกรองเชื้อจุลินทรีย์ได้ 100%



**รูปที่ 3.12** ผลการตรวจจุลินทรีย์ในอาหารเลี้ยงเชื้อหลังจากผ่านการกรองด้วยเชื้อกรอง (a) C(SHB) และ (b) C(CCB)

นอกจากนี้ได้ทำการตรวจสอบจุลินทรีย์บนเชื้อกรองเซลลูโลสที่ถูกใช้กรองอาหารเชื้อแล้ว พบว่า มีการเจริญของเชื้อแบคทีเรีย *Acetobacter xylium* TISTR No. 975 และเชื้อรา ที่มีลักษณะเส้นใยสีขาวสปอร์สีเขียวดังแสดงในรูปที่ 3.13 ซึ่งเป็นไปในทำนองเดียวกับผลที่พบข้างต้น (ในรูปที่ 3.11) แสดงถึงความสอดคล้องกันระหว่างผลการทดสอบทั้งสองกรณี จึงสรุปได้ว่าเชื้อกรองเซลลูโลส CE(SHB) และ CE(CCB) ที่ผลิตจากงานวิจัยนี้สามารถกรองเชื้อแบคทีเรียและเชื้อราได้



รูปที่ 3.13 ผลการตรวจจุลินทรีย์บนแผ่นเชื้อกรองเซลล์ูโลสทั้งสองชนิดหลังการนำไปใช้กรองอาหารเชื้อ

## บทที่ 4 สรุปผลการทดลอง

### 4.1 วิธีการผลิตเซลล์โลสให้ปลอดเชื้อแบบกึ่งอัตโนมัติ

การกรองน้ำมะพร้าวที่ใช้เป็นส่วนผสมของสูตรอาหารเพาะเลี้ยงจุลินทรีย์ ด้วยระบบกรองแบบ MF นั้น แม้จะหลีกเลี่ยงการให้ความร้อนแก่สารอาหารก็ตาม แต่ระบบกรองจะต้องมีการดูแลให้ปลอดเชื้อด้วย มิฉะนั้น จะยังคงมีจุลินทรีย์ปนมากับสารอาหาร ทำให้การเพาะเลี้ยงเซลล์มีปัญหา ซึ่งส่งผลกระทบต่อความสม่ำเสมอของเชื้อเซลล์โลสในกระบวนการผลิต จึงแก้ไขโดยการต้มสารอาหารก่อนนำไปใช้ และอบฆ่าเชื้ออุปกรณ์ทุกชนิดก่อนทำการเพาะเลี้ยงจุลินทรีย์ หลังจากสารอาหารและเชื้อเย็นตัวลงแล้ว การปล่อยสารอาหารเข้าสู่ถาดเพาะเลี้ยงด้วยท่อซิลิโคน และไม่มีการสัมผัสกับระบบเพาะเลี้ยงอีกเลย จึงจะสามารถผลิตเซลล์โลสให้ได้ผลดีตามต้องการ ระบบนี้สามารถเพาะเลี้ยงเชื้อเซลล์โลสขนาด  $50 \times 100 \text{ cm}^2$  ได้

จากผลการวัดขนาดจุลินทรีย์ในน้ำมะพร้าว พบว่ามีขนาดโดยเฉลี่ยไม่เล็กกว่า 0.5 ไมครอน ส่วนเชื้อเซลล์โลสมีขนาดรูไม่เกิน 0.1 ไมครอน จึงเป็นเหตุผลอธิบายผลการกรองจุลินทรีย์ได้ 100% ในผลทดลองข้อ 3.14 (รูปที่ 3.12)

### 4.2 เปรียบเทียบผลผลิตจากสูตรอาหารที่ใช้เพาะเลี้ยงจุลินทรีย์

จากการศึกษาเปรียบเทียบมวลและความหนาของเซลล์โลสที่ผลิตจากสูตรอาหารมาตรฐานที่มีและไม่มีน้ำมะพร้าวเป็นส่วนประกอบ ในหัวข้อ 3.4 พบว่าน้ำมะพร้าวช่วยเร่งการผลิตเซลล์โลส กล่าวคือ ภายใน 3 วัน ให้มวลเซลล์โลสขนาด  $60 \times 120 \text{ cm}^2$  เพิ่มขึ้นจาก 9.4 กรัม เป็น 15.2 กรัม และมีความหนาขณะเปียกเพิ่มขึ้นจาก 1.28 mm เป็น 2.41 mm ดังนั้น เมื่อทำให้แห้ง เซลล์โลสที่ผลิตโดยมีน้ำมะพร้าวเป็นส่วนผสม CE(CCB) จะมีความแน่นของเส้นใยสูงกว่าจึงส่งผลให้ขนาดรูเล็กลง ทั้งนี้ใช้วิธีตรวจสอบด้วยการเปรียบเทียบสัมประสิทธิ์การนำน้ำ ในหัวข้อถัดไป

นอกจากนี้ เมื่อใช้เซลล์เพาะเลี้ยงที่ความหนาแน่น  $1 \times 10^6$  ต่อ ml พบว่าการเพิ่มปริมาณของสูตรอาหาร ไม่มีผลอย่างมีนัยสำคัญต่อมวลหรือความหนาของเซลล์โลสที่ผลิตได้ ส่วนผลการเหนี่ยวนำเซลล์ด้วยไฟฟ้าก่อนการเพาะเลี้ยง โดยใช้สูตรอาหารที่มีน้ำมะพร้าวเป็นส่วนประกอบ พบว่า การเหนี่ยวนำเซลล์นาน 7 นาที ที่แรงดันไฟฟ้า  $6 V_{pp}$  ให้ผลผลิตดีที่สุด แต่จากการทดลองนี้ปรากฏว่าไม่มีความแตกต่างอย่างมีนัยสำคัญเมื่อเทียบกับชุดควบคุมที่ไม่มีการเหนี่ยวนำด้วยไฟฟ้า จึงนำไปสู่การตัดสินใจว่าการศึกษาในขั้นตอนต่อจากนั้นจึงไม่ได้ใช้วิธีเหนี่ยวนำเซลล์ด้วยไฟฟ้าก่อนการเพาะเลี้ยง ความแตกต่างเกี่ยวกับการเหนี่ยวนำด้วยไฟฟ้าระหว่างผลจากงานวิจัยนี้กับงานวิจัยที่ผ่านมาของสาฟิตรี [9] และปริศนา [7] น่าจะเกิดจากสารอาหารที่ใช้ในงานวิจัยนี้แตกต่างกันนั่นเอง ซึ่งจะต้องทำการศึกษาหาเงื่อนไข การเหนี่ยวนำที่เหมาะสมต่อไป

### 4.3 เปรียบเทียบสัมประสิทธิ์การนำน้ำ

เนื่องจากเยื่อเซลล์โลส CE(CCB) ที่ผลิตโดยมีน้ำมะพร้าวเป็นส่วนประกอบ มีความหนามากกว่าเยื่อชนิด CE(SHB) ประมาณ 1.5 เท่า กล่าวคือ เยื่อ CE(CCB) มีความหนาเมื่อแห้งแล้วเท่ากับ 150 ไมครอน ขณะที่เยื่อชนิด CE(SHB) หนาเพียง 90 ไมครอน ด้วยเหตุนี้ น้ำเมื่อถูกดันผ่านเยื่อทั้ง 2 ชนิด จะพบว่า เยื่อ CE(CCB) ให้ฟลักซ์น้ำน้อยกว่า เนื่องจากความดันต่อระยะทาง ( $\Delta P / \Delta X$ ) มีค่าลดลง ผลการวัดฟลักซ์น้ำสำหรับเยื่อที่ผลิตโดยวิธีเหนียวนำด้วยไฟฟ้า มีผลในทำนองเดียวกัน ตารางที่ 3.9 แสดงค่าสัมประสิทธิ์การนำน้ำ ( $L_p$ ) ซึ่งคำนวณได้จากความชันของกราฟในรูปที่ 3.5 และ 3.6 พบว่าค่าที่ได้จัดไว้เป็นกลุ่มเยื่อกรองระดับอัลตรา เช่นเดียวกับที่ได้รายงานไว้แล้ว (Wanichapichart et al., 2003)

### 4.4 ความทนกรด - ด่าง ของเยื่อเซลล์โลส

การศึกษานี้ ได้แช่เยื่อทั้ง 2 ชนิดในกรด HCl pH 4 และ NaOH pH 10 ดังตารางที่ 3.10 ซึ่งทำให้เชื่อมั่นว่า การนำเยื่อบางนี้ไปใช้งานในสภาวะที่เป็นกรด หรือด่าง จะมีความเสถียร หรือไม่มีการเปลี่ยนแปลงสมบัติ เนื่องจากการสัมผัสกับสารละลายระดับ pH ต่างๆ ที่นำมากรอง แต่อย่างไรก็ตาม ใช้น้อยตลอดเวลาการใช้งานนานถึง 5 วัน

### 4.5 การนำไปใช้ประโยชน์

เพื่อทดสอบการทนความร้อนของเยื่อเซลล์โลสที่ผลิตได้ จึงได้ทดลองต้มเยื่อชนิด CE(CCB) และชนิด CE(SHB) ในน้ำเดือดนาน 1 ชั่วโมง พบว่าการต้มช่วยให้สารตกค้างต่างๆ ในเยื่อบางหลุดออกมาได้ เนื่องจากเมื่อทดสอบฟลักซ์น้ำ พบว่า เยื่อยอมให้น้ำผ่านได้ดีกว่าเดิม ดังผลในรูปที่ 3.8 และมีการปรับปรุงทำให้ค่า  $L_p$  ของเยื่อสูงขึ้นอย่างชัดเจน จนมีค่าใกล้เคียงกับเยื่อ SE(SHB) การปรับปรุงนี้เห็นได้ชัดเจนกว่าในเยื่อ CE(CCB) แสดงว่า น้ำมะพร้าวที่ใช้อาจทำให้เกิดสารตกค้างเกาะบริเวณผิวของเส้นใยทั้งจากส่วนที่ผลิตออกจากเซลล์จุลินทรีย์และไขมันที่ปนอยู่ในน้ำมะพร้าว จึงสรุปว่าการผลิตเยื่อเซลล์โลสชนิดที่ใช้น้ำมะพร้าว ควรนำไปต้มน้ำก่อนนำไปใช้งาน

จากการทดสอบเยื่อกรองด้วยน้ำทิ้งจากโรงพยาบาลสงขลานครินทร์ น้ำทิ้งจากโรงงานยางพารา พบว่า หลังการกรองด้วยเยื่อกรองเซลล์โลส คุณภาพน้ำดีขึ้นระดับหนึ่ง กล่าวคือเยื่อกรองมีประสิทธิภาพในการกักกันและทำให้คุณภาพน้ำทั้งทางกายภาพ (สี) และทางเคมี เช่น ของแข็งแขวนลอย (SS) ของแข็ง และค่าความสกปรกของสารอินทรีย์ในรูป COD มีประสิทธิภาพในการกักกันร้อยละ 80-90 และ 46-70 ตามลำดับ จึงสรุปได้ว่าเมมเบรนชนิดนี้สามารถกักกันสารแขวนลอยทั้งอินทรีย์ อนินทรีย์ และอนุภาคของสีได้ระดับดีถึงดีมาก การที่เยื่อกรองสามารถกักกันสีและ COD ในน้ำเสียของโรงงานยางได้ดีกว่า เนื่องจากในน้ำเสียมีสารแขวนลอยสูงและเป็นเนื้อยาง ซึ่งสามารถแยกออกได้ด้วยเมมเบรนได้ดี จึงส่งผลให้เยื่อกรองสามารถกักกันได้ผลดีอย่างชัดเจน นอกจากนี้ยังพบว่า เยื่อกรองที่ผลิตได้นี้สามารถกรองจุลินทรีย์ได้ 100% เมื่อกรองน้ำที่มีสนิมเหล็กปนเปื้อนเกินมาตรฐานคุณภาพน้ำดื่ม พบว่าสามารถกรองได้ 100% เช่นกัน

#### 4.6 การปรับปรุงผิวเซลลูโลสด้วยเทคนิคพลาสมา

ได้ทดลองปรับปรุงผิววัสดุด้วยการอาบพลาสมาของก๊าซออกซิเจนที่เงื่อนไขพลังงาน ความดันของระบบ และเวลาที่อาบพลาสมา พบข้อมูลที่น่าสนใจ กล่าวคือ เกิดการลดความชอบน้ำ หรือเสริมให้เยื่อชอบน้ำมากขึ้น หากเลือกเงื่อนไขที่เหมาะสม นอกจากนี้เกิดการปรับเปลี่ยนหมู่ฟังก์ชันระดับโมเลกุลที่ผิวของเซลลูโลส ซึ่งได้นำเสนอในการประชุมวิชาการระดับนานาชาติ SMMIB2009 (Surface Modifications of Materials by Ion Beams) ที่นครโตเกียว ประเทศญี่ปุ่น ระหว่างวันที่ 13-18 กันยายน 2552 และเตรียมต้นฉบับเพื่อตีพิมพ์ดังกล่าวในภาคผนวก ก

#### 4.7 การจัดอบรม

ดูรายละเอียดในภาคผนวก ข

## เอกสารอ้างอิง

- [1] พิกุล วณิชากิจชาติ และวิริยะ ดวงสุวรรณ (2003) การสร้างอุปกรณ์ต้นแบบในการกรองน้ำกร่อยโดยใช้เมมเบรน รายงานวิจัย มหาวิทยาลัยสงขลานครินทร์
- [2] พิกุล วณิชากิจชาติ พรทิพย์ ศรีแดง อภิรดี แซ่ลิ้ม และ โสโทะ โอกินาวา (2005) รายงานวิจัยเรื่อง การจัดการระบบน้ำเพื่อลดปัญหาจากการปนเปื้อนสารหนู รายงานวิจัย สวรส. ภาคใต้.
- [3] Wanichapichart P., Kaewnoparat S., Phud-hai W., and Buaking K.(2003) Characteristic of Filtration Membranes Produced by *Acetobacter xylinum*. Songklanakarin J. Sci. Technol. Vol. 24 (Suppl.) 2002: 855-862.
- [4] Wanichapichart P., Kaewnopparat S., and Nawae S., and Rakbamrung P. (2005) Characteristic of Cellulose Membranes Produced by Pretreated *Acetobacter xylinum*. The 3<sup>rd</sup> Regional Symposium on Membrane Science and Technology. 24-26 April, Bandung, Indonesia.
- [5] Howell J.A., Sanchez V., and Field R.W. (1993) Membranes in Bioprocessing: Theory and Applications, Chapman & Hall, London. P. 35-41.
- [6] ดวงพร คันธโชติ. 2545. นิเวศวิทยาของจุลินทรีย์. สำนักพิมพ์โอเดียนสโตร์, กรุงเทพมหานคร.
- [7] ปริศนา รักบำรุง, 2550. คุณลักษณะของเยื่อประกอบที่เตรียมจากเซลล์โลสที่ผลิตจากแบคทีเรีย *ไลโตซาน* เพื่อกรองระดับอัตราและนาโน. วิทยานิพนธ์วิทยาศาสตรมหาบัณฑิต สาขาวิชาฟิสิกส์, มหาวิทยาลัยสงขลานครินทร์.
- [8] ธนุสรุา เหล่าเจริญสุข. 2545. คู่มือปฏิบัติการจุลชีววิทยา. แผนกชีววิทยา ภาควิชาวิทยาศาสตร์ คณะวิทยาศาสตร์และเทคโนโลยี, มหาวิทยาลัยสงขลานครินทร์.
- [9] สาทิตรี นาวา. 2548. ผลของพีเอชและสนามไฟฟ้าต่อการผลิตเยื่อเซลล์ *Acetobacter xylinum* TISTR 975. วิทยานิพนธ์วิทยาศาสตรมหาบัณฑิต สาขาวิชาฟิสิกส์ มหาวิทยาลัยสงขลานครินทร์.
- [10] วรณา ชูฤทธิ์, สุกัญญา จันทะชุม, นัยทัศน์ ภู่อริณย์ และ อรัญ หันพงศ์กิตติกุล. 2539. คู่มือปฏิบัติการจุลินทรีย์ของผลิตภัณฑ์เกษตร 2. ภาควิชาเทคโนโลยีชีวภาพอุตสาหกรรม คณะอุตสาหกรรมเกษตร, มหาวิทยาลัยสงขลานครินทร์.
- [11] Casimiro M.H., Leal J.P. and Gil M.H. 2005. Characterisation of gamma irradiated chitosan/pHEMA membrane for biomedical purposes. Nuclear Instruments and Method in Physics Research B 236 : 482-487
- [12] [http://www.fisheryhouse.com/home/index.php?option=com\\_content&task=view&id=23&Itemid=41](http://www.fisheryhouse.com/home/index.php?option=com_content&task=view&id=23&Itemid=41)
- [13] [http://www.tistr.or.th/t/publication/page\\_area\\_show\\_bc.asp?i1=81&i2=5](http://www.tistr.or.th/t/publication/page_area_show_bc.asp?i1=81&i2=5)
- [14] <http://www.school.net.th/library/webcontest2003/100team/dlms132/page03.html>
- [15] <http://science.kmutt.ac.th/class/mic291/mic291lab7.doc>

ภาคผนวก ก



ผลงานวิจัยที่นำเสนอ

ในที่ประชุมวิชาการระดับนานาชาติ

นครโตเกียว ประเทศญี่ปุ่น

วันที่ 13-18 กันยายน 2552

## Modification of Cellulose Membrane by Oxygen Plasma

P. Wanichapichart<sup>a,d</sup>, W. Taweepreeda<sup>b</sup>, S. Sirijarukul<sup>a</sup>, and B. Paosawatyanong<sup>c,d</sup>

<sup>a</sup>Membrane Science and Technology Research Center, Department of Physics, Faculty of Science, Prince of Songkla University, Kanjanavanich Road, Hat-Yai, Songkhla, Thailand 90110

<sup>b</sup>Membrane Science and Technology Research Center, Polymer Science Program, Faculty of Science, Prince of Songkla University, Kanjanavanich Road, Hat-Yai, Songkhla, Thailand 90110

<sup>c</sup>Department of Physics, Faculty of Science, Chulalongkorn University, Payathai Road, Bangkok, Thailand 10330

<sup>d</sup>ThEP Center, CHE, 328 Si Ayutthaya Rd., Bangkok 10400, Thailand

Corresponding e-mail address: [pikul.v@psu.ac.th](mailto:pikul.v@psu.ac.th), Phone: 66+74 288749, Fax: 66+74 212817

### Abstract

Bacterial cellulose was produced from *A. xylinum* using two culture media for a comparison, and dried to form a thin membrane with hydrophilic property. Plasma treatments of the membranes produced with coconut juice supplement were conducted under the variation of pressure, exposure time, and net power dissipation from the RF source using oxygen gas. Water flux of the membrane was reduced to the same magnitude in all cases after the treatments, regardless of changes in its surface contact angle. ATR-FTIR results showed some changes in functional groups of this bio-polymer. The peak at  $713\text{cm}^{-1}$  for O-H out-of-plane bend increased remarkably. A broader peak at  $3340\text{cm}^{-1}$  indicated the higher number of water molecules surrounding the membrane. This corresponded with the change in more hydrophilicity of the membrane and the surface contact angle. An AFM image exhibited larger microfibril aggregates after the plasma treatment.

**Keywords:** Cellulose, *Acetobacter xylinum*, Water flux, Oxygen plasma, FT-IR, AFM

## Introduction

Cellulose is the most abundant biopolymer on Earth. Sources of cellulose come directly from wood pulp or are generated by several bacteria as nano-fibers crossing cell membrane to form micro-ribbons. The quality of cellulose depends on the degree of crystallinity which was governed by cell types, carbon sources and growth conditions [1-3]. The structure with strong hydrogen bonds prevents it from being easily dissolved in a normal solution, hence, several investigations were reported towards work in gas separation and wastewater treatment. [4-6]. Its biodegradable and biocompatible properties provide possibilities to apply it directly in medical purposes [7,8]. However, regenerated cellulose was utilized in case of wastewater treatment to avoid deterioration caused by bacteria.

Ion beam and plasma modifications have been known for the improvement of material surface properties such as hydrophilicity, morphology, functional groups, ionic strength, and biocompatibility. Examples of the improved properties reported were antifouling of protein in microfiltration polypropylene membrane after  $\text{NH}_3$  plasma treatment, increasing hydrophilic surface of polysulfone membranes to reduce protein fouling after  $\text{CO}_2$  plasma treatment, an increase in anionic/cationic permeability ratio across dense chitosan membranes after N-ion beam and argon plasma treatments with the finding of anti-fungi property [9-13]. Utilization of  $\text{O}_2$  plasma for modification of polyacrylonitrile membrane, cellulose acetate membrane and regenerated cellulose membrane have been reported for water flux enhancement, protein enrichment and water-ethanol separation improvement, respectively [14-16]. These improved properties by plasma treatment have become increasingly attractive, since chemical usage can be reduced during manufacturing processes.

Modifications of biopolymers, such as chitosan and cellulose, for filtration purpose in this laboratory have been reported [11-13, 17-19]. Previously, bacterial cellulose membranes produced by *A. xylinum* for 3 days possessed pore size of  $0.01 \mu\text{m}$ , determining by using molecular weight cut off method. This porous membrane was used for modeling plant cell envelope to explain the effect of beam bombardment in living systems, and also used as a base membrane for chitosan coating in salt filtration studies. The chitosan/cellulose composite membrane [19] performed 80%  $\text{MgSO}_4$  rejection. Nevertheless, only dense chitosan membrane was proved to exhibit antifungal property after  $\text{N}^+$  and  $\text{Ar}^+$  beam treatments. Also, chain strengthening and scissoring effect were reported in terms of a decrease and increase in water flux, respectively. In fact, bacterial cellulose and chitosan possesses the same back bone structure, except aldehyde group replacing hydroxyl group. As being biocompatible, it has been utilized extensively in wound dressing work. However, plasma treatment on bacterial cellulose has not been reported before. It is, therefore, of interest to explore possibility to treat bacterial cellulose with  $\text{O}_2$  plasma. Preliminary tests such as water contact angle, water flux, Scanning Electron Microscopy, Atomic Force Microscopy, and Fourier Transform Infrared Spectroscopy were reported.

## Experimental

Cellulose membranes were produced by *A. xylinum* (TISTR No.975) at  $1 \times 10^6$  cells/cm<sup>2</sup> density in a standard solution at pH 4, with and without coconut juice supplement. The mass and the thickness of these membranes were recorded after 3 days culturing, then the membranes were dried at  $32 \pm 3^\circ \text{C}$  for 4 days and kept in a dust free container. The coconut-juice supplemented membrane was designated as CCB membrane, and the other was designated as SHB membrane. After comparing cellulose produced from the two media (Table 1), the CCB membrane was chosen for further experimentation. Several pieces of  $5 \times 5 \text{ cm}^2$  membranes were cut and treated with inductively coupled RF  $\text{O}_2$  plasma. Gas pressure for  $\text{O}_2$  input was 0.1 and 1.0 torr, under 200 and 300W operating condition. Membrane exposure times were chosen at 60 and 180s for this investigation. Methods for water flux measurement were described in details before [18]. Contact angle measurement, SEM micrographs, and FT-IR analysis were obtained using the same methods as described elsewhere [12-13]. The structure of cellulose membranes was studied using AFM (Nanosurf® easyScan 2). AFM pictures were taken with the use of non-contact module (tapping mode), at room temperature. The cantilever used was the silica, N-type, 0.01-0.025 ohm/cm.

## Plasma Reactor

In order to avoid contamination from metal electrodes in the plasma system to the cellulose membranes during the plasma treatment, two possible type of plasma reactors have been utilized, which were the Microwave Resonance Cavity Plasma (MRCP) and the RF Inductively Coupled Plasma (RFICP) reactors. However, earlier study showed that the density of charged species in RF plasma could be considerably larger than in a microwave one. Also RF reactor was found to provide radial uniformity for wider ranges of operation parameters than the microwave counterpart [20]. Therefore, a planar coil RFICP reactor was set up for the treatment of cellulose membranes in this study. Fig. 1 shows a schematic diagram of the reactor. Basically, the system consists of a vacuum chamber, an RF generator, an impedance matching network, and the gas and pressure handling peripherals detail of which has been given elsewhere [21-22]. In this work, the plasma was generated by applying RF power from a 13.56-MHz generator (Dressler Cesar-1310) through a matching network to a planar-shape coil antenna. A quartz window was placed on the top of the vacuum chamber to allow the visual inspection inside the reactor and maintain the vacuum while still allow the RF power to couple into the gases inside.

## Results

The mass and the thickness of bacterial cellulose produced from the two growth media were compared in Table 1. The coconut juice supplemented CCB membrane possesses greater wet mass and after being dried the membrane thickness was about 150  $\mu\text{m}$ . It should be noted that coconut juice supplement for CCB membrane production contained a trace of fat and a considerable amount of sugar of 0.04% and 0.50% Brix, respectively. Besides these differences, some hormones and enzymes content in coconut juice would enhance the pellicle production. After the plasma treatments, Table 2a shows that water contact angle of the membrane is clearly creased from 35° to 50° degree under 200W and 0.1 torr condition. However, upon the increased power of 300W and 1.0 torr condition, the water contact angle slightly increased if the 60s exposure time was selected. The reduced water fluxes by 30% of the control membrane after the treatment are shown in Figure 2a and 2b, indicating a decrease in membrane effective pore area. Interestingly, this reduction was the same in all cases, regardless of the treatment conditions used. In other words, the result suggests that the increased contact angle up to 50° degree has no effect on water permeation. As a consequence, water permeability of these membranes deduced from the slope of graphs is the same as shown in Table 2b.

The surface morphology of plasma treated membranes is shown in (Figure 3 a-e). As is seen, aggregations of cellulose threads appear at 0.1 torr 200 W operating condition. The pore sealant at the membrane surface is obvious after 1.0 torr operating pressure was used. With 300 W, cellulose aggregation is increased, creating some depth between the aggregates. This is more pronounced at 180s exposure time. Apparently, one would expect some differences in the water permeability among these membranes after the treatments. The disagreement might be due to large applied pressures used in water flux measurements, compared to the treatment depth (see Figure 5), and they might overcome the blockage at the modified surface.

More details of polymer functional groups were studied using FTIR analysis. Figure 4a shows the major characteristic peaks of cellulose membrane at 3340  $\text{cm}^{-1}$  (O-H stretch), 2894  $\text{cm}^{-1}$  (C-H stretch), 1641  $\text{cm}^{-1}$  (C=O stretch of carbonyl group), 1360  $\text{cm}^{-1}$  (C-H stretch of methyl group), 1160  $\text{cm}^{-1}$  (bridge O stretch), and at 1050  $\text{cm}^{-1}$  (C-O stretch). After the plasma treatment at 1.0 torr, the peak at 713  $\text{cm}^{-1}$  (O-H out-of-plane bend) was increased remarkably as shown in figure 4b. The broader peak at 3340  $\text{cm}^{-1}$  (hydroxyl group, H-bonded OH stretch) in figure 4c is broaden, indicating the higher number of water molecules surrounding the membrane [23]. Moreover, under changing the operating pressure from 0.1 to 1 torr the peak at 1733  $\text{cm}^{-1}$  (aldehyde group) of the treated membrane occurs due to the degradation [24]. AFM images in Figure 5a and 5b illustrate the structure of whiskers cellulose transformed to larger microfibril bundles after the plasma treatment. The groves created by the treatment were enlarged, explaining the finding of cellulose aggregation by the above SEM micrographs. These suggest that the polarity of the cellulose is increased, showing the potential to produce the cellulose with higher strength and stiffness for high-performance applications because of the modified microfibril bundles.

## Discussion

The details from water flux measurement and the SEM micrographs suggested that O<sub>2</sub> plasma somehow reduced pore size of the membrane surface and hence it would be able to select smaller molecules for separation process. As done before [19] by filtering known molecular weight of Poly(ethelene) glycol (PEG) ranging from 4,000 – 20,000 Da, the rejection reached 90% value at 12,000 Da for CCB control membrane and became less than 2,000 Da for the 1.0 torr plasma treated one, confirming that the treated membranes were ultrafiltration membrane type, which might be suitable for protein filtration. In polypropylene microfiltration and polysulfone ultrafiltration membranes [9,10], a decrease in adsorption ability was reported after plasma treatment, which lead to a reduction of protein fouling. In this study, the aldehyde group would introduce more positive charges to the membrane surface after modification. This would certainly affect protein adhesion, which depends greatly on the pH level used. For flux improvement, it was found in a later experiment that the control membrane could be increased in water permeability from  $9 \times 10^{-12}$  to  $16 \times 10^{-12} \text{ m}^3 \text{N}^{-1} \text{s}^{-1}$  after being boiled for 1 h prior to filtration.

It should be pointed out that after O<sub>2</sub> plasma treatment the grove depth was increased from 100 nm to about 220 nm from the top surface. As far as the morphology (Figure 3 and Figure 5) and functional groups (Figure 4) are concerned, the treated membrane might also be best for being an anchorage of biomaterials or some living organisms. In a later experiment, it was found that the CCB membrane could totally reject *A. xylinum* and the plasma treated membranes would be better for filtering nano-scale molecules. It is certain that the treated CCB membrane would not be as good as the bacterial cellulose producing around 60-300  $\mu\text{m}$  diameter pins, as reported by Rambo et al. [7], in term of oxygen permeation for tissue engineering task. However, smaller pores sizes ranging from 10-100  $\mu\text{m}$  were required in their case for promoting cell selectivity during cell culture.

## Conclusions

Surface modification of cellulose membranes occurred after O<sub>2</sub> plasma treatment, leading to a decrease in membrane effective pore area and water flux. Under 200 W 0.1 torr conditions, the membrane was increased in O-H group and slightly increased in water contact angle without affecting water permeation under applied pressures. It was explained as due to only a few hundreds nanometer of the surface was modified. Further effect was found in aldehyde group, which related to enhancing membrane positive charges.

## References

1. A. Kurosumi, C. Sasaki, Y. Yamashita, Y. Nakamura, *Carbohydrate Polymers*, 76 (2009) 333
2. M. Ishihara, M. Matsunaga, N. Hayashi, V. Tisler, *Enzyme Microb Technol.*, 31 (2002) 986
3. S.O. Bae and M. Shoda, *Appl Microbiol Biotechnol*, 67 (2005) 45
4. J. Wu and Q. Yuan, *J. membr. Sci.*, 204 (2002) 185
5. B.R. Evans, H.M. O'Neill, V.P. Malyvanh, I. Lee, and J. Woodward, *Biosensors and Bioelectronics*, 18(2003) 917
6. X. Yang, Y.M. Cao, R. Wang, Q. Yuan, *J. Membr. Sci.*, 305 (2007) 247
7. C.R. Rambo, D.O.S. Recouvreux, C.A. Carminatti, A.K. Pitlovanciv, R.V. Antonio, and L.M. Porto, *Material Science and Engineering C*, 28 (2008) 549
8. W.K. Czaja, D.J. Young, M. Kawecki, and R. M. Brown, Jr., *Biomacromolecules*, 8(1) (2007) 1
9. M.G. Yan, L.Q. Liu, Z.Q. Tang, L. Huang, W. Li, J. Zhou, J.S. Gu, X.W. Wei, H.T. Yu, *Chemical Engineering J.*, 145 (2008) 218
10. D.S. Wavhal and E.R. Fisher, *Desalination*, 172 (2005) 189
11. P. Wanichapichart, L.D. Yu, *Surf. Coat. Technol.*, 201 (2007) 8165
12. P. Wanichapichart, R. Sungkum, W. Taweepreda, and M. Nisoa, *Surf. Coat. Technol.*, 203 (2009) 2531
13. P. Wanichapichart, W. Taweepreda, P. Choomgan, and L.D. Yu, *Radiat. Phys. Chem.*, (2009) doi: 10.1016/j. radphyschem.2009.08.040 (In Press).
14. T.D. Tran, S. Mori, and M. Suzuki, *Thin Solid Films*, 515 (2007) 4148
15. S.P. Kusumocahyo, T. Kanamori, T. Iwatsubo, K. Sumaru, and T. Shinbo, *J. Membr. Sci.*, 208 (2002) 223
16. C. Kim, C. Ryu, B.W. Kim, S.J. Sim, and H. Chae, *J. of the Korean Physical Society*, 51 (3) (2007) 993
17. K. Prakrajang, P. Wanichapichart, S. Anuntalabhochai, S. Pitakrattananukool, L.D. Yu, *NIM B*, 267 (2009) 1649
18. P. Wanichapichart, S. Kaewnoparat, W. Phud-hai, K. Buaking, *Songklanakarin J. Sci. Technol.*, 24 (2003) 855
19. P. Rakbumrong, P. Wanichapichart, Y. Tirawanichkul, *J. Applied Membrane Science*, 4 (2006), 43
20. S. N. Averkin, A.P. Ershov, A.A. Orlikovsky, K.V. Rudenko, and Y.N. Sukhanov, *Rus. Microelect.*, 32 (2003) 292
21. B. Paosawatyanong, *J. Sci. Res. Chula.*, 29 (2) (2004), 198
22. B. Paosawatyanong, T. Supasai, V. Pavaraiarn, and S.K. Hodak, *Inter Polym. Process.* 23 (2) (2008) 135
23. P. Schmidt, J. Dybal, and M. Trchová, *Vibrational Spectroscopy*. 42 (2006) 278
24. J. Coates, *Interpretation of Infrared Spectra in Encyclopedia of Analytical Chemistry* John 5-10837, Wiley & Sons Ltd, Chichester, 2000, p. 108

## Acknowledgement

This work is partially support by National Nanotechnology Center (NANOTEC), NSTDA, Ministry of Science and Technology, Thailand, through its Center of Excellence network. The authors wish to thank Membrane Science and Technology research center and Department of Physics for technical support.

**Table 1** Comparing cellulose pellicles produced from a medium with (CCB membrane) and without (SHB membrane) coconut juice supplement.

Membrane Type	Mass		Thickness	
	Wet (g)	Dried (g)	Wet (mm)	Dried (mm)
SHB	9.34 ± 0.08	0.06 ± 0.01	1.28 ± 0.02	0.09 ± 0.01
CCB	15.17 ± 0.32	0.12 ± 0.01	2.41 ± 0.05	0.15 ± 0.03

**Table 2** The effect of plasma treatments on water contact angle (a) and hydraulic permeability (b) of CCB membranes.

Plasma treatment	(a)	(b)
	Contact angle (degree)	$L_p(m^3N^{-1}s^{-1})$
Control CCB	35	$8.6 \times 10^{-12}$
200W, 180s:		
0.1torr	50	$3.0 \times 10^{-12}$
1.0torr	26	$3.1 \times 10^{-12}$
300W, 1.0Torr:		
60s	39	$3.2 \times 10^{-12}$
180s	26	$3.2 \times 10^{-12}$

**Figure captions**

- Figure 1 Schematic diagram of the RFICP reactor
- Figure 2 Comparing the effect of O<sub>2</sub> plasma on water flux under different conditions  
(a) Change in reactor pressure but kept 200W and 180s exposure time constant  
(b) Change in exposure time but kept 300W and 1.0torr reactor pressure constant
- Figure 3 SEM micrographs of treated membranes (b-e) compared to the control one (a)
- Figure 4 ATR-FTIR spectra of cellulose membrane  
(a) Control  
(b) 200W, 0.1torr treatment  
(c) 300W, 1.0torr treatment.
- Figure 5 AFM images of control cellulose membrane (a) and O<sub>2</sub> plasma treatment (b)



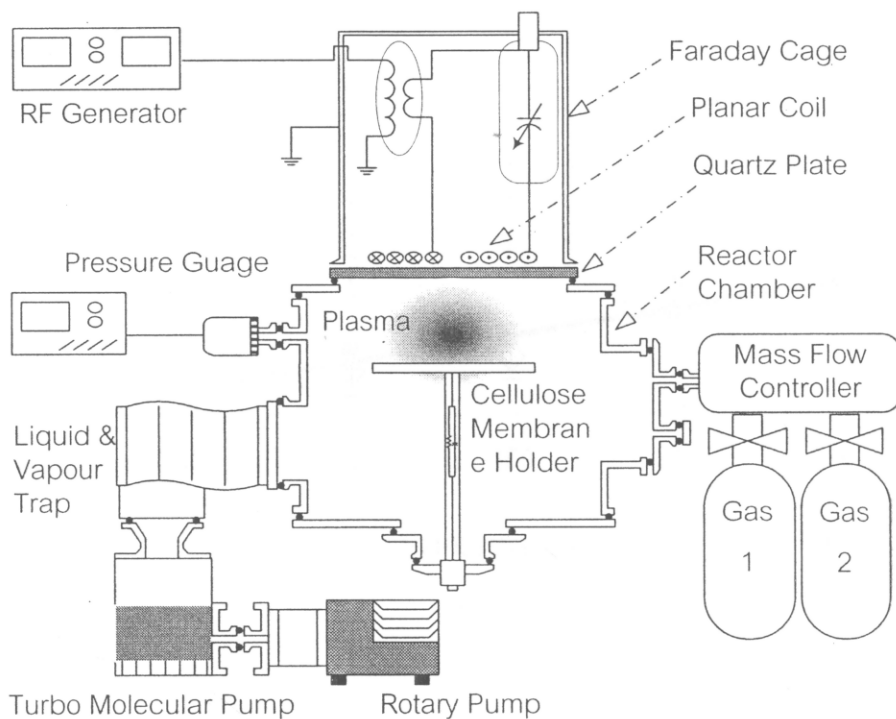


figure 1

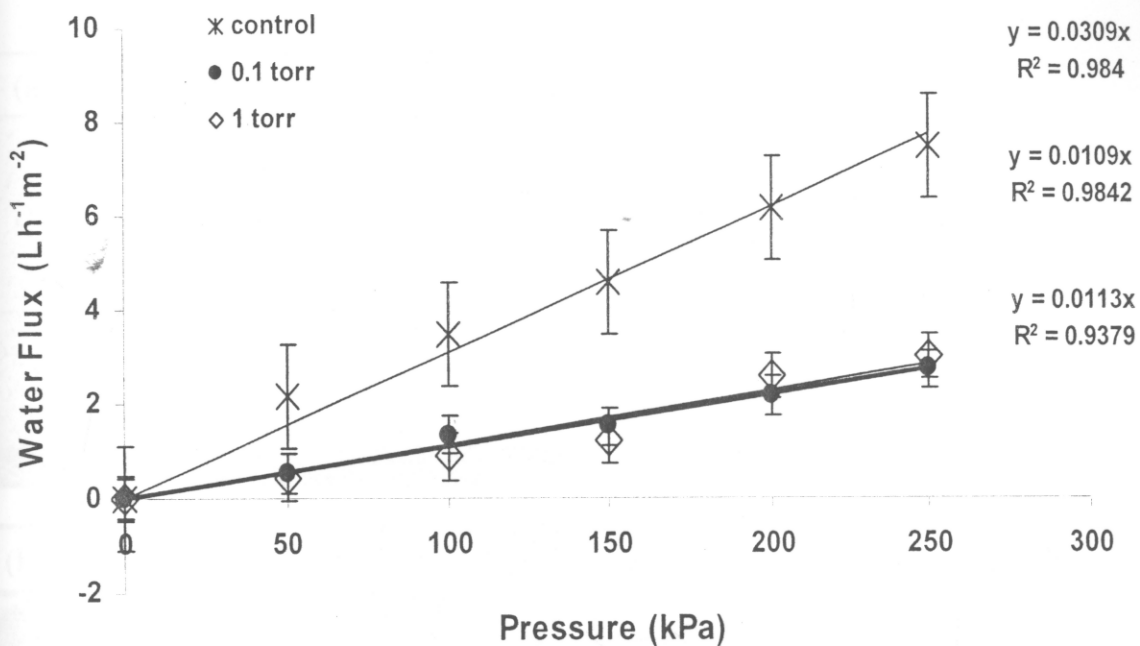


figure 2a

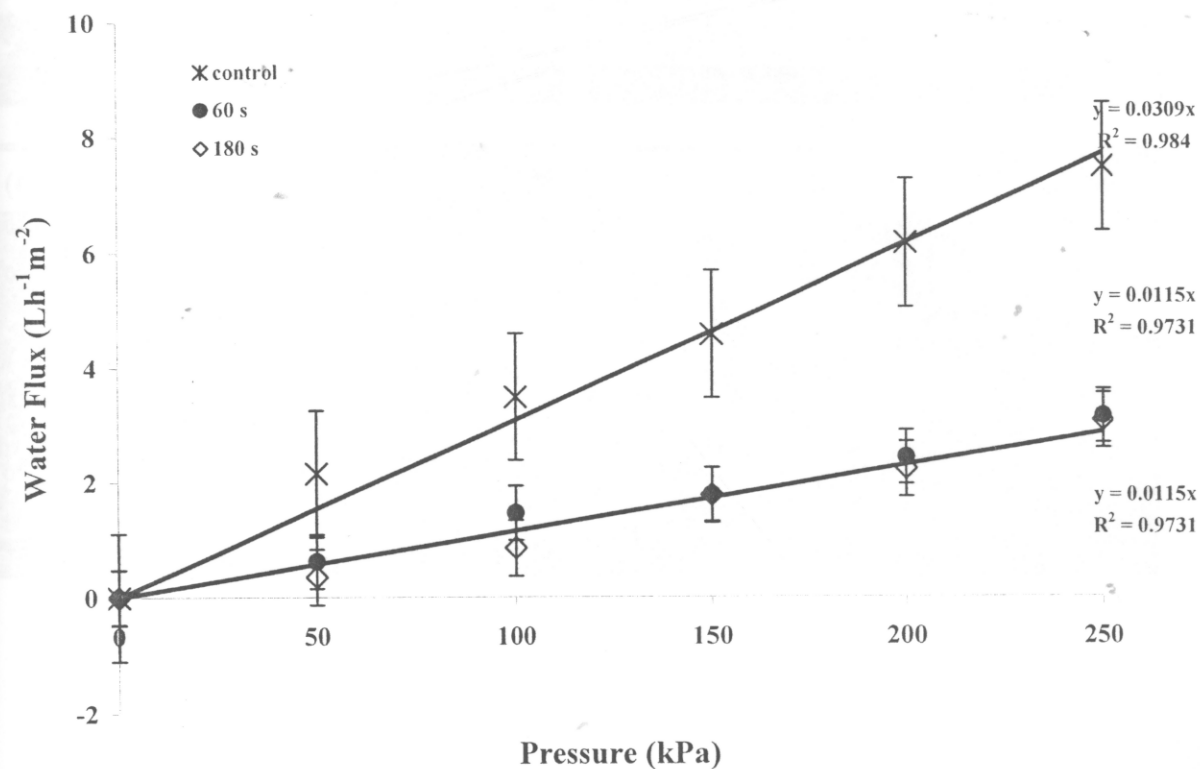


figure 2b

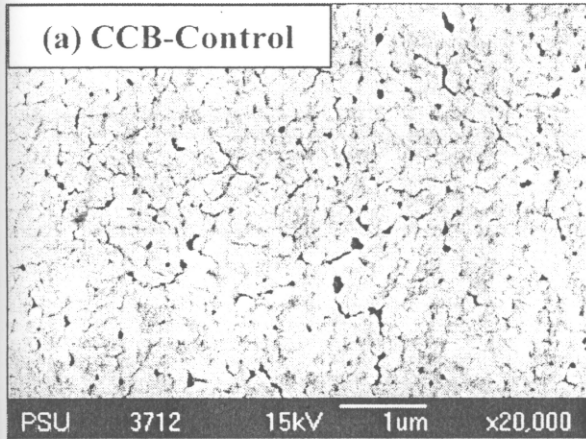
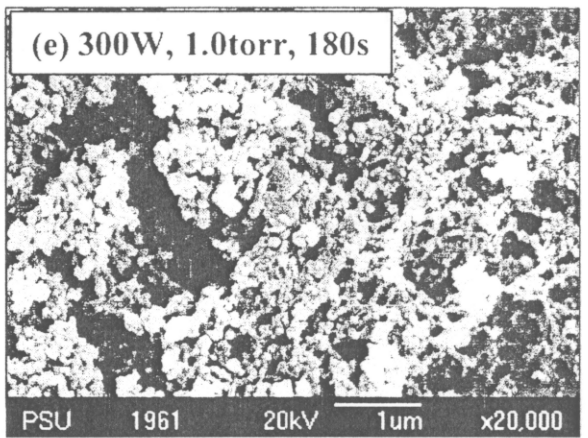
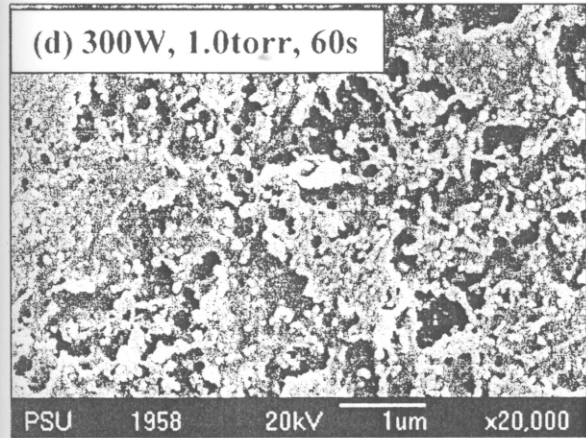
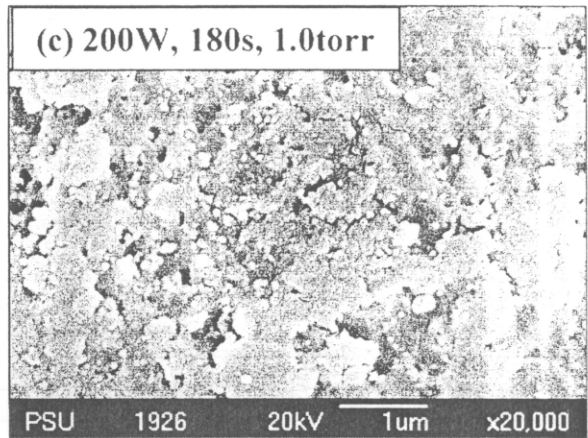
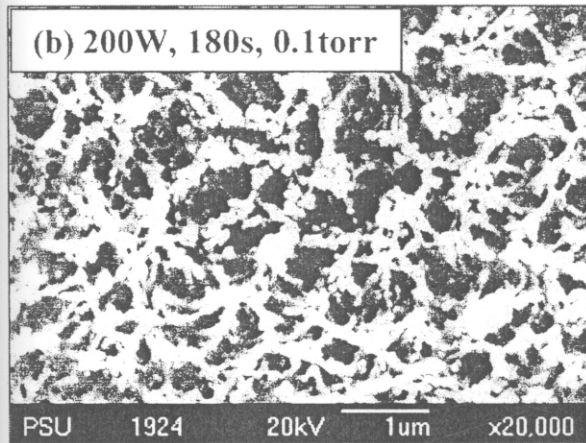
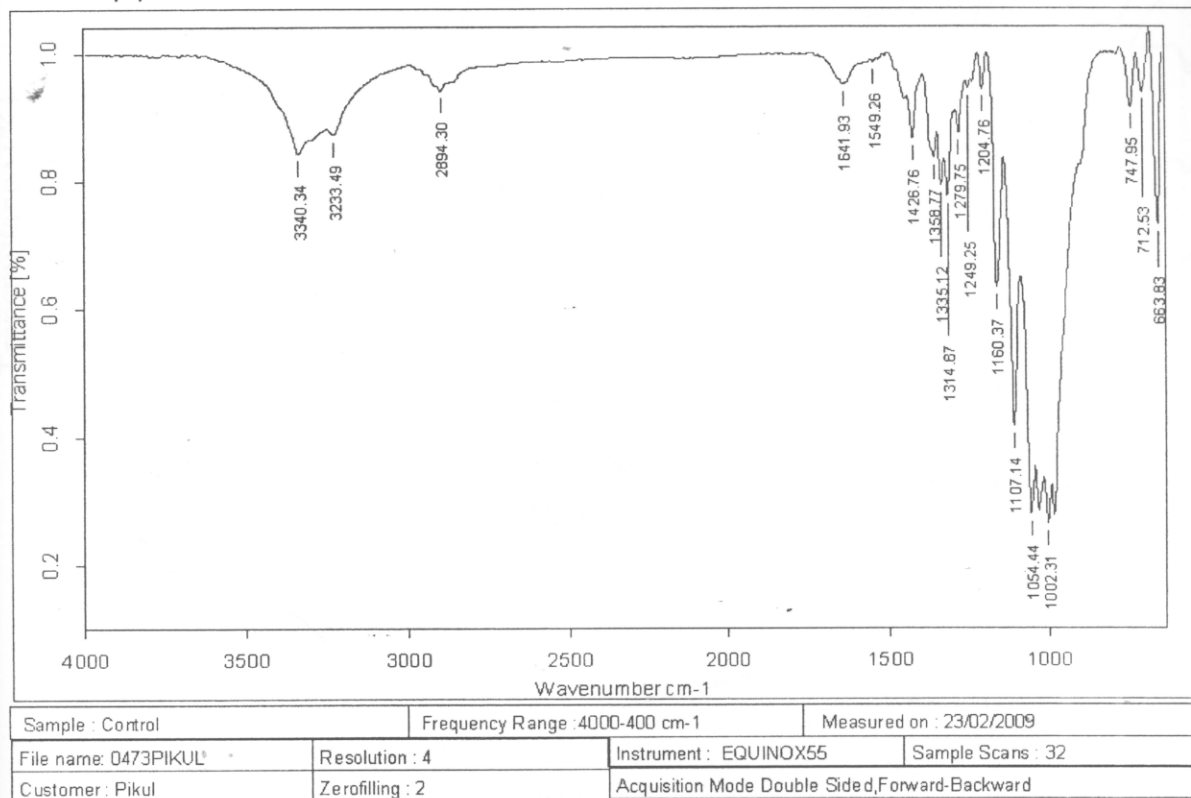


figure 3



Scientific Equipment Center , PSU.



FT-IR Spectroscopy

figure 4a

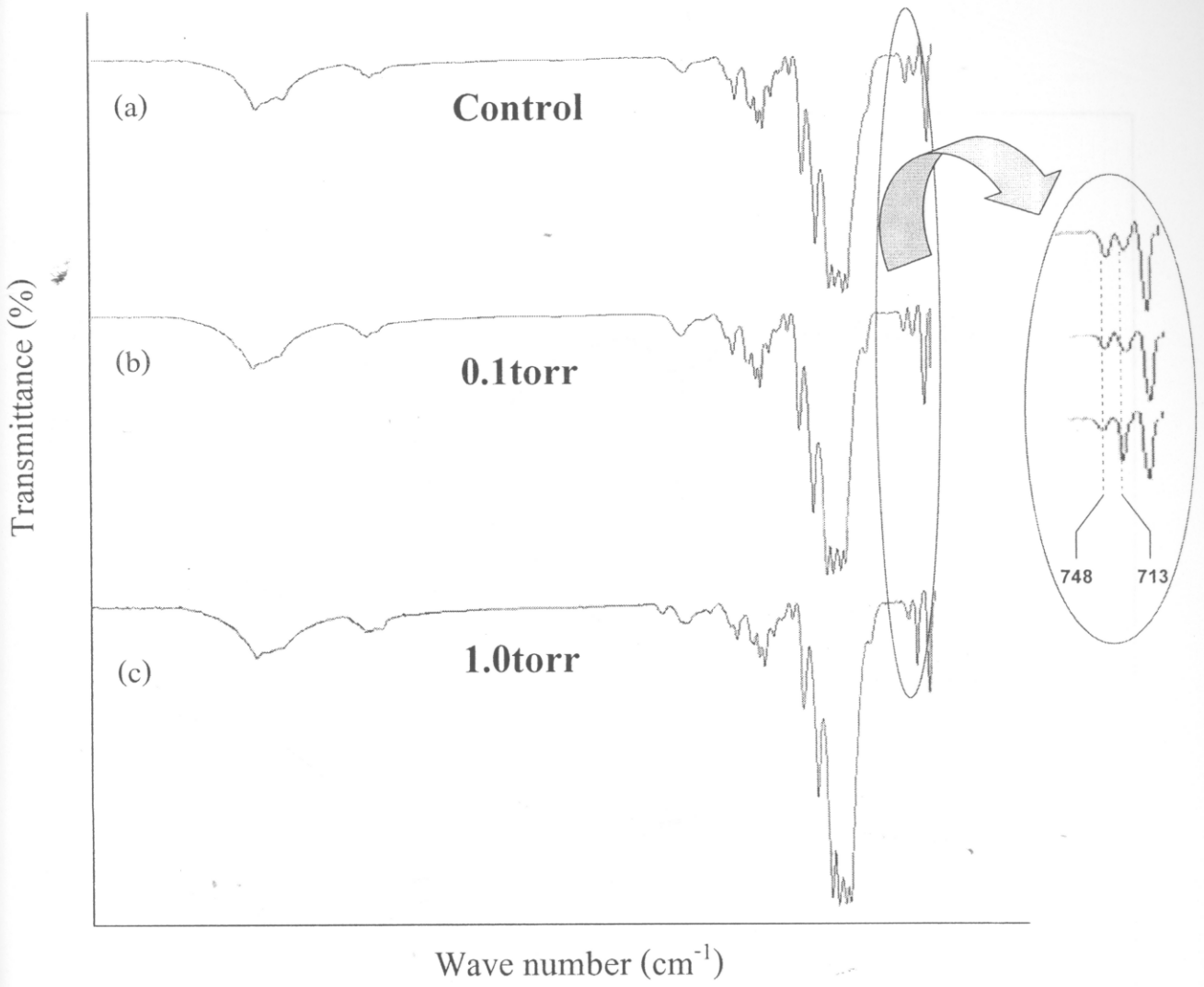


figure 4b

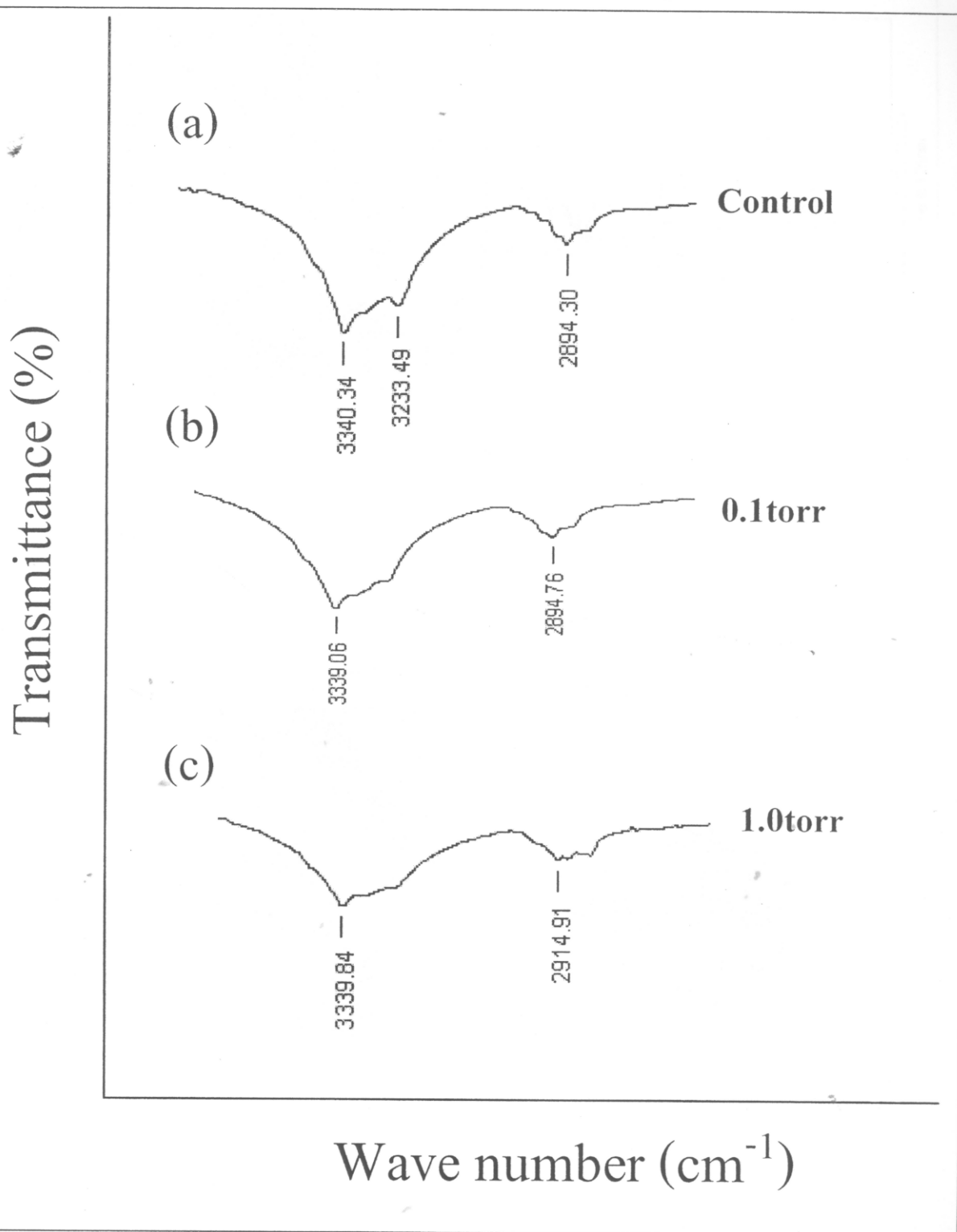


Figure 4c

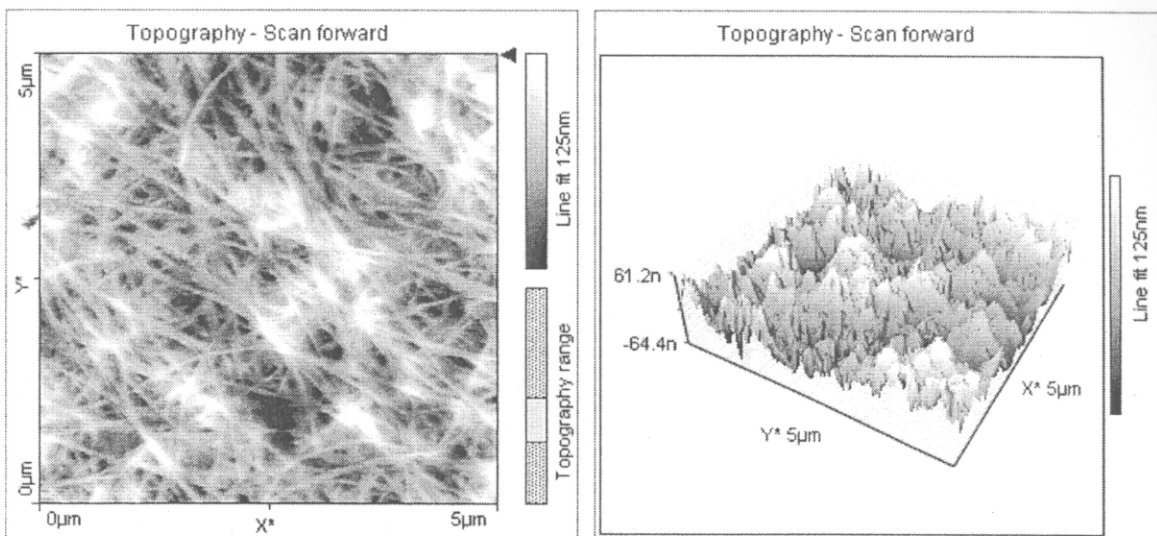


figure 5a

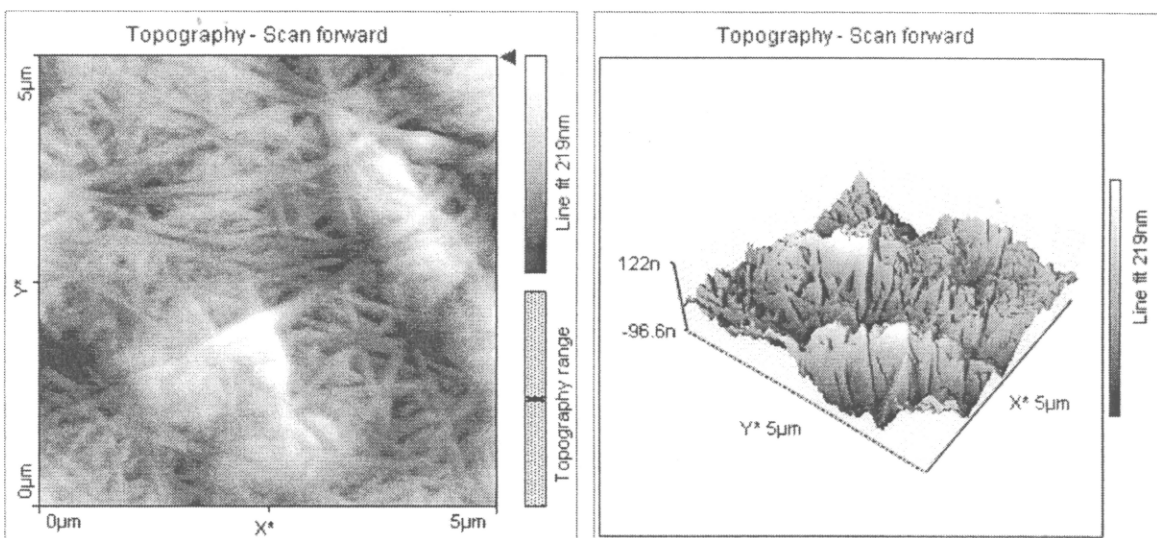


figure 5b

ภาคผนวก ข



# รายงานผลการจัดอบรมเรื่อง

การผลิตเยื่อกรองเซลลูโลสระดับไมโครโดย  
ระบบเพาะเลี้ยงจุลินทรีย์แบบกึ่งอัตโนมัติเพื่อ  
ใช้ในกระบวนการเตรียมน้ำดิบสำหรับการผลิต  
น้ำดื่มชุมชน

วันที่ 29 กันยายน 2552

เวลา 8.30-16.30 น.

โครงการวิจัยเรื่อง “การผลิตเยื่อกรองเซลลูโลสระดับไมโคร โดยระบบเพาะเลี้ยงจุลินทรีย์แบบกึ่งอัตโนมัติเพื่อใช้  
ในกระบวนการเตรียมน้ำดิบสำหรับการผลิตน้ำดื่มชุมชน” งบประมาณแผ่นดินปี 2549-2551

### โปรแกรมการอบรม

เรื่อง “ การผลิตเยื่อกรองเซลลูโลสโดยระบบเพาะเลี้ยงแบบกึ่งอัตโนมัติ ”

ณ. ภาควิชาฟิสิกส์ คณะวิทยาศาสตร์ มหาวิทยาลัยสงขลานครินทร์

วันที่ 29 กันยายน 2552 เวลา 8.30-16.30 น.



หัวข้อกิจกรรม	ผู้บรรยาย
08.30 น. ลงทะเบียน	
09.00 น. เมมเบรนเทคโนโลยีมีประโยชน์อย่างไร (P. 205)	รศ.ดร. พิกุล วนิชาภิชาติ
09.30 น. การเพาะเลี้ยงจุลินทรีย์ (P. 205)	นางสาวพัศตราภรณ์ ชุมแก่น
10.00 น. การเตรียมเมมเบรนในตู้ปลอดเชื้อ (P. 205)	นางสาวพัศตราภรณ์ ชุมแก่น
10.15 น. อาหารว่าง (P. 205)	
10.30 น. สาริตการผลิตเมมเบรน (P. 409)	นางสาวพัศตราภรณ์ ชุมแก่น
12.00 น. พักรับประทานอาหารกลางวัน (P. 205)	
13.00 น. ลงทะเบียน	
13.15 น. การทดสอบเมมเบรนและการประยุกต์ใช้ (P. 205)	รศ.ดร. พิกุล วนิชาภิชาติ
14.00 น. สาริตการทดสอบเมมเบรน (P. 409)	นางสาวพัศตราภรณ์ ชุมแก่น
15.30 น. อาหารว่าง	
15.45 น. สรุปผล ตอบแบบสอบถาม และปิดการอบรม	รศ.ดร. พิกุล วนิชาภิชาติ และ นางสาวพัศตราภรณ์ ชุมแก่น

#### หมายเหตุ

- 1 ไม่มีค่าลงทะเบียน
- 2 จัดอบรมฟรี รับจำนวนไม่เกิน 30 คน
- 3 เลี้ยงอาหารว่าง และมีมือกลางวัน
- 4 จ่ายค่าเดินทางให้ผู้เข้าอบรม 50%



## ประโยชน์ของเมมเบรนเทคโนโลยี

รศ. ดร. พิภพ วณิชชาติ  
สถานวิจัยวิทยาศาสตร์และ  
เทคโนโลยีเมมเบรน

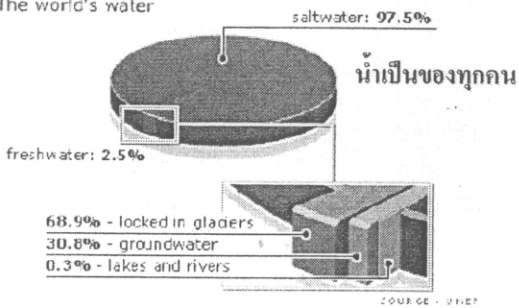
www.mim.tu.ac.th 290909

## ขาดแคลนน้ำสะอาด... ใช่หรือไม่

- น้ำบ่อ
- น้ำบาดาล
- น้ำฝน
- น้ำประปา
- น้ำสระ
- น้ำคลอง

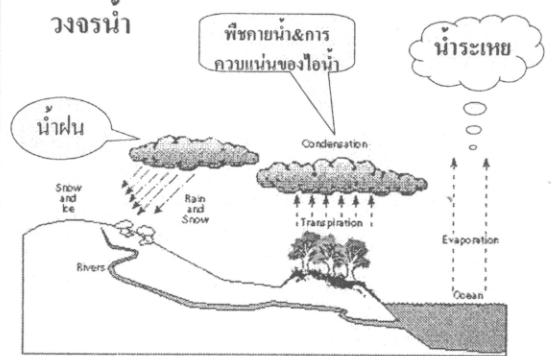
www.mim.tu.ac.th 290909

## The world's water



The picture taken from BBC web site

## วงจรน้ำ



## น้ำเป็นของทุกคน

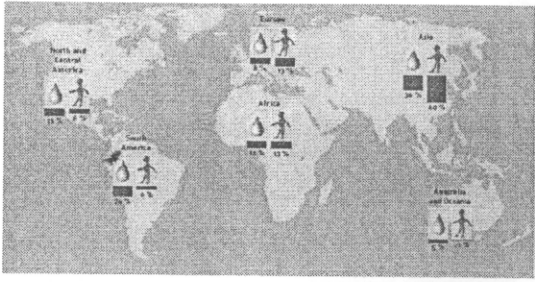
- ทุกหยดน้ำ ไม่ได้สูญหายไปจากโลก เพียงแต่เปลี่ยนสถานะเท่านั้น
- แต่เรากำลังทำให้น้ำเกิดมลภาวะทุกวัน พร้อมๆกับการเพิ่มของประชากรโลก

www.mim.tu.ac.th 290909

## คุณค่าของน้ำสะอาด

- ของเสีย 2 ล้านตัน (จากอุตสาหกรรม การเกษตร สารเคมี และมนุษย์) ถูกทิ้งลงสู่แหล่งน้ำทุกวัน
- ทุกๆ 1 ลิตรของของเสีย ปนอยู่ในน้ำสะอาดจำนวน 8 ลิตร หรือเทียบเท่า น้ำที่ถูกปนเปื้อนสารพิษจำนวน 12,000 ลบ.กิโลเมตร ทั่วโลก
- ปัจจุบันประชากรโลกกว่าพันล้านคน (20%) ขาดโอกาสที่จะเข้าถึงแหล่งน้ำ ปี 2025 สหประชาชาติคาดว่าตัวเลขจะเพิ่มขึ้นเป็น 2 พันล้านคน

www.mim.tu.ac.th 290909



Source: Executive Summary of the United Nations World Water Development Report p.9

ประมาณ 50 ประเทศทั่วโลก ขาดแคลนน้ำสะอาด และกำลังเพิ่มความรุนแรงขึ้น ยิ่งถูกซ้ำเติมด้วยปัญหาโลกร้อน

### ผลกระทบต่อมนุษย์

- น้ำมีแต่ดื่มไม่ได้
- โอกาสการเข้าถึงแหล่งน้ำไม่เท่ากัน
- น้ำกับปัญหาของสังคมเมืองที่เจริญ
- น้ำและการท่องเที่ยว
- น้ำกับสภาพภูมิอากาศ
- น้ำและสุขภาพ

©www.nai.in.th 290909

### ภัย...ที่มากับน้ำดื่ม

©www.nai.in.th 290909

(ก) สารพิษที่เกิดบนเปลือกโลก		(ข) สารพิษที่เกิดจากเมืองมนุษย์	
ชนิด	อวัยวะที่สะสมและผลกระทบ	ชนิด	อวัยวะที่สะสมและผลกระทบ
โครเมียม	มะเร็งทางเดินอาหาร หากสูดดมจะเกิดมะเร็งปอด	แอมโมเนีย (NH <sub>3</sub> , NH <sub>4</sub> )	ไม่มีรายงาน
สารหนู	มะเร็ง หากได้รับในปริมาณ 0.17 µg/l ตลอดชีวิต	แคลเซียม	สะสมในไต มะเร็งปอด (ปีละครั้งทางชีวภาพ 10-35 ปี)
ลวดเนียม	ร่างกายขับออกทางปัสสาวะ	โซเดียม	ต่อมไทรอยด์ และระบบประสาท
ฟลูออไรด์	หากมากเกินไป ทำให้ฟันขาดกระดูก ต่ำ-ต่ำง เสี่ยงต่อการเกิดกระดูกพรุน	ตะกั่ว	สะสมในกระดูก และมีผลต่อระบบประสาท (ในเด็กและหญิงมีครรภ์)
เหล็ก	เหล็กมีประโยชน์ต่อร่างกาย หากมากเกินไป ร่างกายสามารถขับออกได้	1,2-Dichloroethane	ตับ ไต และปอด
แมงกานีส พบคู่กับเหล็ก	ไม่มีรายงานผลเสียหา	ปรอท	ไต และประสาทส่วนกลาง
		ทองแดง	หาก >3mg/l เกิดการระคายเคืองทางอาหาร

©www.nai.in.th 290909

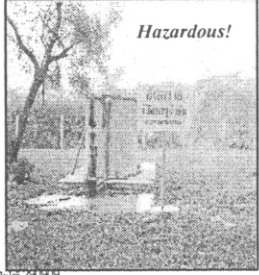
### ภัยจากน้ำดื่ม...รอบตัวเรา

©www.nai.in.th 290909

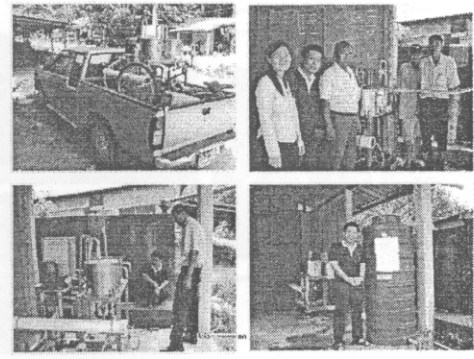
เมืองตึกสูง...สารหนูถูกทิ้งไว้ใกล้ถนนเมือง

©www.nai.in.th 290909

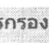
กรณีตัวอย่าง...จากน้ำธรรมชาติที่ร้อนพิบูลย์ 

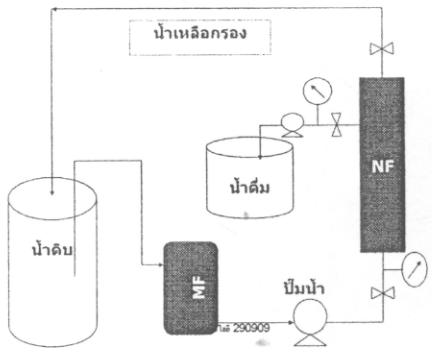


ติดตั้งระบบกรองน้ำดื่มปลอดภัย 

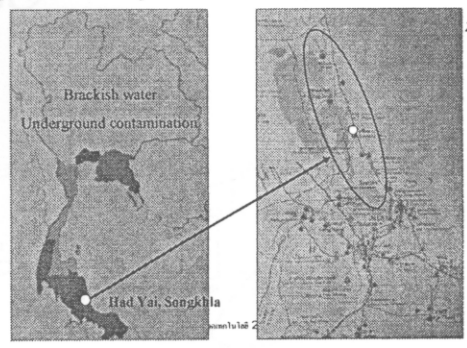



18 Jan. 05

ระบบผลิตน้ำดื่มด้วยเทคโนโลยีเมมเบรน ประกอบด้วย การกรองระดับ MF และ NF 

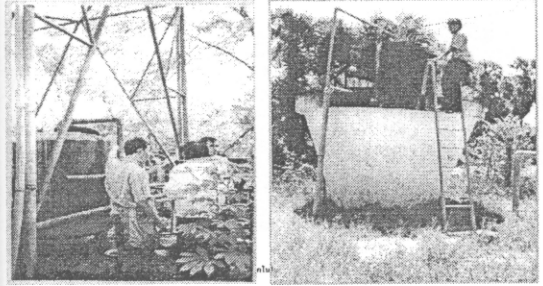



น้ำทะเลรุกแหล่งน้ำใต้ดิน...สตึงพระ 

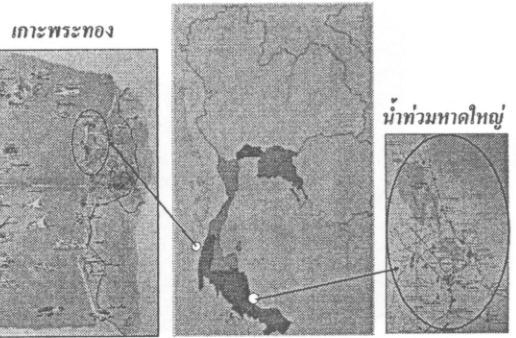



น้ำสนิมเหล็ก...ตำบลคลองรี อำเภอสตึงพระ จังหวัดสงขลา 

น้ำกร่อย มีสนิมเหล็กปน และมีความกระด้างสูง



ซินามิ...ที่เกาะบุรี จังหวัดพังงา 

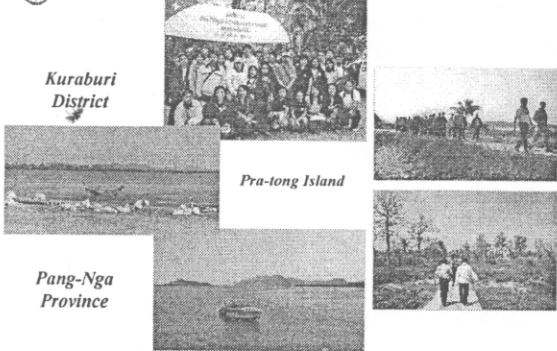



Project 4. Tsunami Projects with World Vision Group 

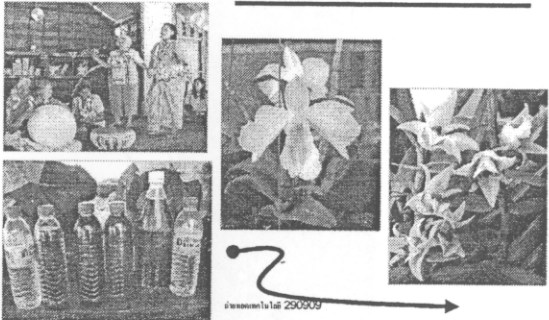
**Kuraburi District**

**Pra-tong Island**

**Pang-Nga Province**



ชาวมอร์แกน กล้วยไม้หายาก และแหล่งน้ำดี 



ระบบ UF ผลิตน้ำดื่ม สนับสนุนโดยมูลนิธิทุกภูมิภาคประเทศไทย 

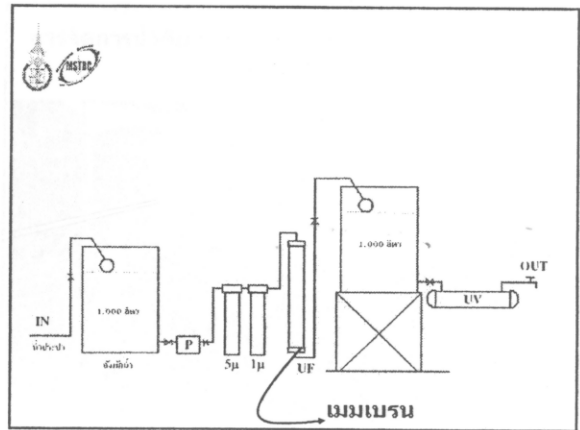
นมเป็นหมอครีบ...

Clean water

2,000 L/hr.

Cartridge MF 5.0  $\mu$ m and 1.0  $\mu$ m

Hallow fibre UF (0.01  $\mu$ m) 4x40 in. www.mstbc.com

ผลิตน้ำดื่มด้วยเทคโนโลยีเมมเบรน 

Dec., 2005

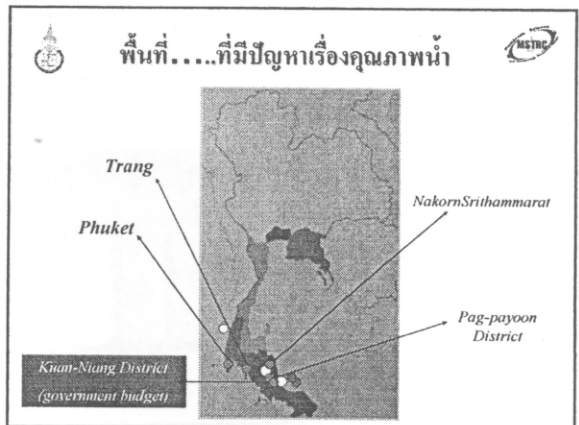
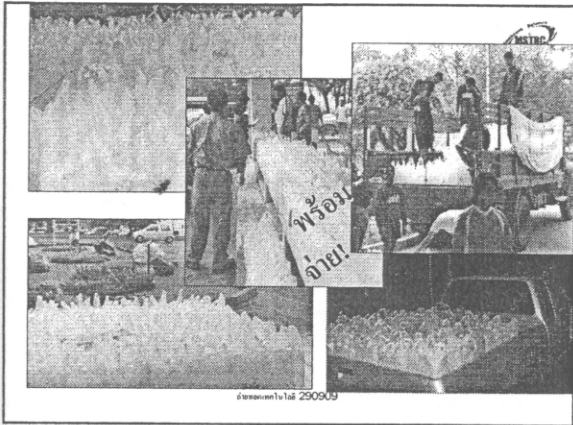
7 วัน 144,000 ขวดอัตร

5 เครื่อง



ขวดรีบบริจาค !! 



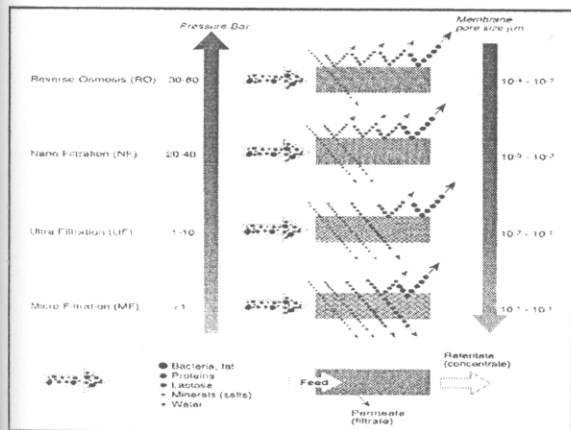


### รายงานผลวิเคราะห์/ทดสอบ


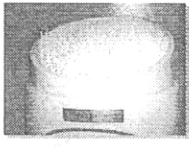
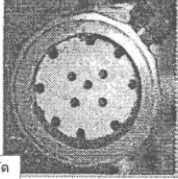
รายการวิเคราะห์	ค่ามาตรฐาน	โรงเรียนปากงิ้ววิทยา
• ความเป็นกรด-ด่าง (pH)	5.5-8.5	5.61
• ปริมาณผลสารที่ละลายในน้ำ (TDS)	ไม่เกิน 500 mg/l	239
• ซี	ไม่เกิน 20 HZ	10
• ความขุ่น	ไม่เกิน 20 FAU	2
• ความกระด้าง (as CaCO <sub>3</sub> )	ไม่เกิน 100 mg/l	78.32
• ออเฟต	ไม่เกิน 250 mg/l	43
• คลอไรด์	ไม่เกิน 250 mg/l	97.50
• ไนโตรเจนแอมโมเนียไนโตรเจน	ไม่เกิน 4.0 mg/l	1.50
• เหล็ก	ไม่เกิน 0.3 mg/l	0.50
• สารพิษอื่นๆ เช่น สารหนู ตะกั่ว	ไม่เกิน 0.05 mg/l	ไม่พบ

หมายเหตุ: คุณภาพน้ำดื่มของโรงเรียนปากงิ้ววิทยาใช้เครื่องกรองน้ำรุ่น G-135 (พ.ศ. 2554)

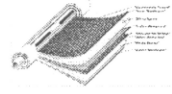
### การจัดการน้ำดื่มจากน้ำที่ด้อยคุณภาพด้วยเทคโนโลยีเมมเบรน



ชนิดของสาร	ขนาด (ไมครอน)	กระบวนการของเมมเบรน
เม็ดทราย	100-1000	การกรองหยาบ
แบคทีเรีย เชื้อโรค หรือ จุลชีพ	0.3-50	ไมโครฟิวเดรชัน (MF)
สารแขวนลอยขนาดต่างๆ	0.01-2.0	ไมโคร-อัลตราฟิวเดรชัน (MF-UF)
ไวรัส และโปรตีน	0.01-0.1	อัลตราฟิวเดรชัน (UF)
สารอินทรีย์ที่ละลายน้ำ	<0.001-0.1	อัลตรา-นาโนฟิวเดรชัน (UF- NF) และรีเวอร์สออสโมซิส (RO)
แร่ธาตุ และเกลือ	<0.001-0.003	นาโนฟิวเดรชัน (NF) - รีเวอร์สออสโมซิส (RO)

จากบริษัทพอลิเมอร์เรซินแอนด์ฟิวเดชัน (ประเทศไทย) จำกัด



**รูปแบบการนำไปใช้งาน**

ถังกรอง (40 ลิตร)


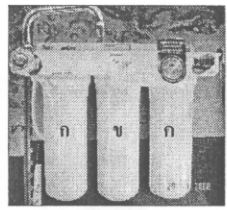
ชุดกรองทราย (20 ลิตร)

ชุดกรองคาร์บอน (2 - 5 ลิตร)

ชุดกรอง (2-1) ลิตร

ชุดกรองขี้เหล็ก (2 - 5 ลิตร)


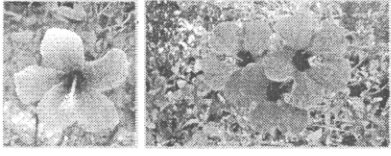
ถังกรองพร้อมหมักหมนระบบไมโครโปรเซส (0.1 ลิตร)

เครื่องกรองน้ำที่มีขายทั่วไปในท้องตลาด ประกอบด้วย

- ก ชุดกรองทราย (10 ไมครอน)
- ข ชุดกรองจุลินทรีย์ (0.3 ไมครอน)
- กำจัดแบคทีเรีย และสนิมเหล็ก
- ค ชุดกรองถ่านกัมมันต์
- กำจัดกลิ่น สี คลอรีน ตะกั่ว และแคดเมียม

\*\*\*\*\* โทร 290909

**วิ  
ห  
า  
น  
ก  
ย  
ะ  
ย**

\*\*\*\*\* โทร 290909





## การผลิตเซลล์โลสเมมเบรน โดยระบบเพาะเลี้ยงแบบกึ่งอัตโนมัติ

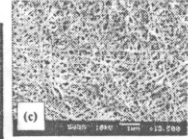
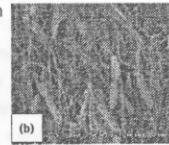
โดย

สถานวิจัยวิทยาศาสตร์และเทคโนโลยีเมมเบรน  
มหาวิทยาลัยสงขลานครินทร์

## เซลล์โลสเมมเบรน คืออะไร...?

เซลล์โลสเมมเบรน คือ เยื่อบางที่เกิดจากเส้นใยขนาดเล็กๆเพียง 200 นาโนเมตรที่จุลินทรีย์ (*Acytobacter xylinum*) สร้างขึ้นและปล่อยออกมาออกเซลล์ สานกันเหมือนร่างแห

จนเกิดรูพรุนขนาดเล็ก



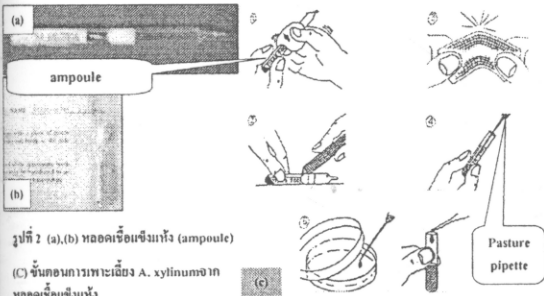
รูปที่ 1 (a) เซลล์โลสเมมเบรนขณะปลูก

(b) การสร้างเส้นใยของ *A. xylinum*

(c) ภาพถ่าย SEM ของเซลล์โลสเมมเบรน

ที่มา <http://beeht.dyu.tw/modules/tinyd1/index.php?id=7>

## การเพาะเลี้ยง *Acetobacter xylinum* TISTR No.975 จากหลอดเชื้อแข็งแห้ง

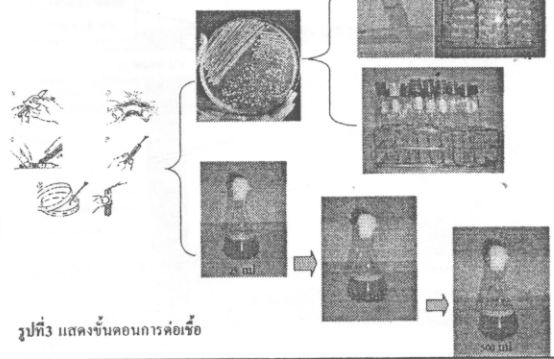


รูปที่ 2 (a),(b) หลอดเชื้อแข็งแห้ง (ampoule)

(c) ขั้นตอนการเพาะเลี้ยง *A. xylinum* จากหลอดเชื้อแข็งแห้ง

(ที่มา <http://www.tistr.or.th/mircen/pdf/FM%20-%20MIR%20-%2009%20-%200005%20-%20Rev.5.pdf>)

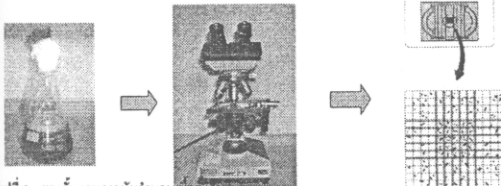
## การต่อเชื้อ (Subculture)



รูปที่ 3 แสดงขั้นตอนการต่อเชื้อ

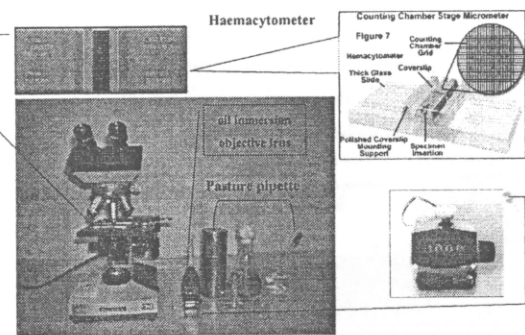
## การนับจำนวนเชื้อตั้งต้นด้วย Haemocytometer

- วางกระจกปิด (cover slide) ลงบน Haemocytometer
- ดูดเชื้อด้วยหลอดดูดเชื้อ (pasteur pipette) ที่ผ่านการฆ่าเชื้อแล้ว มาแตะบริเวณช่องว่างระหว่าง Haemocytometer กับกระจกปิด (cover slide) เพื่อให้สารละลายเข้าไปในช่องว่างดังกล่าว
- จับสารละลายส่วนเกินออก นำไปสู่อุณหภูมิห้องด้วยจูลทรศน์ที่กำลังขยาย 40 หรือ 100 เท่า (oil immersion objective lens) ของเลนส์ใกล้วัตถุ



รูปที่ 4 แสดงขั้นตอนการนับจำนวนเชื้อตั้งต้น

## อุปกรณ์ในการนับจำนวนเซลล์ตั้งต้น



รูปที่ 5 แสดงอุปกรณ์ในการนับจำนวนเซลล์

### การคำนวณหาจำนวนเซลล์ต่อ 1 มิลลิลิตรของตัวอย่าง

เนื่องจาก

สี่เหลี่ยมลูกบาศก์เล็กมีความกว้าง 0.05 mm ยาว 0.05 mm chamber ลึก 0.1 mm

ดังนั้น สี่เหลี่ยมลูกบาศก์เล็กมีปริมาตร =  $0.05 \times 0.05 \times 0.1 \text{ mm}^3$

ถ้ามีจำนวนเซลล์ที่อยู่ในสี่เหลี่ยมลูกบาศก์เล็ก = X เซลล์

ปริมาตรตัวอย่าง  $0.05 \times 0.05 \times 0.1 \text{ mm}^3$  มีแบคทีเรีย = X เซลล์

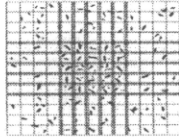
ปริมาตรตัวอย่าง 1000 mm<sup>3</sup> มีแบคทีเรีย =  $X \times 1000$  เซลล์

เนื่องจาก  $1 \text{ ml} = 1 \text{ cc} = 1000 \text{ mm}^3$

ดังนั้นสูตรการคำนวณคือ  $0.05 \times 0.05 \times 0.1$

$$\text{จำนวนเซลล์ / 1 ml} = \frac{X \times 1000 \text{ เซลล์}}{0.05 \times 0.05 \times 0.1}$$

รูปที่ 6 แสดงตารางนับบน Hemacytometer



### การเตรียมอาหารเพาะเลี้ยงสูตรน้ำมะพร้าว

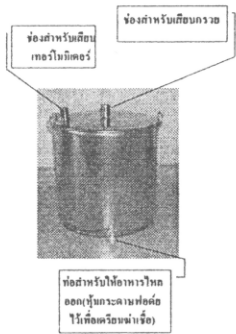
- 1) กรองน้ำมะพร้าวด้วยผ้าขาวบาง 3 ชั้น
- 2) นำน้ำมะพร้าวในข้อ 1 ไปต้มให้เดือด 10-15 นาทีเพื่อให้ไขมัน เมื่อน้ำมะพร้าวเดือดให้ปิดฝาหม้อเพื่อให้น้ำมันได้ระเหยออกไป
- 3) เตรียมสารอาหารที่มีส่วนประกอบ ดังนี้ Sucrose 4%, Peptone 0.5%, Yeast extract 0.5%, Citric 0.0115% และ  $\text{Na}_2\text{HPO}_4$  0.033% โดยละลายส่วนประกอบทั้งหมดลงในน้ำมะพร้าวที่ต้มไล่ไขมันแล้ว ปรับค่าพีเอชด้วยกรด HCl เข้มข้น 1.94 N จนได้ค่า pH 4
- 4) เทใส่ขวด Duran ขนาด 1 ลิตรแล้วนำไปนึ่งฆ่าเชื้อที่อุณหภูมิ 121°C ภายใต้ความดัน 15 ปอนด์/ตารางนิ้วเป็นเวลา 15 นาที



หมายเหตุ (%W/V) หมายถึง น้ำหนักของสาร(กรัม) ต่อปริมาตรของสารละลาย 100 มิลลิกรัม

รูปที่ 7 แสดงลักษณะของอาหารเพาะเลี้ยงซึ่งบรรจุอยู่ในขวด Duran

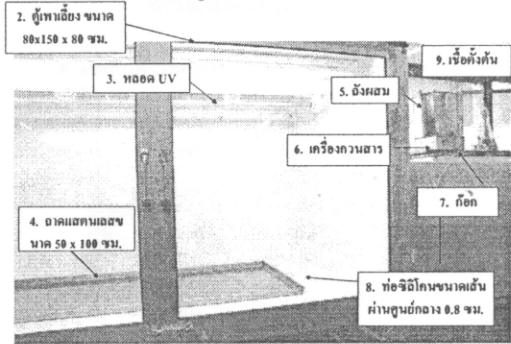
### การเตรียมระบบเพาะเลี้ยงแบบกึ่งอัตโนมัติ



1. ถังผสมขนาดเส้นผ่านศูนย์กลาง 20 เซนติเมตร ความสูง 20 เซนติเมตร (ปริมาตร 6.285 ลิตร) ฝาหม้อประกอบด้วยช่องสำหรับเสียบเทอร์โมมิเตอร์ (เส้นผ่านศูนย์กลางภายในขนาด 1.0 เซนติเมตร) และช่องสำหรับเสียบกรวย (เส้นผ่านศูนย์กลางภายในขนาด 1.8 เซนติเมตร) ดังรูปที่ 1 (A)

รูปที่ 8 แสดงลักษณะของถังผสม

### ระบบตู้เพาะเลี้ยงแบบกึ่งอัตโนมัติ



รูปที่ 9 แสดงส่วนประกอบของตู้เพาะเลี้ยง

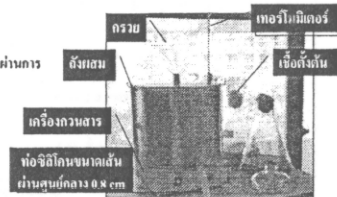
### การฆ่าเชื้อภายในตู้เพาะเลี้ยง

ก่อนทำการผลิตเมมเบรนหรือเพาะเลี้ยงจุลินทรีย์ใดๆ ต้องทำการฆ่าเชื้อภายในตู้เพาะเลี้ยงก่อน โดยการเช็ดด้วย 70% Ethanol แล้วเปิด UV ทั้งไว้เป็นเวลา 1 ชั่วโมง

### การถ่ายเชื้อ *A. xylinum* เพื่อผลิตเซลลูโลสเมมเบรน

- วางถังผสมบนเครื่องกวนสาร (Magnetic stirrer)
- ต่อท่อจัดโคนกับถังผสมและภาคเพาะเลี้ยง โดยปิดวาล์วไว้ก่อน
- เทอาหารเพาะเลี้ยงที่ฆ่าเชื้อแล้วลงในถังผสมทางช่องเสียบกรวยที่ฝาถัง
- เติมน้ำเชื้อ *A. xylinum* ที่เพาะเลี้ยงไว้ในอาหารสูตรเดียวกันเป็นเวลา 3 วันและได้นับจำนวนเซลล์เริ่มต้นแล้ว โดยเติมลงไปในส่วน 1x10<sup>6</sup> เซลล์ต่อหนึ่งมิลลิลิตรของอาหาร

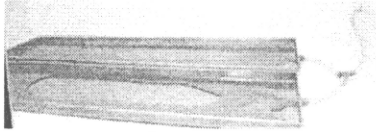
หมายเหตุ อุปกรณ์ทุกอย่างต้องผ่านการฆ่าเชื้อ



รูปที่ 10 แสดงอุปกรณ์ในการถ่ายเชื้อ

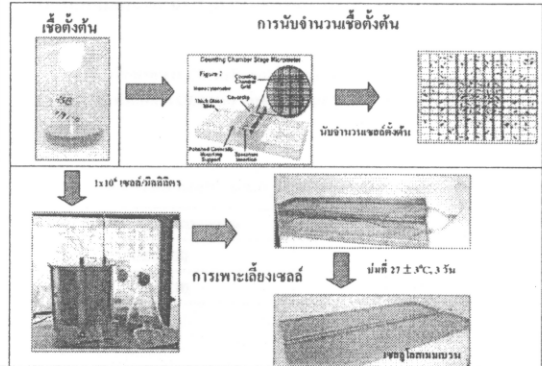
### การถ่ายเชื้อ *A. xylinum* เพื่อผลิตเซลลูโลสเมมเบรน (ต่อ)

- หมุน Speed Control ไปที่ระดับ 4 วนเป็นเวลา 5 นาที
- เปิดดูว่าให้อาหารเพาะเลี้ยงไหลลงสู่ถาดเพาะเลี้ยงจนหมด
- ทำการเพาะเลี้ยงเป็นเวลา 72 ชั่วโมง ที่อุณหภูมิ 27±2 องศาเซลเซียส
- เก็บเกี่ยวเมมเบรน



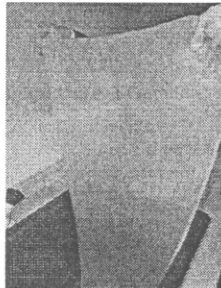
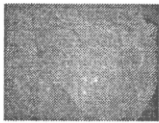
รูปที่ 11 แสดงการปล่อยอาหารเข้าสู่ถาดเพาะเลี้ยง

### สรุปขั้นตอนการผลิตเซลลูโลสเมมเบรนแบบกึ่งอัตโนมัติ



### การเก็บเกี่ยวเมมเบรน

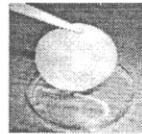
- นำแผ่นเซลลูโลสที่ผลิตได้มาต้มที่มีอุณหภูมิ 90°C . 20 นาที
- แช่ 1.5 N NaOH , 2 วัน
- ถ้างจนกระทั่งน้ำล้างมีค่า pH เป็นกลาง
- แช่ในสารละลาย 1.94 N HCl, 1 ชั่วโมง
- ถ้างจนกระทั่งน้ำล้างมีค่า pH เป็นกลาง



รูปที่ 13 แสดงลักษณะของเซลลูโลสเมมเบรนที่เก็บเกี่ยว

### การเก็บเกี่ยวเมมเบรน (ต่อ)

- อบแห้งให้ความร้อนจากหลอดไฟทั้งสแตน ขนาดกำลัง 100 W จำนวน 4 หลอด อุณหภูมิภายในตู้คือ 32 ±30C ตลอด 24 ชั่วโมง นาน 4 วัน



รูปที่ 14 แสดงลักษณะของเซลลูโลสเมมเบรนที่ตากแห้งแล้ว

### การทดสอบเมมเบรนและการประยุกต์ใช้

- การศึกษาเปรียบเทียบความหนา-น้ำหนักทั้งในขณะแห้งและเปียก
- การศึกษาฟลักซ์น้ำผ่านเซลลูโลสเมมเบรน
- สภาพให้ซึมผ่านของน้ำ (Lp) หรือสภาพนำน้ำ (Hydraulic conductivity)
- การศึกษาขนาดรูและความพรุนของเซลลูโลสเมมเบรน
- การทดสอบการกรองน้ำทิ้งจากโรงพยาบาล
- การทดสอบการกรองน้ำทิ้งจากโรงงานยาง
- การทดสอบการกรองจุลินทรีย์
- การศึกษาผลของกระบวนการดัดแปลงเซลลูโลสเมมเบรน
- การกำจัดสารตกค้างโดยการต้ม
- การกรองน้ำที่มีสนิมเหล็ก

### การศึกษาเปรียบเทียบความหนาและน้ำหนัก ทั้งในขณะแห้งและเปียก

จากการทดลองพบว่าเมมเบรนชนิด CE(CCB) มีมวลและความหนาทั้งขณะเปียก และขณะแห้งประมาณสองเท่าของเมมเบรนชนิด CE(SHB) ดังข้อมูลที่แสดงในตารางที่ 1

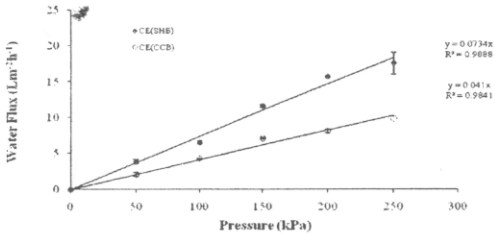
ตารางที่ 1 แสดงค่าน้ำหนักและความหนาของ CE(SHB) และ CE(CCB)

รายการที่ศึกษา	เมมเบรน CE(SHB)	เมมเบรน CE(CCB)
น้ำหนักเปียก (g)	9.336 ± 0.084	15.166 ± 0.316
น้ำหนักแห้ง (g)	0.0574 ± 0.0009	0.1146 ± 0.0064
ความหนาขณะเปียก (mm)	1.28 ± 0.02	2.41 ± 0.05

หมายเหตุ CE(SHB) คือ เซลลูโลสสูตรนำตาล, CE(CCB) คือ เซลลูโลสสูตรนำนมพร้าว

### การศึกษาฟลักซ์น้ำผ่านเซลลูโลสเมมเบรน

จากการศึกษาเพอเมอทิฟลักซ์น้ำผ่านของ CE(SHB) และ CE(CCB) พบว่า CE(SHB) ให้ค่าเพอเมอทิฟลักซ์ของน้ำกลั่นสูงกว่า CE(CCB) ประมาณ 2 เท่า ดังรูปที่ 15 แสดงว่าความพรุนของ CE(SHB) น่าจะมีค่ามากกว่า CE(CCB)



รูปที่ 15 แสดงการเปรียบเทียบเพอเมอทิฟลักซ์ของน้ำกลั่นผ่านเมมเบรน CE(SHB) และ CE(CCB)

### สภาพให้ซึมผ่านของน้ำ (Lp) หรือสภาพนำน้ำ (Hydraulic conductivity)

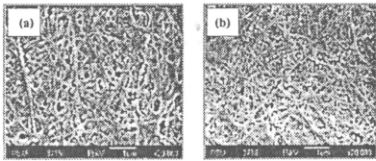
จากการศึกษาพบว่า CE(SHB) ยอมให้น้ำผ่านได้มากกว่า CE(CCB) ประมาณ 2.5 เท่า แสดงให้เห็นว่า CE(SHB) น่าจะมีความพรุนมากกว่า CE(CCB) ด้วย

ตารางที่ 2 แสดงค่าสภาพการยอมให้น้ำผ่าน (Lp) ของเซลลูโลสเมมเบรนที่ผลิตภายใต้เงื่อนไขต่างๆ

ชนิดของเซลลูโลสเมมเบรน	Lp (m <sup>3</sup> N <sup>-1</sup> s <sup>-1</sup> )
CE(SHB)	20.41 x 10 <sup>-12</sup>
CE(CCB)	8.59 x 10 <sup>-12</sup>

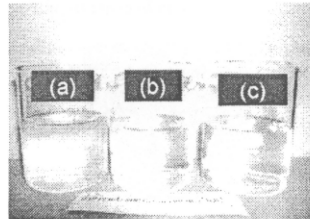
### การศึกษาขนาดรูและความพรุนของเซลลูโลสเมมเบรน

จากภาพถ่ายจาก SEM ที่กำลังขยาย 20,000 เท่า (โดย ศูนย์เครื่องมือวิทยาศาสตร์ ม.สงขลานครินทร์) พบว่า CE(SHB) มีพื้นที่ของรูพรุนมากกว่า CE(CCB) ดังรูป ซึ่งสอดคล้องกับค่าเพอเมอทิฟลักซ์และสภาพการยอมให้น้ำผ่าน(Lp)ข้างต้น ส่วนขนาดรูประมาณ 0.1 μm ตามที่สเปคิตรี (2548) อย่างไรก็ดี เมื่อศึกษาโดยใช้ค่า Molecular Weight Cut Off โดยปริศนา (2550) พบว่ามีขนาดเทียบเท่ากับ 0.01 μm ขนาดของรูจัดเป็นกลุ่มของเมมเบรนระดับอัลตรา ซึ่งสามารถกรองโปรตีนบางชนิดได้ และสามารถกรองจุลินทรีย์ได้ 100%



รูปที่ 16 แสดงภาพ SEM ที่กำลังขยาย 20,000 เท่า (a) คือ CE(SHB) และ (b) คือ CE(CCB)

### การทดสอบการกรองน้ำทิ้งจากโรงพยาบาล



รูปที่ 17 แสดงลักษณะของน้ำ (a) ตัวอย่างน้ำทิ้งจากโรงพยาบาล (b) ลักษณะของน้ำที่ผ่านการกรองด้วย CE(SHB) (c) ลักษณะของน้ำที่ผ่านการกรองด้วย CE(CCB)

ตารางที่ 3 แสดงค่าของสารแขวนลอยที่อยู่ในน้ำทิ้งจากโรงพยาบาลที่กรองด้วย CE(CCB)

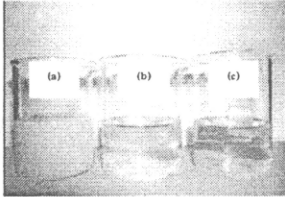
รายการที่วิเคราะห์	วิธีการวิเคราะห์	หน่วย	น้ำทิ้งจากโรงพยาบาล สงขลานครินทร์	
			ไม่ผ่านการกรอง	กรองผ่าน CE(CCB)
Color	Photometric Method	HAZEN	29	19
SS	Dried at 103-105°C	mg/l	10	1
TDS	TDS meter	mg/l	216	223
COD	Photometric Method	mg/l	650	348
BOD <sub>5</sub>	5-Day BOD test	mg/l	30	79
TKN	Photometric Method	mg/l	36	52
NH <sub>4</sub> <sup>+</sup>	Photometric Method	mg/l	3.45	4.34
Flux	กรองด้วยเครื่องกรองแบบปิดตายที่ความดัน 250kPa	Lm <sup>2</sup> h <sup>-1</sup>	-	22.92

### การทดสอบการกรองน้ำทิ้งจากโรงพยาบาล (ต่อ)

- > จะเห็นว่า CE(CCB) มีประสิทธิภาพในการกักกันสารแขวนลอยทั้งอินทรีย์อนินทรีย์ และอนุภาคของสีได้ระดับดีถึงดีมาก และสามารถกักกันสารอินทรีย์ในรูป COD ได้ระดับหนึ่ง (กักกันที่ 34.48%, ของแข็งแขวนลอย (SS) 90%, COD ได้ 46.46%)
- > แต่ไม่สามารถกักกันสารประกอบไนโตรเจนในรูป TKN และ NH<sub>4</sub><sup>+</sup> ได้

### การทดสอบการกรองน้ำทิ้งจากโรงงานยาง

จากการทดสอบการกรองน้ำทิ้งจากโรงงานยาง ในอำเภอสะเตาะ จังหวัดสงขลา พบว่าเปลี่ยนจากสัคริมขุน เป็นสิ่งล่องลอยใส แสดงว่า CE(CCB) สามารถกักกันสารแขวนลอยจ้พวกโปรตีนได้ระดับหนึ่ง และเมื่อเปรียบเทียบกับกระบวนน้ำทิ้งที่ผ่านการกรองด้วย CE(SHB) และ CE(CCB) จากลักษณะภาพออกหัวคอปถ่ายพบว่ามีความใสไม่แตกต่างกัน ดังรูป



รูปที่ 18

- ลักษณะของน้ำทิ้งที่ผ่านการกรองด้วย CE(SHB)
- ลักษณะของน้ำทิ้งที่ผ่านการกรองด้วย CE(CCB)

ตารางที่ 4 แสดงค่าของสารแขวนลอยที่อยู่ในน้ำทิ้งจากโรงงานยางที่ผ่านการกรองด้วย CE(CCB)

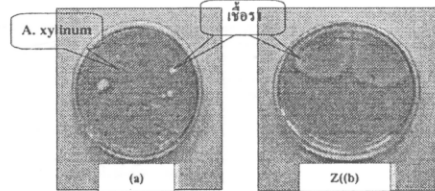
รายการที่วิเคราะห์	วิธีการวิเคราะห์	หน่วย	น้ำทิ้งจากโรงงานยาง	
			ไม่ผ่านการกรอง	กรองผ่าน CE(CCB)
Color	Photometric Method	HAZEN	7,940	369
SS	Dried at 103-105°C	mg/l	233	40
TDS	TDS meter	mg/l	25,900	25,150
COD	Photometric Method	mg/l	45,000	12,600
BOD <sub>5</sub>	5-Day BOD test	mg/l	13,200	9,300
TKN	Photometric Method	mg/l	28	25
NH <sub>3</sub> <sup>+</sup>	Photometric Method	mg/l	0.21	0.10
Flux	กรองด้วยเครื่องกรองแบบเปิดตายที่ความดัน 250 kPa	Lm <sup>2</sup> h <sup>-1</sup>	-	10.56

### การทดสอบการกรองน้ำทิ้งจากโรงงานยาง (ต่อ)

- จากตารางจะเห็นว่าน้ำทิ้งที่ยังไม่ผ่านการกรองมีค่า COD และ BOD<sub>5</sub> สูงมาก และพบว่าหลังจากกรองผ่าน CE(CCB) แล้วพบว่า เมมเบรนมีประสิทธิภาพในการกักกันของแข็งแขวนลอย (อนุภาคเนื้อยาง) และสัคติมูก(กล่าวคือมีประสิทธิภาพการกักกันร้อยละ 88.83 และ 95.35 ตามลำดับ
- และเนื่องจากลักษณะน้ำเสียของโรงงานยางที่มีสารแขวนลอยสูงและเป็นเนื้อยางจึงสามารถแยกออกได้ด้วยเมมเบรนได้ดี จึงส่งผลให้ค่าความสกปรกในรูป COD และ BOD<sub>5</sub> ลดลงอย่างชัดเจน ถึงร้อยละ 72 และ 29.54 ตามลำดับ
- ส่วนประสิทธิภาพในการกักกันสารประกอบไนโตรเจนในรูป TKN และ NH<sub>3</sub> ก่อนข้างต้น เนื่องจากสารประกอบกลุ่มนี้อยู่ในรูปละลายน้ำและมีขนาดโมเลกุลเล็กกว่าขนาดรูของเมมเบรนมาก

### การทดสอบการกรองจุลินทรีย์

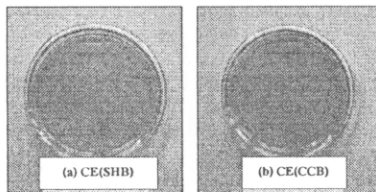
การตรวจจุลินทรีย์ในอาหารที่เหลือจากการผลิตเซลดัดโลสมเมbran ซึ่งยังไม่ผ่านการกรองด้วยเซลดัดโลสมเมbran



รูปที่ 19 ผลการตรวจจุลินทรีย์ในอาหารเลี้ยงเชื้อที่ผ่านการกรองด้วยเซลดัดโลสมเมbran (a) คือลักษณะของโคโลนีของ A. xylinum และลักษณะของโคโลนีของเชื้อรา(โคโคปียูมิสีขาว) (b) คือลักษณะของโคโลนีของเชื้อราในรูป (a) (โคโคปียูมิสีขาว) จึงนำมาเพาะเชื้อใหม่จนเจริญเต็มที่(สร้างสปอร์สีขาว)

### การทดสอบการกรองจุลินทรีย์ (ต่อ)

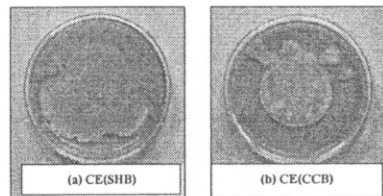
จากการตรวจจุลินทรีย์ในอาหารที่เหลือจากการผลิตเซลดัดโลสมเมbran ที่ผ่านการกรองด้วย CE(SHB) และ CE(CCB) ไม่พบการเจริญของจุลินทรีย์ใดๆ



รูปที่ 20 ผลการตรวจจุลินทรีย์ในอาหารเลี้ยงเชื้อหลังจากผ่านการกรองด้วยเมมเบรน (a) CE(SHB) และ (b) CE(CCB)

### การทดสอบการกรองจุลินทรีย์ (ต่อ)

■ ตรวจสอบจุลินทรีย์ที่ติดค้างอยู่บนเมมเบรน



รูปที่ 21 ผลการตรวจจุลินทรีย์บนแผ่นเซลดัดโลสมเมbran ทั้งสองชนิดหลังการนำไปใช้กรองอาหารเชื้อ

### การศึกษาผลของความทนกรด-ด่างต่อเซลลูโลสเมมเบรน

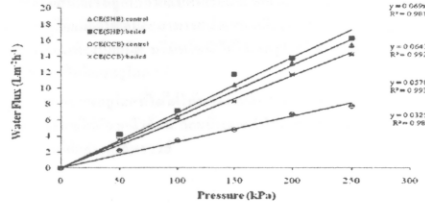
จากการศึกษาผลของความทนกรด-ด่างต่อ CE(CCB) โดยการแช่ในสารละลาย HCl pH 4 และแช่ในสารละลาย NaOH pH 10 เป็นเวลา 120 ชั่วโมง (5 วัน) พบว่า CE(CCB) มีมวลไม่เปลี่ยนแปลง แสดงว่าเซลลูโลสทนกรดและด่างได้ดีและสามารถใช้งานได้ต่อเนื่องนาน 5 วัน

ตารางที่ 5 เปรียบเทียบมวลของเมมเบรนก่อนและหลังการแช่ในกรดและด่าง

เงื่อนไขที่ทำการศึกษา	มวลของเซลลูโลสเมมเบรนชนิด CE(CCB) (mg)		
	Control	HCl	NaOH
น้ำหนักแห้ง	2.7 ± 0.2	2.7 ± 0.2	2.6 ± 0.2
น้ำหนักแห้งแช่ 30 นาที	5.4 ± 0.2	5.4 ± 0.2	5.6 ± 0.3
น้ำหนักแห้งแช่ 5 วัน	5.6 ± 0.2	5.5 ± 0.3	5.7 ± 0.5

### การกำจัดสิ่งตกค้างโดยการต้ม

- การต้มเซลลูโลสเมมเบรนเป็นเวลา 1 ชั่วโมง ช่วยเพิ่มสภาพการซึมผ่านของน้ำ (Lp) กล่าวคือเมมเบรนชนิด CE(SHB) สูงขึ้น 1.07 เท่า และ CE(CCB) สูงขึ้น 1.78 เท่า
- คาดว่า การต้มช่วยกำจัดสิ่งตกค้างที่ผิวเมมเบรนออกได้ระดับหนึ่ง ซึ่งเห็นผลชัดเจนในเมมเบรนที่มีไขมันจากอาหารทะเลแข็งจุดินทรีย์ที่มีน้ำหนักแห้งเป็นส่วนประกอบ



รูปที่ 22 เปรียบเทียบฟลักซ์ของน้ำที่ผ่าน CE(SHB) และ CE(CCB) หลังผ่านการต้ม

### การกรองน้ำที่มีสนิมเหล็ก

- การทดสอบการกรองน้ำสนิมเหล็ก โดยเก็บตัวอย่างน้ำที่มีสนิมเหล็ก ณ ตำบลปรัก อำเภอสะเตกา จังหวัดสงขลา โดยทำการสุ่มตรวจตัวอย่าง 3 จุด คือ หมู่ที่ 1 (หมู่บ้านใหม่-ทุ่งศาลาแดง), หมู่ที่ 4 (หมู่บ้านตะเคียนขาว) และ หมู่ที่ 9 (หมู่บ้านยางเกาะ)
- ในการทดลองนี้ได้ทำการตรวจวัดปริมาณสนิมเหล็กในน้ำ ด้วย Iron Test Kit รุ่น HI 3834 บริษัท Hanna instruments ซึ่งสามารถวัดค่าเหล็กในช่วง 0-5 ppm

### การกรองน้ำที่มีสนิมเหล็ก (ต่อ)

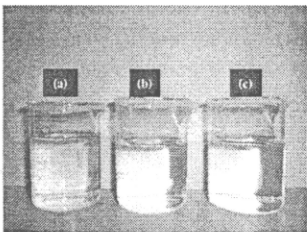
จากการทดสอบพบว่าเซลลูโลสเมมเบรนทั้งสองสูตร คือ CE(CCB) และ CE(SHB) สามารถกรองสนิมเหล็กได้ร้อยละเจ็ดสิบ

ตารางที่ 6 แสดงค่าสนิมเหล็กในน้ำก่อนและหลังการกรองด้วยเมมเบรน

ตัวอย่างน้ำ	ค่าสนิมเหล็ก (ppm)		
	ก่อนกรอง	กรองด้วย CE(CCB)	กรองด้วย CE(SHB)
น้ำกลั่น	0	0	0
หมู่ที่ 1 (หมู่บ้านใหม่-ทุ่งศาลาแดง)	3-4	0	0
หมู่ที่ 4 (หมู่บ้านตะเคียนขาว)	1-2	0	0
หมู่ที่ 9 (หมู่บ้านยางเกาะ)	0.1	0	0

### การกรองน้ำที่มีสนิมเหล็ก (ต่อ)

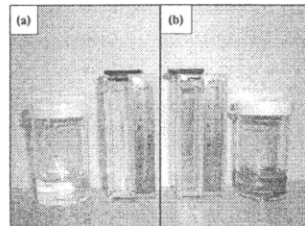
เปรียบเทียบของน้ำสนิมเหล็กและน้ำสนิมเหล็กที่ผ่านการกรองด้วยเมมเบรน



รูปที่ 23 (a) น้ำสนิมเหล็ก (b) น้ำสนิมเหล็กที่ผ่านการกรองด้วย CE(SHB) (c) น้ำสนิมเหล็กที่ผ่านการกรองด้วย CE(CCB)

### การกรองน้ำที่มีสนิมเหล็ก (ต่อ)

เปรียบเทียบการวัดค่าสนิมเหล็กของน้ำสนิมเหล็กและน้ำสนิมเหล็กที่ผ่านการกรองด้วยเมมเบรน



รูปที่ 24 (a) น้ำสนิมเหล็กที่กรองด้วย CE(CCB) (b) น้ำสนิมเหล็กที่ยังไม่ผ่านการกรอง

## การประยุกต์ใช้เซลล์โลสเมมเบรนในด้านอื่นๆ



บริษัท ไทยนาโนเซลล์โลส จำกัด จากการสนับสนุน โครงการสนับสนุนการพัฒนาเทคโนโลยีของอุตสาหกรรมไทย (TAP) ภายใต้กำกับของศูนย์บริหารจัดการเทคโนโลยี (TMC) สำนักงานพัฒนาวิทยาศาสตร์และเทคโนโลยีแห่งชาติ (สวทช.) และศูนย์บ่มเพาะวิสาหกิจมหาวิทยาลัยสงขลานครินทร์ ,สำนักงานนวัตกรรมแห่งชาติ และ สำนักงานส่งเสริมวิสาหกิจขนาดกลางและขนาดย่อม (สสว.)

ได้นำคุณสมบัติเด่นของเส้นใย เซลลูโลส คือ สีขาวนวล เรียบนุ่ม เหนียว บริสุทธิ์ โปร่งแสง มีรูพรุนขนาดเล็ก 200-300 นาโนเมตร ทำให้ผู้นำได้คิด ทนกรด ต่าง วังสี และความร้อน และให้ความรู้เกี่ยวกับผลิตภัณฑ์



มาผลิตผ้าก๊อชแผ่นมาร์คหน้า แผ่นติดได้ขอบตา และแผ่นปิดรอยฉีกหัว สำหรับธุรกิจสปา โนอนาคยังคงคิดว่าสามารถนำเซลล์โลสชีวภาพมาผลิตเป็นผลิตภัณฑ์อื่นๆ อีก ได้แก่ แผ่นฟิล์มบริโภคได้สำหรับบรรจุอาหาร และเครื่องปรุง

[http://news-pharmacy.psu.ac.th/index.php?option=com\\_content&task=view&id=213&Itemid=1](http://news-pharmacy.psu.ac.th/index.php?option=com_content&task=view&id=213&Itemid=1)

## การประยุกต์ใช้เซลล์โลสเมมเบรนในด้านอื่นๆ

- ด้วยคุณสมบัติที่ไม่แน่นอนขึ้นอยู่กับขนาดและสามารถปรับเปลี่ยนรูปร่างได้ง่าย ทั้งยังมีลักษณะโปร่งใส ทำให้บรรดาแพทย์ในสหรัฐอเมริกาสนใจทดลองใช้ เซลลูโลสในการตกแต่งบาดแผล
- เนื่องจากเส้นใยเซลลูโลสจากแบคทีเรียมีลักษณะยืดและแข็งแรง สามารถคงรูปร่างอยู่ได้แม้ถูกหล่อและสามารถนำเยื่อที่เสกได้ไว้ห่อๆ กับอะลูมิเนียม โดยให้เยื่อที่กรองเพียงน้อยนิด บริษัทเจนี ได้ใช้เซลลูโลสในการผลิตหูฟังคุณภาพเยี่ยมที่เรียกว่า "ไบโอเซลลูโลส"
- คุณสมบัติของเซลลูโลสที่ไม่ได้ให้พลังงานกับร่างกายแต่อย่างใด อาหารประเภทนี้จึงทานได้โดยไม่หิองกลัวอ้วน และนั่นอาจทำให้เซลลูโลสกลายเป็นสารช่วยลดความอ้วนได้อีกอย่างน่าอัศจรรย์

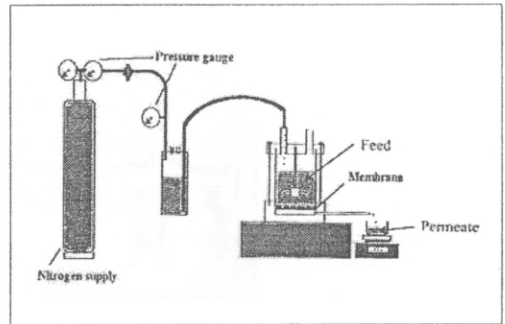
ที่มา <http://web.ku.ac.th/~ghoolest/nct4/feb18/cellulos.htm> โดยทศไนท์ ศุภะรังษ "ปฏิบัติการผลิตเซลลูโลสด้วยจุลินทรีย์"

## ขอบคุณสำหรับการรับฟัง

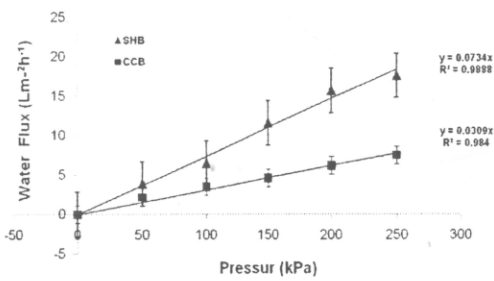
สถานวิจัยวิทยาศาสตร์และเทคโนโลยีเมมเบรน  
มหาวิทยาลัยสงขลานครินทร์

### \* การตรวจคุณภาพของเยื่อกรอง

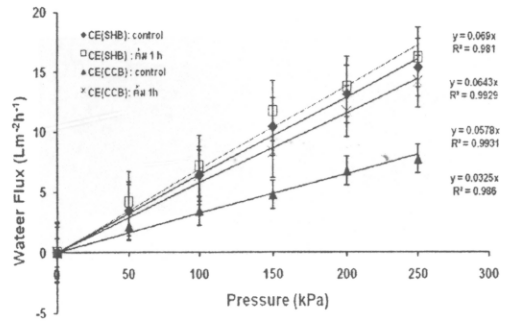
### การไหลผ่านของน้ำภายใต้ความดัน



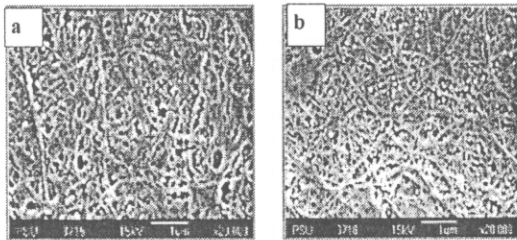
### ผลการกรองน้ำ



### ปรับปรุงอัตราการไหลผ่านของน้ำโดยการต้ม

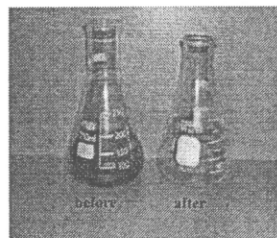


### ขนาดรู จำนวนรู พื้นที่รู



a ก็ือ CE-SHB b ก็ือ CE-CCB

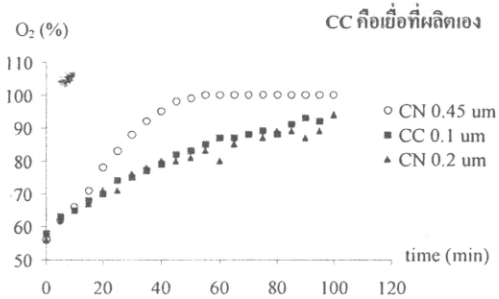
### กรองน้ำทิ้งจากโรงงานปาล์ม



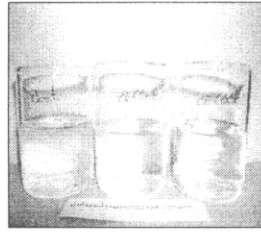
การกรองน้ำทิ้งจากโรงงานปาล์ม โดยใช้เยื่อกรองชนิดเซลลูโลสที่ผลิตจากจุลินทรีย์ *A. xylinum* ก่อน (before) และหลัง (after) การกรองผ่านเยื่อเซลลูโลส



### การให้ออกซิเจนผ่าน

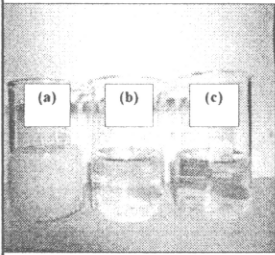


### กรองน้ำทิ้งจากโรงพยาบาล



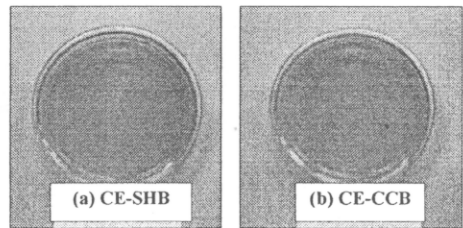
แสดงลักษณะของน้ำ  
(a) ตัวอย่างน้ำทิ้งจาก  
โรงพยาบาล  
(b) ลักษณะของน้ำที่ผ่านการ  
กรองด้วย CE-SHB  
(c) ลักษณะของน้ำที่ผ่านการ  
กรองด้วย CE-CCB

### กรองน้ำทิ้งจากโรงงานยาง



แสดงลักษณะของน้ำ  
(a) น้ำทิ้งจากโรงงานยาง  
(b) ลักษณะของน้ำที่ผ่านการกรอง  
ด้วย CE-SHB  
(c) ลักษณะของน้ำที่ผ่านการกรอง  
ด้วย CE-CCB

### กรองจุลินทรีย์



### ความทนทานต่อกรดและด่าง

เงื่อนไขที่ ทำการศึกษา	มวลของเซลล์โอสโมเมมเบรนชนิด CE-CCB (mg)		
	ชุดควบคุม	แซนกรด HCl	แซนด่าง NaOH
น้ำหนักแห้ง	2.7 ± 0.2	2.7 ± 0.2	2.6 ± 0.2
น้ำหนักหลังแช่ 30 นาที	5.4 ± 0.2	5.4 ± 0.2	5.6 ± 0.3
น้ำหนักหลังแช่ 5 วัน	5.6 ± 0.2	5.5 ± 0.3	5.7 ± 0.5

### กรองสนิมเหล็กในน้ำ

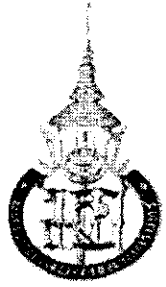
ตัวอย่างน้ำ	ค่าสนิมเหล็ก (ppm)	
	ก่อนกรอง	กรองผ่าน CE(CCB)
น้ำกลั่น	0	0
หมู่ที่ 1 (หมู่บ้านใหม่-ทุ่ง ศาลาดาล)	3-4	0
หมู่ที่ 4 (หมู่บ้านตะเคียน เก่า)	1-2	0
หมู่ที่ 9 (หมู่บ้านยาง เก่า)	0.1	0

เปรียบเทียบเซลล์โอสเมมเบรนที่ผลิตได้จาก *Axyobacter xylinum* TISTR  
No.975 ด้วยอาหารเพาะเลี้ยงสูตร SHB และ CCB

รายการที่ศึกษา	เมมเบรน C-SHB	เมมเบรน C-CCB
น้ำหนักเปียก (g)	9.336 ± 0.084	15.166 ± 0.316
น้ำหนักแห้ง (g)	0.0574 ± 0.0009	0.1146 ± 0.0064
ความหนาขณะเปียก (mm)	1.28 ± 0.02	2.41 ± 0.05

คำถาม

โครงการวิจัยเรื่อง “การผลิตเยื่อกรองเซลลูโลสระดับไมโคร โดยระบบเพาะเลี้ยงจุลินทรีย์แบบกึ่งอัตโนมัติเพื่อใช้ในกระบวนการเตรียมน้ำดิบสำหรับการผลิตน้ำดื่มชุมชน” งบประมาณแผ่นดินปี 2549-2551



**แบบตอบรับการเข้าร่วมฝึกอบรมโครงการ**

**“ การผลิตเยื่อกรองเซลลูโลสโดยระบบเพาะเลี้ยงแบบกึ่งอัตโนมัติ ”**

วันจันทร์ที่ 29 กันยายน 2552 เวลา 8.30 – 16.30 น.

ณ ห้อง P 205 (ชั้น 2) และ สถานีวิจัยวิทยาศาสตร์และเทคโนโลยีเมมเบรน (ชั้น 4)

ภาควิชาฟิสิกส์ คณะวิทยาศาสตร์ มหาวิทยาลัยสงขลานครินทร์

ข้าพเจ้า (นาย/นาง/นางสาว).....โสฬส.....เจริญศรี.....อาชีพ.....ผู้ผลิตวันมะพร้าว.....  
หน่วยงาน.....3.25/10 กิ่งสวน อ.หาดใหญ่.....ตำแหน่ง.....อ.สง.ค......  
โทรศัพท์.....084-0691201.....โทรสาร.....E-mail.....

ชื่อผู้เข้าร่วมฝึกอบรม

1. ชื่อ - สกุล .....โสฬส.....เจริญศรี.....  
หมายเลขโทรศัพท์ ..... 084-0691201.....

2. ชื่อ - สกุล .....โผล่.....วิรรวรรณ.....ศรีจันทร์.....  
หมายเลขโทรศัพท์ .....

ลงชื่อ.....A. Boonapa.....

(.....โสฬส.....เจริญศรี.....)  
(หัวหน้าหน่วยที่เกี่ยวข้อง)

**รับจำนวนจำกัด**

กรุณาส่งแบบตอบรับมายัง คุณบุญญา วัฒนาวที โทร. 074-288749 โทรสาร 074-288754 หรือแจ้งทาง  
e-mail :Boonapa.w@psu.ac.th ภายในวันที่ 20 กันยายน 2552 จักขอบคุณยิ่ง

โครงการวิจัยเรื่อง “การผลิตเยื่อกรองเซลลูโลสระดับไมโคร โดยระบบเพาะเลี้ยงจุลินทรีย์แบบกึ่งอัตโนมัติเพื่อใช้ใน  
กระบวนการเตรียมน้ำดิบสำหรับการผลิตน้ำดื่มชุมชน” งบประมาณแผ่นดินปี 2549-2551



แบบตอบรับการเข้าร่วมฝึกอบรมโครงการ

“ การผลิตเยื่อกรองเซลลูโลสโดยระบบเพาะเลี้ยงแบบกึ่งอัตโนมัติ ”

วันจันทร์ที่ 29 กันยายน 2552 เวลา 8.30 – 16.30 น.

ณ ห้อง P 205 (ชั้น 2) และ สถานวิจัยวิทยาศาสตร์และเทคโนโลยีเมมเบรน (ชั้น 4)

ภาควิชาฟิสิกส์ คณะวิทยาศาสตร์ มหาวิทยาลัยสงขลานครินทร์

ข้าพเจ้า (นาย/นาง/นางสาว) สมถวิล สินศิริกุล อาชีพ วิศวกร.  
หน่วยงาน บมจ.ท่าอากาศยานภูเก็ต ตำแหน่ง ช่างโยธา  
โทรศัพท์ 074-386539 โทรสาร 074-386539 E-mail .....

ชื่อผู้เข้าร่วมฝึกอบรม

1. ชื่อ - สกุล สมถวิล สินศิริกุล

หมายเลขโทรศัพท์ .....

2. ชื่อ - สกุล .....

หมายเลขโทรศัพท์ .....

3. ชื่อ - สกุล .....

หมายเลขโทรศัพท์ .....

ลงชื่อ..... [Signature]

(สมถวิล สินศิริกุล)

(หัวหน้าหน่วยที่เกี่ยวข้อง)

รับจำนวนจำกัด

กรุณาส่งแบบตอบรับมายัง คุณบุญญา วัฒนวาที โทร. 074-288749 โทรสาร 074-288754 หรือแจ้งทาง  
e-mail :Boonapa.w@psu.ac.th ภายในวันที่ 20 กันยายน 2552 จักขอบคุณยิ่ง

แบบตอบรับการเข้าร่วมฝึกอบรมโครงการ  
“ การผลิตเยื่อกรองเซลลูโลสโดยระบบเพาะเลี้ยงแบบกึ่งอัตโนมัติ”

วันจันทร์ที่ 29 กันยายน 2552 เวลา 8.30 – 16.30 น.

ณ ห้อง P 205 (ชั้น 2) และ สถานวิจัยวิทยาศาสตร์และเทคโนโลยีเมมเบรน (ชั้น 4)

ภาควิชาฟิสิกส์ คณะวิทยาศาสตร์ มหาวิทยาลัยสงขลานครินทร์

ข้าพเจ้า (นาย/นาง/นางสาว)..... กนธ ใส..... อาจารย์..... ฐิตา/น  
หน่วยงาน..... กอง: วิชา ๕/๕๓๓๗..... ตำแหน่ง..... ภาว/น ๖.....  
โทรศัพท์..... ๕๕๖๒..... โทรสาร..... E-mail..... KASORN@PSU.AC.TH

ส่งชื่อผู้แทนเข้าร่วมฝึกอบรม

1. ชื่อ - สกุล .....

หมายเลขโทรศัพท์ .....

2. ชื่อ - สกุล .....

หมายเลขโทรศัพท์ .....

ลงชื่อ..... /น ๕๖

(.....)

(หัวหน้าหน่วยที่เกี่ยวข้อง)

**รับจำนวนจำกัด**

กรุณาส่งแบบตอบรับมายัง คุณบุญนาภา วัฒนาวาที โทร. 074-288749 โทรสาร 074-288754 หรือแจ้งทาง  
e-mail :Boonnapa.w@psu.ac.th ภายในวันที่ 20 กันยายน 2552 จักขอบคุณยิ่ง

โครงการวิจัยเรื่อง “การผลิตเยื่อกรองเซลลูโลสระดับไมโครโดยระบบเพาะเลี้ยงจุลินทรีย์แบบกึ่งอัตโนมัติเพื่อใช้ในกระบวนการเตรียมน้ำดื่มสำหรับการผลิตน้ำดื่มชุมชน” งบประมาณแผ่นดินปี 2549-2551



แบบตอบรับการเข้าร่วมฝึกอบรมโครงการ  
“ การผลิตเยื่อกรองเซลลูโลสโดยระบบเพาะเลี้ยงแบบกึ่งอัตโนมัติ”

วันจันทร์ที่ 29 กันยายน 2552 เวลา 8.30 – 16.30 น.

ณ ห้อง P 205 (ชั้น 2) และ สถานวิจัยวิทยาศาสตร์และเทคโนโลยีเมมเบรน (ชั้น 4)

ภาควิชาฟิสิกส์ คณะวิทยาศาสตร์ มหาวิทยาลัยสงขลานครินทร์

ข้าพเจ้า (นาย/นาง/นางสาว).....ปราณี อร่ามรัตน์.....อาชีพ ธุรกิจส่วนตัว  
หน่วยงาน.....ตำแหน่ง.....  
โทรศัพท์.....091-6985034.....โทรสาร.....E-mail.....

ชื่อผู้เข้าร่วมฝึกอบรม

1. ชื่อ - สกุล ..... นาย ประพจน์ อร่ามรัตน์ .....  
หมายเลขโทรศัพท์ ..... 073-349721 ..... 086-6238776 .....

2. ชื่อ - สกุล .....  
หมายเลขโทรศัพท์ .....

3. ชื่อ - สกุล .....  
หมายเลขโทรศัพท์ .....

ที่อยู่ 179 ถ. ปัตตานีภิรมย์ ต. อาเนาะรู อ. 6เมือง จ.ปัตตานี 94000

ลงชื่อ.....

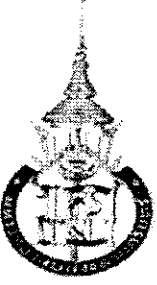
(.....)

(หัวหน้าหน่วยที่เกี่ยวข้อง)

**รับจำนวนจำกัด**

กรุณาส่งแบบตอบรับมายัง คุณบุญภา วัฒนวาที โทร. 074-288749 โทรสาร 074-288754 หรือแจ้งทาง  
e-mail :Boonapa.w@psu.ac.th ภายในวันที่ 20 กันยายน 2552 จักขอบคุณยิ่ง

โครงการวิจัยเรื่อง “การผลิตเยื่อกรองเซลลูโลสระดับไมโคร โดยระบบเพาะเลี้ยงจุลินทรีย์แบบกึ่งอัตโนมัติเพื่อใช้ใน  
กระบวนการเตรียมน้ำดิบสำหรับการผลิตน้ำดื่มชุมชน” งบประมาณแผ่นดินปี 2549-2551



แบบตอบรับการเข้าร่วมฝึกอบรมโครงการ

“ การผลิตเยื่อกรองเซลลูโลสโดยระบบเพาะเลี้ยงแบบกึ่งอัตโนมัติ”

วันจันทร์ที่ 29 กันยายน 2552 เวลา 8.30 – 16.30 น.

ณ ห้อง P 205 (ชั้น 2) และ สถานวิจัยวิทยาศาสตร์และเทคโนโลยีเมมเบรน (ชั้น 4)

ภาควิชาฟิสิกส์ คณะวิทยาศาสตร์ มหาวิทยาลัยสงขลานครินทร์

ข้าพเจ้า (นาย/นาง/นางสาว).....*อุไร บุรณ*.....อาชีพ *วิศวกร*  
หน่วยงาน.....*ภาควิชาฟิสิกส์*.....ตำแหน่ง.....*ผู้ปฏิบัติงานวิจัย*  
โทรศัพท์.....*081-6987385* โทรสาร.....*074-212817* E-mail.....*urai.b@psu.ac.th*

ชื่อผู้เข้าร่วมฝึกอบรม

1. ชื่อ – สกุล.....*อ.อ.อุไร บุรณ*.....  
หมายเลขโทรศัพท์.....*:8730*.....

2. ชื่อ – สกุล.....  
หมายเลขโทรศัพท์.....

3. ชื่อ – สกุล.....  
หมายเลขโทรศัพท์.....

ลงชื่อ.....*อุไร บุรณ*.....

(.....*อ.อ.อุไร บุรณ*.....)

(หัวหน้าหน่วยที่เกี่ยวข้อง)

รับจำนวนจำกัด

กรุณาส่งแบบตอบรับมายัง คุณบุญญา วัฒนวาทิ โทร. 074-288749 โทรสาร 074-288754 หรือแจ้งทาง  
e-mail :Boonapa.w@psu.ac.th ภายในวันที่ 20 กันยายน 2552 จักขอบคุณยิ่ง

โครงการวิจัยเรื่อง “การผลิตเยื่อกรองเซลลูโลสระดับไมโคร โดยระบบเพาะเลี้ยงจุลินทรีย์แบบกึ่งอัตโนมัติเพื่อใช้ในกระบวนการเตรียมน้ำดิบสำหรับการผลิตน้ำดื่มชุมชน” งบประมาณแผ่นดินปี 2549-2551



แบบตอบรับการเข้าร่วมฝึกอบรมโครงการ  
“ การผลิตเยื่อกรองเซลลูโลสโดยระบบเพาะเลี้ยงแบบกึ่งอัตโนมัติ”

วันจันทร์ที่ 29 กันยายน 2552 เวลา 8.30 – 16.30 น.

ณ ห้อง P 205 (ชั้น 2) และ สถานวิจัยวิทยาศาสตร์และเทคโนโลยีเมมเบรน (ชั้น 4)

ภาควิชาฟิสิกส์ คณะวิทยาศาสตร์ มหาวิทยาลัยสงขลานครินทร์

ข้าพเจ้า (นาย/นาง/นางสาว)..... ศ.ดร. ทวีศักดิ์ ..... อาชีพ นักวิจัย  
หน่วยงาน..... คณาจารย์ ..... ตำแหน่ง.....  
โทรศัพท์..... โทรสาร..... E-mail..... Tor-Evolution@hotmail.com

ชื่อผู้เข้าร่วมฝึกอบรม

1. ชื่อ – สกุล .....

หมายเลขโทรศัพท์ .....

2. ชื่อ – สกุล .....

หมายเลขโทรศัพท์ .....

3. ชื่อ – สกุล .....

หมายเลขโทรศัพท์ .....

ลงชื่อ.....

(.....)

(หัวหน้าหน่วยที่เกี่ยวข้อง)

**รับจำนวนจำกัด**

กรุณาส่งแบบตอบรับมายัง คุณบุญญา วัฒนวาที โทร. 074-288749 โทรสาร 074-288754 หรือแจ้งทาง  
e-mail :Boonapa.w@psu.ac.th ภายในวันที่ 20 กันยายน 2552 จักขอบคุณยิ่ง



โครงการวิจัยเรื่อง “การผลิตเชื้อกรองเซลดูโลระดับไมโคร โดยระบบเพาะเลี้ยงจุลินทรีย์แบบกึ่งอัตโนมัติเพื่อใช้ในกระบวนการเตรียมน้ำดิบสำหรับการผลิตน้ำดื่มชุมชน” งบประมาณแผ่นดินปี 2549-2551



แบบตอบรับการเข้าร่วมฝึกอบรมโครงการ  
“ การผลิตเชื้อกรองเซลดูโลโดยระบบเพาะเลี้ยงแบบกึ่งอัตโนมัติ”

วันจันทร์ที่ 29 กันยายน 2552 เวลา 8.30 – 16.30 น.

ณ ห้อง P 205 (ชั้น 2) และ สถานวิจัยวิทยาศาสตร์และเทคโนโลยีเมมเบรน (ชั้น 4)

ภาควิชาฟิสิกส์ คณะวิทยาศาสตร์ มหาวิทยาลัยสงขลานครินทร์

ข้าพเจ้า (นาย/นาง/นางสาว)..... สมโภช บุณดลลาภ ..... อาชีพ วิทยากร  
หน่วยงาน..... องค์การมหาวิทยาลัยสงขลานครินทร์..... ตำแหน่ง..... นักวิชาการสุขอนามัย 5  
โทรศัพท์..... 074-298213..... โทรสาร..... 074-298214 ต่อ 17..... E-mail.....

ชื่อผู้เข้าร่วมฝึกอบรม

1. ชื่อ - สกุล ..... นายโสภณ จุฑา .....  
หมายเลขโทรศัพท์ ..... 074-298213.....
2. ชื่อ - สกุล ..... นางสาวสุภาภรณ์ มหาวรรณ .....  
หมายเลขโทรศัพท์ ..... 074-298213.....
3. ชื่อ - สกุล ..... นางสาวนงลักษณ์ พรหมรวมแก้ว .....  
หมายเลขโทรศัพท์ ..... 074-298213.....

ลงชื่อ.....

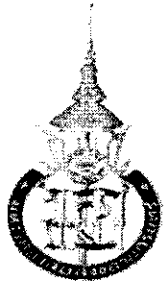
(.....นายสมโภช.....บุณดลลาภ.....)

(หัวหน้าหน่วยที่เกี่ยวข้อง)

**รับจำนวนจำกัด**

กรุณาส่งแบบตอบรับมายัง คุณบุญญา วัฒนาวาที โทร. 074-288749 โทรสาร 074-288754 หรือแจ้งทาง  
e-mail :Boonnapa.w@psu.ac.th ภายในวันที่ 20 กันยายน 2552 ชักขอบคุนยิ่ง

โครงการวิจัยเรื่อง “การผลิตเยื่อกรองเซลลูโลสระดับไมโคร โดยระบบเพาะเลี้ยงจุลินทรีย์แบบกึ่งอัตโนมัติเพื่อใช้ในกระบวนการเตรียมน้ำดื่มสำหรับการผลิตน้ำดื่มชุมชน” งบประมาณแผ่นดินปี 2549-2551



แบบตอบรับการเข้าร่วมฝึกอบรมโครงการ  
“ การผลิตเยื่อกรองเซลลูโลสโดยระบบเพาะเลี้ยงแบบกึ่งอัตโนมัติ”

วันจันทร์ที่ 29 กันยายน 2552 เวลา 8.30 – 16.30 น.

ณ ห้อง P 205 (ชั้น 2) และ สถานวิจัยวิทยาศาสตร์และเทคโนโลยีเมมเบรน (ชั้น 4)

ภาควิชาฟิสิกส์ คณะวิทยาศาสตร์ มหาวิทยาลัยสงขลานครินทร์

ข้าพเจ้า (นาย/นาง/นางสาว)..... เครือวัลย์ นันทแก้ว..... อาชีพ..... นักศึกษา  
หน่วยงาน..... ภาควิชาฟิสิกส์..... ตำแหน่ง.....  
โทรศัพท์..... 081-2772934..... โทรสาร..... -..... E-mail..... kruawan-hk@hotmail.com

ชื่อผู้เข้าร่วมฝึกอบรม

1. ชื่อ – สกุล..... น.ส. เครือวัลย์ นันทแก้ว.....

หมายเลขโทรศัพท์..... 081-2772934.....

2. ชื่อ – สกุล.....

หมายเลขโทรศัพท์.....

3. ชื่อ – สกุล.....

หมายเลขโทรศัพท์.....

ลงชื่อ..... เครือวัลย์ นันทแก้ว.....

(..... น.ส. เครือวัลย์ นันทแก้ว.....)

(หัวหน้าหน่วยที่เกี่ยวข้อง)

รับจำนวนจำกัด

กรุณาส่งแบบตอบรับมายัง คุณบุญภา วัฒนวาทิ โทร. 074-288749 โทรสาร 074-288754 หรือแจ้งทาง  
e-mail :Boonnapa.w@psu.ac.th ภายในวันที่ 20 กันยายน 2552 จักขอบคุณยิ่ง

โครงการวิจัยเรื่อง “การผลิตเยื่อกรองเซลลูโลสระดับไมโคร โดยระบบเพาะเลี้ยงจุลินทรีย์แบบกึ่งอัตโนมัติเพื่อใช้ใน  
กระบวนการเตรียมน้ำดิบสำหรับการผลิตน้ำดื่มชุมชน” งบประมาณแผ่นดินปี 2549-2551



แบบตอบรับการเข้าร่วมฝึกอบรมโครงการ  
“ การผลิตเยื่อกรองเซลลูโลสโดยระบบเพาะเลี้ยงแบบกึ่งอัตโนมัติ”

วันจันทร์ที่ 29 กันยายน 2552 เวลา 8.30 – 16.30 น.

ณ ห้อง P 205 (ชั้น 2) และ สถานวิจัยวิทยาศาสตร์และเทคโนโลยีเมมเบรน (ชั้น 4)

ภาควิชาฟิสิกส์ คณะวิทยาศาสตร์ มหาวิทยาลัยสงขลานครินทร์

ข้าพเจ้า (นาย/นาง/นางสาว) สัลลา ๓๐ปี อาชีพ นักศึกษาระดับโท  
หน่วยงาน ภาควิชาฟิสิกส์วิทยาศาสตร์ ตำแหน่ง -  
โทรศัพท์ 086-7496540 โทรสาร - E-mail T.Salwa@hotmail.com

ชื่อผู้เข้าร่วมฝึกอบรม

1. ชื่อ - สกุล สัลลา ๓๐ปี

หมายเลขโทรศัพท์ 086-7496540

2. ชื่อ - สกุล .....

หมายเลขโทรศัพท์ .....

3. ชื่อ - สกุล .....

หมายเลขโทรศัพท์ .....

ลงชื่อ สัลลา ๓๐ปี

(นางสาวสัลลา ๓๐ปี)

(หัวหน้าหน่วยที่เกี่ยวข้อง)

รับจำนวนจำกัด

กรุณาส่งแบบตอบรับมายัง คุณบุญญา วัฒนวาทิ โทร. 074-288749 โทรสาร 074-288754 หรือแจ้งทาง  
e-mail :Boonapa.w@psu.ac.th ภายในวันที่ 20 กันยายน 2552 จักขอบคุณยิ่ง





โครงการวิจัยเรื่อง “การผลิตเยื่อกรองเซลลูโลสระดับไมโคร โดยระบบเพาะเลี้ยงจุลินทรีย์แบบกึ่งอัตโนมัติเพื่อใช้ในกระบวนการเตรียมน้ำดื่มสำหรับการผลิตน้ำดื่มชุมชน” งบประมาณแผ่นดินปี 2549-2551



แบบประเมินผลการจัดอบรม

เรื่อง “ การผลิตเยื่อกรองเซลลูโลสโดยระบบเพาะเลี้ยงแบบกึ่งอัตโนมัติ ”

ณ. ภาควิชาฟิสิกส์ คณะวิทยาศาสตร์ มหาวิทยาลัยสงขลานครินทร์

วันที่ 29 กันยายน 2552 เวลา 8.30-16.30 น.



กรุณาขีด ✓ ลงในช่องที่เห็นว่าเหมาะสม

เกณฑ์ประเมิน 5 = ดีมาก 4=ดี 3=ปานกลาง 2=ต้องปรับปรุง

หัวข้อกิจกรรม	ระดับการประเมินผล			
	5	4	3	2
<b>การบรรยาย 8.30 – 12.00 น.</b>				
1 หัวข้อ เมมเบรนเทคโนโลยีมีประโยชน์อย่างไร	/			
2 การเพาะเลี้ยงจุลินทรีย์		/		
3 การเตรียมเมมเบรนในตู้ปลอดเชื้อ		/		
4 สาริตการผลิตเมมเบรน		/		
<b>ภาคปฏิบัติการ 13.00-16.30 น.</b>				
5 การทดสอบเมมเบรนและการประยุกต์ใช้		/		
6 สาริตการทดสอบเมมเบรน		/		
7 สถานที่	/			
8 เอกสาร	/			

เสนอแนะเพื่อการปรับปรุง

ควรทำสื่อให้ดูง่ายขึ้น โดยเน้นที่ตัวอย่าง มีตามเครื่องใช้ และประโยชน์ต่อวงจร รวมทั้งควรนำตัวอย่างมาด้วย

เสนอแนะหัวข้อที่ต้องการให้บรรยายในโอกาสต่อไป

ใช้โพลีเอทิลีน (พลาสติก) เลี้ยงจุลินทรีย์

ขอขอบคุณที่ให้ความร่วมมือ

โครงการวิจัยเรื่อง “การผลิตเยื่อกรองเซลลูโลสระดับไมโคร โดยระบบเพาะเลี้ยงจุลินทรีย์แบบกึ่งอัตโนมัติเพื่อใช้ในกระบวนการเตรียมน้ำดิบสำหรับการผลิตน้ำดื่มชุมชน” งบประมาณแผ่นดินปี 2549-2551



แบบประเมินผลการจัดอบรม  
เรื่อง “ การผลิตเยื่อกรองเซลลูโลสโดยระบบเพาะเลี้ยงแบบกึ่งอัตโนมัติ ”  
ณ. ภาควิชาฟิสิกส์ คณะวิทยาศาสตร์ มหาวิทยาลัยสงขลานครินทร์

วันที่ 29 กันยายน 2552 เวลา 8.30-16.30 น.

กรุณาขีด ✓ ลงในช่องที่เห็นว่าเหมาะสม

เกณฑ์ประเมิน 5 = ดีมาก 4=ดี 3= ปานกลาง 2= ต้องปรับปรุง

หัวข้อกิจกรรม	ระดับการประเมินผล			
	5	4	3	2
<b>การบรรยาย 8.30 – 12.00 น.</b>				
1 หัวข้อ เมมเบรนเทคโนโลยีมีประโยชน์อย่างไร		/		
2 การเพาะเลี้ยงจุลินทรีย์		/		
3 การเตรียมเมมเบรนในตู้ปลอดเชื้อ		/		
4 สาธิตการผลิตเมมเบรน		/		
<b>ภาคปฏิบัติการ 13.00-16.30 น.</b>				
5 การทดสอบเมมเบรนและการประยุกต์ใช้		/		
6 สาธิตการทดสอบเมมเบรน		/		
7 สถานที่	/			
8 เอกสาร	/			

เสนอแนะเพื่อการปรับปรุง

.....  
 .....  
 .....  
 .....

เสนอแนะหัวข้อที่ต้องการให้บรรยายในโอกาสต่อไป

.....  
 .....  
 .....

ขอขอบคุณที่ให้ความร่วมมือ



แบบประเมินผลการจัดอบรม  
เรื่อง “ การผลิตเยื่อกรองเซลล์โลสโดยระบบเพาะเลี้ยงแบบกึ่งอัตโนมัติ ”  
ณ. ภาควิชาฟิสิกส์ คณะวิทยาศาสตร์ มหาวิทยาลัยสงขลานครินทร์  
วันที่ 29 กันยายน 2552 เวลา 8.30-16.30 น.

กรุณาขีด ✓ ลงในช่องที่เห็นว่าเหมาะสม

เกณฑ์ประเมิน 5 = ดีมาก 4=ดี 3=ปานกลาง 2= ต้องปรับปรุง

หัวข้อกิจกรรม	ระดับการประเมินผล			
	5	4	3	2
<b>การบรรยาย 8.30 – 12.00 น.</b>				
1 หัวข้อ เมมเบรนเทคโนโลยีมีประโยชน์อย่างไร	✓			
2 การเพาะเลี้ยงจุลินทรีย์	✓			
3 การเตรียมเมมเบรนในตู้ปลอดเชื้อ	✓			
4 สาธิตการผลิตเมมเบรน	✓			
<b>ภาคปฏิบัติการ 13.00-16.30 น.</b>				
5 การทดสอบเมมเบรนและการประยุกต์ใช้	✓			
6 สาธิตการทดสอบเมมเบรน	✓			
7 สถานที่	✓			
8 เอกสาร	✓			

เสนอแนะเพื่อการปรับปรุง

- อ่างกักน้ำใต้น้ำเรื่อง ที่ เจ้าโง่อย่าง ลกะ เข้าถึง ทอบ้าน .....
- อ่างกักน้ำที่โรงประ ชา ล้างพื้น ใ น หัว ลัง จาก กว่า น .....
- .....
- .....

เสนอแนะหัวข้อที่ต้องการให้บรรยายในโอกาสต่อไป

- .....
- .....
- .....

ขอขอบคุณที่ให้ความร่วมมือ